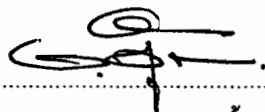


ขอแสดงความยินดีในโอกาสได้รับการแต่งตั้งเป็นมั่นคง  
โดยใช้กระบวนการไฟฟ้าและเครื่องคอมพิวเตอร์

นางสาวจิราภรณ์ ศิริประภาดี วท.บ. (วิศวกรรมอาหาร)

วิทยานิพนธ์นี้เป็นส่วนหนึ่งของการศึกษาตามหลักสูตร  
ปริญญาวิศวกรรมศาสตร์ มหาบัณฑิต สาขาวิชวิศวกรรมอาหาร  
คณะวิศวกรรมศาสตร์  
มหาวิทยาลัยเทคโนโลยีพระจอมเกล้าธนบุรี  
พ.ศ. 2550

คณะกรรมการสอบวิทยานิพนธ์



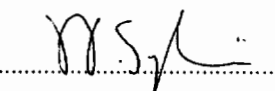
ประธานกรรมการสอบวิทยานิพนธ์

(ผศ.ดร.ชัยรัตน์ ตั้งดวงดี)



กรรมการ

(ผศ.ดร.มนติรา พรัดต์)



กรรมการ

(ดร.วนิชรา แสงศิริ)



กรรมการ

(ดร.พิมพา ลินธงกุล)

ลิขสิทธิ์ของมหาวิทยาลัยเทคโนโลยีพระจอมเกล้าธนบุรี

|                   |   |
|-------------------|---|
| หัวข้อวิทยานิพนธ์ | จลนผลศาสตร์ของการเกิดออกซิเดชันของไชยาไนด์ในกระบวนการผลิต<br>แป้งมันสำปะหลังโดยใช้กระบวนการฟอโตโคนต้าไลซิสของ<br>ไทยาเนียมไดออกไซด์ |
| หน่วยกิต          | 12  |
| ผู้เขียน          | นางสาวจิราณุชา ศิริประนุดี  |
| อาจารย์ที่ปรึกษา  | พศ.ดร. มนัสวิรา นพรัตน์   |
| หลักสูตร          | วิศวกรรมศาสตรมหาบัณฑิต  |
| สาขาวิชา          | วิศวกรรมอาหาร   |
| ภาควิชา           | วิศวกรรมอาหาร   |
| คณะ               | วิศวกรรมศาสตร์  |
| พ.ศ.              | 2550  |

### บทคัดย่อ

งานวิจัยนี้มีวัตถุประสงค์เพื่อศึกษาจลนผลศาสตร์ของการเกิดออกซิเดชันของไชยาไนด์ ในกระบวนการผลิตแป้งมันสำปะหลังโดยใช้ไทยาเนียมไดออกไซด์ โดยในงานวิจัยนี้ใช้แผ่นกระจกที่เคลือบด้วยไทยาเนียมไดออกไซด์ ขนาดพื้นที่ผิว 16.5 ตารางเซนติเมตร ต่อสารละลายน้ำปริมาตร 50 มิลลิลิตร วางลงในถังปฏิกรณ์แก้วทรงกระบอก ใช้หลอดอัลตราไวโอเลตขนาด 10 วัตต์เป็นแหล่งกำเนิดแสง โดยวางไว้ภายนอกถังปฏิกรณ์ ที่ระยะห่าง 10 ซนติเมตร จากการศึกษาอัตราการเกิดฟอโตออกซิเดชันของไชยาไนด์ที่ความเข้มข้นไชยาไนด์เริ่มต้นต่างๆ ที่ 10, 20, 40, 100, 200 และ 400 ppm และปริมาณแป้งที่ 0, 0.2, 0.4 และ 0.8 เปอร์เซนต์หนักโดยปริมาตร พบร่วมกับเวลาผ่านไปสามชั่วโมงสามารถคำนวณได้มากกว่าร้อยละ 80 ความเข้มข้นไชยาไนด์เริ่มต้นและค่าความเป็นกรดค่างมีผลต่ออัตราการสลายของไชยาไนด์ โดยเปลี่ยนตัวเลขโดยปริมาตร พบร่วมกับเวลาผ่านไปสามชั่วโมงสามารถคำนวณได้มากกว่าร้อยละ 80 ความเข้มข้นไชยาไนด์เริ่มต้นและค่าความเป็นกรดค่างมีผลต่ออัตราการสลายของไชยาไนด์สูง นอกเหนือไปจากนี้ที่ค่าความเป็นกรดค่างต่างๆ แล้ว ค่าความเข้มข้นเริ่มต้นของไชยาไนด์สูง ก็จะส่งผลต่ออัตราการสลายตัวของไชยาไนด์ด้วยกระบวนการฟอโตโคนต้าไลซิสโดยใช้ไทยาเนียมไดออกไซด์ สามารถอธิบายได้ด้วยสมการ Langmuir-Hinshelwood

คำสำคัญ : การออกซิไดซ์ไชยาไนด์/ จลนผลศาสตร์ / ไทยาเนียมไดออกไซด์ / แป้งมันสำปะหลัง

|                |  |
|----------------|--|
| Thesis Title   | Kinetics of Photocatalytic Oxidation of Cyanide by using Titanium Dioxide in Cassava Starch Production Process |
| Thesis Credits | 12   |
| Candidate      | Miss Jiranoot Siripremrudee  |
| Thesis Advisor | Asst. Prof. Dr. Montira Nopharatana  |
| Program        | Master of Engineering  |
| Field of Study | Food Engineering   |
| Department     | Food Engineering   |
| Faculty        | Engineering  |
| B.E.           | 2550   |

### Abstract

This research aimed to investigate the kinetics of photocatalytic oxidation of cyanide in the cassava starch production process. A glass plate with a surface area of  $16.5 \text{ cm}^2$  per 50 ml aqueous solution of potassium cyanide was coated with  $\text{TiO}_2$  and placed at the center of a reactor. The light source was 10 Watt UV lamp, located at the external of the cylindrical glass reactor at a distance of 10 cm from the reactor. During illumination cyanide photo-oxidation rate was determined at different initial cyanide concentrations of 10, 20, 40, 100, 200 and 400 ppm and starch concentrations of 0, 0.2, 0.4 and 0.8 percent weight by volume. The results revealed that more than 80% of cyanide was removed after 3 hours of illumination at pH 7 and 9. The initial cyanide concentration and pH affected the cyanide degradation rate. The percentage of cyanide decomposition was lower when the initial cyanide concentration was higher. Moreover, the percentage of residual cyanide increased at a lower pH value. The Langmuir-Hinshelwood kinetics model could successfully describe the influence of the initial cyanide concentration on the rate of photocatalysis oxidation.

Keywords: Cassava Starch /Cyanide oxidation/ Kinetics/  $\text{TiO}_2$

## กิตติกรรมประกาศ

วิทยานิพนธ์ฉบับนี้สามารถเสรีจุล่วงไปได้ด้วยคี โดยได้รับความร่วมมือและได้รับความช่วยเหลือจากบุคคลต่างๆ ผู้วิจัยขอขอบพระคุณ พศ.ดร.ชัยรัตน์ ตั้งวงศ์ ประธานกรรมการวิทยานิพนธ์ คณะกรรมการทุกท่าน พศ.ดร. มนตรีรา นพรัตน์, ดร.วนิชาร สงศิริ, ดร.พิมพา ลีมทองกุล ที่กรุณาคุ้มครองให้คำแนะนำ ข้อเสนอแนะ และชี้แนะแนวทางในการดำเนินงานวิจัยด้วยความเอาใจใส่อย่างดีเยี่ยม โดยตลอด ขอขอบพระคุณเจ้าหน้าที่ห้องธุรการ ห้องปฏิบัติการ ที่ได้ให้ความช่วยเหลือต่างๆ และอำนวยความสะดวกในการดำเนินการวิจัย เพื่อนๆ น้องๆ ภาควิชาโภชกรรมอาหารทุกท่านที่ให้ความช่วยเหลือและกำลังใจที่ดี ขอขอบคุณศูนย์เทคโนโลยีและวัสดุแห่งชาติ สำนักพัฒนาวิทยาศาสตร์และเทคโนโลยีแห่ง, คุณชาไบร์ จันอิน และทุกท่านที่ไม่ได้อ่านนามมา ณ ที่นี้ด้วย ในการช่วยเหลือการดำเนินงานวิจัยนี้ นอกจากนี้ผู้วิจัยได้ขอขอบพระคุณ สาว. ในการให้ทุนสนับสนุนการทำวิจัยครั้งนี้ และท้ายที่สุดนี้งานวิจัยสามารถสำเร็จอุล่วงมาได้ด้วยความร่วมมือและการสนับสนุนของหน่วยงาน และบุคคลที่เกี่ยวข้องดังกล่าวข้างต้น ทางคณะผู้วิจัยจึงถือโอกาสขอบพระคุณมา ณ โอกาสนี้

## สารบัญ

### หน้า

|                    |          |
|--------------------|----------|
| บทคัดย่อภาษาไทย    | ๙        |
| บทคัดย่อภาษาอังกฤษ | ๑        |
| กิตติกรรมประกาศ    | ๔        |
| <b>สารบัญ</b>      | <b>๖</b> |
| รายการตาราง        | ๘        |
| รายการรูปประกอบ    | ๙        |

### **บทที่**

|  |           |
|--|-----------|
| <b>1. บทนำ</b>   | <b>1</b>  |
| 1.1 ความสำคัญและที่มาของปัญหาที่ทำการวิจัย               | 1         |
| 1.2 วัตถุประสงค์ของโครงการวิจัย                          | 3         |
| 1.3 ขอบเขตของโครงการวิจัย                                | 3         |
| 1.4 ประโยชน์ที่คาดว่าจะได้รับ                            | 4         |
| <br>   |           |
| <b>2. ทฤษฎีและผลงานวิจัยที่เกี่ยวข้อง</b>                | <b>5</b>  |
| 2.1 มันสำปะหลัง  | 5         |
| 2.2 การผลิตแป้งมันสำปะหลัง                               | 6         |
| 2.3 ไซยาโนค์ในมันสำปะหลัง                                | 14        |
| 2.4 สมดุลมวลสารและไซยาโนค์ในกระบวนการผลิตแป้งมันสำปะหลัง | 15        |
| 2.5 การกำจัด cyanogenic glucoside ในมันสำปะหลัง          | 19        |
| 2.6 ไฟฟานียนไคออกไซด์                                    | 25        |
| 2.7 ทฤษฎีของการบดไฟฟานียนไคออกไซด์                       | 29        |
| <br>   |           |
| <b>3. วิธีการทดลองและแผนการดำเนินการวิจัย</b>            | <b>34</b> |
| 3.1 วัสดุคิบ   | 34        |
| 3.2 อุปกรณ์ที่ใช้  | 34        |
| 3.3 สารเคมีที่ใช้  | 34        |
| 3.4 วิธีการทดลอง   | 35        |

|  |           |
|--|-----------|
| <b>4. ผลการทดลองและวิจารณ์ผลการทดลอง</b>   | <b>39</b> |
| 4.1 การศึกษาผลของความเข้มข้นเริ่มต้นของไซยาไนด์ที่มีผลการกำจัดไซยาไนด์ด้วยกระบวนการโพโตคอะเทลซิส | 39        |
| 4.2 การศึกษาผลของความเริ่มต้นของไซยาไนด์ที่มีต่อการกำจัดไซยาไนด์ด้วยกระบวนการโพโตคอะเทลซิส       | 55        |
| <b>5. สรุปและข้อเสนอแนะ</b>  | <b>60</b> |
| 5.1 สรุปผลการทดลอง   | 60        |
| 5.2 ข้อเสนอแนะ   | 60        |
| <b>เอกสารอ้างอิง</b>   | <b>61</b> |
| <b>ภาคผนวก</b>   |           |
| ก หลักการวิเคราะห์   | 66        |
| ข ผลการทดลอง   | 70        |
| <b>ประวัติผู้วิจัย</b>   | <b>83</b> |

## รายการตาราง

|     | ตาราง   | หน้า |
|-----|---|------|
| 2.1 | ขนาดช่องว่างพลังงานของสารกึ่งตัวนำชนิดต่างๆ   | 25   |
| 2.2 | เปรียบเทียบลักษณะสมบัติของไททาเนียม ไดออกไซด์ระหว่างรูไทล์และอนาเทส   | 28   |
| 4.1 | ค่าคงที่ของการเปลี่ยนรูปของการฉายแสง ( $k_{app}$ )  | 49   |
| 4.2 | ค่าคงที่ของการดูดซับ $k_t$ และ $k_s$  | 52   |
| 4.3 | ค่าคงที่ของการเปลี่ยนรูปของการฉายแสง ( $k_{app}$ )  | 59   |
| ข.1 | ความเข้มข้นไชยาไนค์ที่วัดได้ทั้งสามกรณี ที่ความเข้มข้นเริ่มต้นไชยาไนค์ต่างๆ<br>10, 20, 40, 100, 200 และ 400 ppm 皮อช 9         | 71   |
| ข.2 | ความเข้มข้นไชยาไนค์ที่วัดได้ทั้งสามกรณี ที่ความเข้มข้นเริ่มต้นไชยาไนค์ต่างๆ<br>10, 20, 40, 100, 200 และ 400 ppm 皮อช 7         | 74   |
| ข.3 | ความเข้มข้นไชยาไนค์ที่วัดได้ที่ความเข้มข้นไชยาไนค์เริ่มต้นที่ 40 และ 200 ppm<br>ที่ความเข้มข้นเพิ่ง 0.2% โดยน้ำหนักต่อปริมาตร | 77   |
| ข.4 | ความเข้มข้นไชยาไนค์ที่วัดได้ที่ความเข้มข้นไชยาไนค์เริ่มต้นที่ 40 และ 200 ppm<br>ที่ความเข้มข้นเพิ่ง 0.4% โดยน้ำหนักต่อปริมาตร | 78   |
| ข.5 | ความเข้มข้นไชยาไนค์ที่วัดได้ที่ความเข้มข้นไชยาไนค์เริ่มต้นที่ 40 และ 200 ppm<br>ที่ความเข้มข้นเพิ่ง 0.8% โดยน้ำหนักต่อปริมาตร | 79   |
| ข.6 | เปรียบเทียบค่าที่ได้จากการคำนวณกับค่าที่ได้จากการทดลองจริงที่ความเข้มข้น<br>ไชยาไนค์เริ่มต้น 200 ppm                          | 80   |
| ข.7 | เปรียบเทียบค่าที่ได้จากการคำนวณกับค่าที่ได้จากการทดลองจริงที่ความเข้มข้น<br>ไชยาไนค์เริ่มต้น 400 ppm                          | 81   |

## รายการรูปประกอบ

| รูป   | หน้า |
|---|------|
| 2.1 Reimann balance   | 7    |
| 2.2 กองหัวมันก่อนเข้าสู่กระบวนการผลิต   | 7    |
| 2.3 ถังปล่อยหัวมัน (root hopper)  | 8    |
| 2.4 สายพานลำเลียงหัวมัน   | 8    |
| 2.5 เครื่องร่อนคินทราราช (root siever)  | 8    |
| 2.6 เครื่องล้างหัวมัน (root washer)   | 9    |
| 2.7 เครื่องสับหัวมัน (root chopper)   | 9    |
| 2.8 เครื่องโน้มหัวมัน (rasper)  | 10   |
| 2.9 เครื่องดีแคนเตอร์ (decanter)  | 11   |
| 2.10 เครื่องสกัดแป้ง (extractor)  | 11   |
| 2.11 เครื่องแยกแป้ง (separator)   | 12   |
| 2.12 เครื่องสักดี้แห้ง (dewatering)   | 13   |
| 2.13 ปล่องอบแห้ง (flash dryer)  | 13   |
| 2.14 โครงสร้างของ ลินามาริน (linamarin) และ โลทอสตราลิน (lotaustralin)  | 14   |
| 2.15 ไซยาโนเจนезิส (cyanogenesis) จากลินามาริน  | 15   |
| 2.16 สมดุลมวลสาร ในกระบวนการผลิตแป้งมันสำปะหลัง ค่าที่แสดงเป็นค่าเฉลี่ย±ค่า SD<br>ของปริมาณหัวมันที่ใช้ในกระบวนการผลิต ในหน่วยตันต่อวัน     | 17   |
| 2.17 สมดุลไซยาไนด์ในกระบวนการผลิตแป้งมันสำปะหลัง ค่าที่แสดงเป็นค่าเฉลี่ย±ค่า SD<br>ของปริมาณไซยาไนด์ ในหน่วยกิโลกรัม ไซโตรเจนไซยาไนด์ต่อวัน | 18   |
| 2.18 โครงสร้างผลึกของ ไทยาเนียม ไดออกไซด์   | 27   |
| 2.19 โครงสร้างແບพลังงานของสารกึ่งตัวนำ  | 31   |
| 2.20 กระบวนการ โพโทຄะໄລซิสของ ไทยาเนียม ไดออกไซด์   | 32   |
| 3.1 กระบวนการ ไลคลาดีอิบ ไทยาเนียม ไดออกไซด์  | 36   |
| 3.2 ถังปฏิกรณ์ที่ใช้ในการทดลอง  | 37   |

|      |  |    |
|------|--|----|
| 4.1  | ปริมาณ ไซยาไนด์ที่เหลืออยู่เทียบกับระยะเวลาในการทดลอง ในกรณีที่ไม่มีแผ่น<br>ไททาเนียม ไอออกไซด์ (Control) เปรียบเทียบกับกรณีที่มีแผ่นไททาเนียม<br>ไอออกไซด์แต่ไม่ได้ฉายแสง ( $TiO_2$ ) และกรณีที่มีแผ่นไททาเนียม ไอออกไซด์และ<br>ฉายแสง ( $UV/TiO_2$ ) ที่ความเข้มข้น ไซยาไนด์เริ่มต้น (ก) 10 (ข) 20 (ค) 40 (ง) 100<br>(จ) 200 และ (ฉ) 400 ppm ที่พีอช 7 | 39 |
| 4.2  | ปริมาณ ไซยาไนด์ที่เหลืออยู่เทียบกับระยะเวลาในการทดลอง ในกรณีที่ไม่มีแผ่น<br>ไททาเนียม ไอออกไซด์ (Control) เปรียบเทียบกับกรณีที่มีแผ่นไททาเนียม<br>ไอออกไซด์แต่ไม่ได้ฉายแสง ( $TiO_2$ ) และกรณีที่มีแผ่นไททาเนียม ไอออกไซด์และ<br>ฉายแสง ( $UV/TiO_2$ ) ที่ความเข้มข้น ไซยาไนด์เริ่มต้น (ก) 10 (ข) 20 (ค) 40 (ง) 100<br>(จ) 200 และ (ฉ) 400 ppm ที่พีอช 9 | 40 |
| 4.3  | ความสัมพันธ์ระหว่างปริมาณความเข้มข้นของ ไซยาไนด์ต่อเวลา ในกรณีที่ไม่มีแผ่น<br>ไททาเนียม ไอออกไซด์และไม่ได้ฉายแสงที่ความเข้มข้นเริ่มต้นของ ไซยาไนด์ต่างๆ<br>ที่ (ก) พีอช 9 (ข) พีอช 7   | 42 |
| 4.4  | ความสัมพันธ์ระหว่างปริมาณ ไซยาไนด์กับเวลาในกรณีที่มีแผ่นไททาเนียม<br>ไอออกไซด์และไม่ได้ฉายแสงที่ความเข้มข้น ไซยาไนด์เริ่มต้นต่างๆ (ก) พีอช 9<br>(ข) พีอช 7   | 43 |
| 4.5  | ความสัมพันธ์ระหว่าง $C/C_0$ กับเวลา ได้ ในกรณีที่มีแผ่นไททาเนียม ไอออกไซด์<br>และฉายแสงที่ความเข้มข้น ไซยาไนด์เริ่มต้นต่างๆ (ก) พีอช 9 (ข) พีอช 7  | 44 |
| 4.6  | เปรียบเทียบความเข้มข้น ไซยาไนด์ที่ลดลงกับเวลาที่พีอช 7 และพีอช 9 (ก) 10<br>(ข) 20 (ค) 40 (ง) 100 (จ) 200 และ (ฉ) 400 ppm   | 46 |
| 4.7  | ความเข้มข้นของ ไซยาไนด์อิสระที่พีอชต่างๆ   | 47 |
| 4.8  | ความสัมพันธ์ระหว่าง $\ln\left(\frac{C}{C_0}\right)$ กับเวลา ที่ความเข้มข้นเริ่มต้น ไซยาไนด์ต่างๆ ของ<br>(ก) พีอช 7 (ข) พีอช 9  | 48 |
| 4.9  | ความสัมพันธ์ระหว่าง $1/kapp$ กับ $C_0$   | 52 |
| 4.10 | เปรียบเทียบระหว่างค่าที่ได้จากการคำนวณและค่าที่ได้จากการทดลองจริงที่ความ<br>เข้มข้น ไซยาไนด์เริ่มต้น 200 ppm (ก) พีอช 7 (ข) พีอช 9   | 53 |
| 4.11 | เปรียบเทียบระหว่างค่าที่ได้จากการคำนวณและค่าที่ได้จากการทดลองจริงที่ความ<br>เข้มข้น ไซยาไนด์เริ่มต้น 400 ppm (ก) พีอช 7 (ข) พีอช 9   | 54 |

|      |  |    |
|------|--|----|
| 4.12 | ความเข้มข้นของไชยาไนด์ที่ลดลงเทียบกับระยะเวลาในการทดลอง ในการผิวที่ไม่มีแผ่นไททาเนียม ไคออกไซด์ (Control) เปรียบเทียบกับกรณีที่มีแผ่นไททาเนียม ไคออกไซด์และไคออกไซด์เต้มไม่ได้ถ่ายแสง (TiO2) และกรณีที่มีแผ่นไททาเนียม ไคออกไซด์และถ่ายแสงด้วย (UV/TiO2) ที่ความเข้มข้นไชยาไนด์เริ่มต้น 40 ppm พีอีช 7 ที่ความเข้มข้นเปลี่ยนต่างๆ (ก) 0% (ข) 0.2% (ค) 0.4% (ง) 0.8% น้ำหนักโดยน้ำหนัก  | 55 |
| 4.13 | ความเข้มข้นของไชยาไนด์ที่ลดลงเทียบกับระยะเวลาในการทดลอง ในการผิวที่ไม่มีแผ่นไททาเนียม ไคออกไซด์ (Control) เปรียบเทียบกับกรณีที่มีแผ่นไททาเนียม ไคออกไซด์และไคออกไซด์เต้มไม่ได้ถ่ายแสง (TiO2) และกรณีที่มีแผ่นไททาเนียม ไคออกไซด์และถ่ายแสงด้วย (UV/TiO2) ที่ความเข้มข้นไชยาไนด์เริ่มต้น 200 ppm พีอีช 7 ที่ความเข้มข้นเปลี่ยนต่างๆ (ก) 0% (ข) 0.2% (ค) 0.4% (ง) 0.8% น้ำหนักโดยน้ำหนัก | 56 |
| 4.14 | ความสัมพันธ์ระหว่าง C/C₀ กับเวลา 因地ฯ ในการผิวที่มีแผ่นไททาเนียม ไคออกไซด์ และถ่ายแสงที่ความเข้มข้นเปลี่ยนต่างๆ, พีอีช 7 และที่ความเข้มข้นไชยาไนด์เริ่มต้น (ก) 40 ppm (ข) 200 ppm   | 57 |
| 4.15 | ความสัมพันธ์ระหว่าง $\ln\left(\frac{C}{C_0}\right)$ กับเวลา ที่ความเข้มข้นของถ่ายแสงต่างๆ ของความเข้มข้นเริ่มไชยาไนด์ที่ (ก) 40 ppm และ (ข) 200 ppm  | 58 |

## บทที่ 1 บทนำ

### 1.1 ความสำคัญและที่มาของปัญหาที่ทำการวิจัย

มันสำปะหลังจัดว่าเป็นพืชเศรษฐกิจที่มีความสำคัญและนิยมปลูกทั่วไปในประเทศไทยและร้อนชื่นในประเทศไทยพบว่าพื้นที่การเพาะปลูกส่วนใหญ่จะอยู่ในแฉกรากตะวันออกเฉียงเหนือและภาคตะวันออก โดยเฉพาะจังหวัดนครราชสีมาเป็นจังหวัดที่มีผลผลิตมันสำปะหลังสูงสุด มันสำปะหลังที่ปลูกได้ในประเทศไทยส่วนใหญ่จะเป็นการผลิตเพื่อการส่งออกกว่าร้อยละ 80 และเหลือใช้บริโภคภายในประเทศเล็กน้อยเท่านั้น โดยร้อยละ 40 ของผลผลิตหัวสำปะหลังที่ได้ทั้งหมดจะถูกแปลงเป็นแป้งมันสำปะหลัง (สมาคมแป้งมันสำปะหลังไทย, 2005)

ในมันสำปะหลังนั้นจะมีไซยาโนค์ที่เป็นสารพิษ ซึ่งจะอยู่ในรูปของ ไกโอลโคไซด์ (glycoside) 2 ชนิด คือ ลินามาริน (linamarin) และ โลทอสตราลิน (lotaustralin) ในสัดส่วน ประมาณ 20:1 โดยไกโอลโคไซด์ทั้งสองชนิดสามารถถูกย่อยลายโดยเยื่อcyanhydrin ไซน์ลินามาราส (linamarase) ที่มีอยู่ในหัวมันสำปะหลัง เมื่อเนื้อเยื่อถูกทำลายหรือบดขี้ ได้เป็นไซยาโนไฮดริน (cyanohydrin) ที่สามารถถูกย่อยลายได้โดยไซยาโนไซด์ (HCN) หรือเรียกว่า Free cyanide (CN<sup>-</sup>) ที่มีความเป็นพิษต่อคนและสัตว์ หากได้รับไซยาโนค์ในปริมาณ 40-60 มิลลิกรัมสามารถทำให้คนหรือสัตว์ตายได้ โดยปริมาณไซยาโนค์ที่มีอยู่ในหัวมันสำปะหลังนั้นขึ้นอยู่กับพันธุ์ เวลาในการเก็บเกี่ยว และสภาพแวดล้อมในการเพาะปลูก

มันสำปะหลังสามารถแบ่งออกได้เป็น 3 ประเภทใหญ่ๆ ตามปริมาณไซยาโนค์ที่มีอยู่ในหัวมัน ดังนี้ ประเภทที่มีรสหวาน (sweet type) หรือไนท็อกซิก (low toxic) เป็นมันสำปะหลังที่มีปริมาณไซยาโนค์ต่ำกว่า 50 มิลลิกรัมต่อกิโลกรัมหัวมันสด ประเภทที่สองคือประเภทที่มีพิษปานกลาง (medium toxic) เป็นมันสำปะหลังที่มีปริมาณไซยาโนค์อยู่ในช่วง 50-100 มิลลิกรัมต่อกิโลกรัมหัวมันสด ประเภทสุดท้ายคือประเภทที่มีรสขม (bitter type) หรือมีพิษ (high toxic) เป็นมันสำปะหลังที่มีปริมาณไซยาโนค์มากกว่า 100 มิลลิกรัมต่อกิโลกรัมหัวมันสด มันสำปะหลังประเภทนี้ นิยมใช้ในอุตสาหกรรมการแปรรูปเป็นผลิตภัณฑ์ต่างๆ เช่น มันสำปะหลังอัดเม็ด แป้งมันสำปะหลัง เป็นต้น

กระบวนการผลิตแป้งมันสำปะหลังเริ่มจากถังหัวมันก่อนที่จะส่งไปสับให้เป็นชิ้นเล็กๆ จากนั้นส่งหัวมันเข้าเครื่องโม่ (rasper) และนำไปปั่นจากเครื่องโม่จะถูกปั่นไปยังหน่วยสกัดหมาบและสกัดละเอียด (extractor) ก่อนที่จะส่งไปยังหน่วยแยกแป้ง (separator) และสลัดแป้ง (dewatering centrifuge) ซึ่งจะได้แป้งหมวด (starch cake) ก่อนที่จะส่งไปอบแห้ง (flash dryer) แล้วบรรจุ (Sriroth, 1999) โดยปริมาณไซยาโนค์ในหัวมันที่เข้ากระบวนการผลิตอยู่ในช่วง 28-43 kg HCN/วัน ที่กำลังการผลิต 100

ตันแป้งค่อวัน ซึ่งปริมาณไชยาในดินหัวมันสำปะหลังสามารถถูกกำจัดบางส่วนระหว่างกระบวนการผลิต เช่น ในกระบวนการล้าง การสกัด การแยกแป้ง และการอบแห้ง โดยผลิตภัณฑ์สุดท้ายที่ได้จากกระบวนการผลิตแป้งมันสำปะหลังจะมีปริมาณไชยาในดินไม่เกิน 2 mg HCN/กิโลกรัมแป้ง (2 ppm) (Piyachomkawn et al., 2005)

เนื่องจากในโรงงานแป้งมันสำปะหลังนั้น ได้มีการนำน้ำวนกลับมาใช้ใหม่ เพื่อเป็นการลดปริมาณการใช้น้ำ ลดปริมาณน้ำทิ้งและลดการสูญเสียแป้งที่หลุดไปกับน้ำทิ้งให้น้อยลง โดยบวนน้ำจากหน่วยผลิตแห้งไปยังหน่วยแยกแป้ง ในขณะที่น้ำจากหน่วยแยกแป้งถูกวนกลับไปยังหน่วยล้างหัวมัน และสุดท้าย น้ำจากหน่วยผลิตหมานจะวนกลับไปยังหน่วยไม่แป้ง โดยปริมาณไชยาในดินน้ำที่วนกลับมาใช้ใหม่นั้นอยู่ในช่วง 3.69-34 kg HCN / วัน (Piyachomkawn et al., 2005) และนี่เป็นสาเหตุที่ทำให้เกิดการสะสมของปริมาณไชยาได้ในกระบวนการผลิต ซึ่งจะมีผลทำให้เหลือปริมาณไชยาในดินผลิตภัณฑ์แป้งมันสำปะหลังอยู่ 0.2-2 ส่วนในล้านส่วน (ppm) ทั้งนี้ปริมาณไชยาในดินที่ตกค้างอยู่ในระดับที่ปลดออกข้อมูลที่กำหนดโดย FAO/WHO Codex Alimentarius คือไม่เกิน 10 mg HCN/kg โดยน้ำหนักแห้ง ซึ่งในประเทศไทย ญี่ปุ่น เกาหลีกำหนดมาตรฐานแป้งมันสำปะหลังที่มีปริมาณไชยาในดินเพียงแค่ 0.1 ppm (Tungmunkonvorakul, 2001) แต่อย่างไรก็ตามในการผลิตแป้งมันสำปะหลังเพื่อการส่งออกนั้นขั้นคงขึ้นด้วยผลของการกำหนดปริมาณไชยาในดินแป้งมันสำปะหลังตามคุณสมบัติของแป้งมันสำปะหลังที่นำไปใช้ในทางเกษตรกรรม นั้นคือจะต้องมีปริมาณไชยาในดินเหลืออยู่ในแป้งมันสำปะหลังไม่เกิน 0.1 ppm ซึ่งเป็นผลให้ผลิตภัณฑ์แป้งมันสำปะหลังส่งออกของไทยประสบปัญหาปริมาณไชยาในดินเหลืออยู่ในแป้งมันสำปะหลังเกินกำหนด ซึ่งทำให้สูญเสียโอกาสในการส่งออกไปยังประเทศญี่ปุ่น เกาหลี เป็นต้น (Piyachomkwan et al., 2005)

ในอุตสาหกรรมแป้งมันสำปะหลังนั้น โดยปกติไชยาในดินถูกกำจัดในระหว่างกระบวนการผลิตแป้ง มันสำปะหลัง โดยการเติมสารออกซิไดซ์ ซึ่งสารที่ใช้กันมาก ได้แก่ ออกซิเจน (oxygen), ไฮโดรเจน เปอร์ออกไซด์ (hydrogen peroxide), ชาลเฟอร์ไนโตรออกไซด์ (sulphur dioxide) และโอโซน (ozone) สำหรับการใช้ออกซิเจนเป็นตัวออกซิไดซ์ ผลิตภัณฑ์สุดท้ายที่ได้จากการปฏิกรณ์ของไนโตรเจน ไนโตรเจนออกไซด์ ((NH<sub>4</sub>)<sub>2</sub>CO<sub>3</sub>) ซึ่งเป็นผลลัพธ์และมีกลิ่นเหม็นโอมเนีย และหากต่อการแยกผงแอลูมิเนียม คาร์บอนเนต ((NH<sub>4</sub>)<sub>2</sub>CO<sub>3</sub>) ซึ่งเป็นผลลัพธ์และมีกลิ่นเหม็นโอมเนีย และหากต่อการแยกผงแอลูมิเนียม คาร์บอนเนตออกจากผงแป้ง ดังนั้นจึงไม่เหมาะสมที่จะใช้ในกระบวนการผลิตแป้งมันสำปะหลัง สำหรับ ไฮโดรเจน เปอร์ออกไซด์นั้นพบว่าค่าใช้จ่ายของสารเคมีค่อนข้างสูงและปฏิกรณ์ยาก ได้ค่อนข้างช้า ส่วนโอโซนนั้นเป็นวิธีที่น่าสนใจในปัจจุบัน เนื่องจากโอโซนนั้นเป็นสารออกซิไดซ์ที่แรงกว่า ออกซิเจนและไฮโดรเจน เปอร์ออกไซด์ รวมทั้งปฏิกรณ์นานนั้นเกิดได้เร็วและสนับสนุน แต่มีข้อด้อยคือ ประสิทธิภาพของโอโซนจะลดลงเมื่อ pH มากกว่า 11 และมีค่าใช้จ่ายในการผลิตโอโซนค่อนข้างสูง มาก ดังนั้นงานวิจัยนี้จึงเสนอแนวความคิดที่จะใช้กระบวนการฟอโตકัตไอลซิส โดยใช้ไฟแทน

โดยออกไซด์ในการลดปริมาณไฮยาไนด์ เนื่องจากกระบวนการฟอโตકะโรไลซิสจะเกิดปฏิกิริยาเร็วๆ และเกิดไฮดรอกซิล รีดิคัล (hydroxyl radical, OH<sup>•</sup>) ที่เป็นตัวออกซิไคซ์ที่แรงกว่าไฮโซน โดยไฮทานียมโดยออกไซด์เป็นสารกึ่งตัวนำที่มีความเสถียรสูงและสามารถทำงานที่สภาพปอดได้ แต่ไฮทานียมโดยออกไซด์โดยปกตินี้ลักษณะเป็นผงสีขาวและมีอนุภาคขนาดเล็ก จึงไม่เหมาะสมที่จะนำมาใช้ในกระบวนการผลิตแป้งมันสำปะหลัง เพราะยากต่อการแยกผง ไฮทานียมโดยออกไซด์ออกไซด์บันแเพ่นกระเจก ดังนั้น ได้ประยุกต์โดยการตรึงไฮทานียมโดยออกไซด์บนแผ่นกระเจก นี้จึงมีวัตถุประสงค์เพื่อศึกษาวิธีการลดปริมาณไฮยาไนด์ในกระบวนการผลิตแป้งมันสำปะหลังโดยกระบวนการฟอโตคะโรไลซิสโดยใช้ไฮทานียมโดยกระบวนการฟอโตคะโรไลซิสและศึกษาจลนพลศาสตร์ของการออกซิเดชันของไฮยาไนด์โดยกระบวนการฟอโตคะโรไลซิสของไฮทานียมโดยออกไซด์

## 1.2 วัตถุประสงค์ของโครงการวิจัย

- ศึกษาผลของการเพิ่มปริมาณไฮยาไนด์เริ่มต้น และปริมาณแป้งในสารละลายน้ำต่อการสลายของไฮยาไนด์
- ศึกษาจลนพลศาสตร์ของการออกซิเดชันของไฮยาไนด์ด้วยกระบวนการฟอโตคะโรไลซิสโดยใช้ไฮทานียมโดยออกไซด์ในกระบวนการผลิตแป้งมันสำปะหลัง

## 1.3 ขอบเขตของโครงการวิจัย

- ออกแบบและสร้างถังปฏิกรณ์ฟอโตคะโรไลซิส เพื่อบำบัดไฮยาไนด์แบบกลาง
- สารละลายน้ำที่ใช้ในการทดลองมีความเข้มข้นไฮดรเจนไฮยาไนด์เท่ากับ 10, 20, 30, 100, 200 และ 400 ppm
- ปริมาณแป้งในสารละลายน้ำที่ใช้ในการทดลอง คือ 0, 0.2, 0.4 และ 0.8 เบอร์เซนต์โดยน้ำหนักต่อปริมาตร
- พัฒนาสมการจลนพลศาสตร์ของอัตราการเกิดปฏิกิริยาออกซิเดชันของไฮยาไนด์โดยกระบวนการฟอโตคะโรไลซิส

#### 1.4 ประโยชน์ที่คาดว่าจะได้รับ

1. เพื่อเข้าใจถึงจุดสำคัญของการออกแบบชิ้นของไทยในศักยกรรมการไฟโตคະໄลซิสโดยใช้ภาษาเนื้มนิมได้อย่างไรด้วยกระบวนการผลิตเป็นมันสำปะหลัง
2. นำความรู้ที่ได้มาเป็นแนวทางในการพัฒนาและประยุกต์ใช้ในการลดปริมาณไฟฟ้าในศักยกรรมการผลิตเป็นมันสำปะหลัง

## บทที่ 2 ทฤษฎีและผลงานวิจัยที่เกี่ยวข้อง

### 2.1 มันสำปะหลัง

มันสำปะหลังจัดเป็นพืชหัวชนิดหนึ่ง มีชื่อวิทยาศาสตร์ว่า *Manihot esculenta* (L.) Crantz ชื่อเรียกทั่วไปในภาษาอังกฤษว่า Cassava หรือ Tapioca ประเทศไทยได้ใช้ภาษาสเปนเรียกว่า Yuca ภาษาโปรตุเกสในประเทศไทยเรียกว่า Mandioca และประเทศไทยเรียกว่าฟูดากายา ฝรั่งเศส เรียกว่า Manioc (Cassava and starch Technology Research Unit, 2001) ต้นมันสำปะหลังนี้แหล่งกำเนิดแ打扮ที่คุ้มเขตต้อน (Lowland tropics) เป็นไม้พุ่มยืนต้น สูงประมาณ 1-5 เมตร ลำต้นมีสีแตกต่างกันไปตั้งแต่สีเขียวหม่นถึงน้ำตาลแก่ขึ้นกับชนิดของพันธุ์ แผ่นใบเว้าเป็นแฉกมี ๓-๕ แฉก สีของใบเป็นสีเขียวเข้ม ดอกเป็นแบบ Panicle มีทึ้งดอกตัวผู้และดอกตัวเมียอยู่ในช่อเดียวกัน แต่อยู่แยกกัน แบ่งมันสำปะหลังสามารถสกัดได้จากหัวมัน โดยทั่วไปหัวมันยาวประมาณ 15-100 เซนติเมตร เส้นผ่าศูนย์กลางประมาณ 3-15 เซนติเมตร (Balagopalan et al., 1988)

มันสำปะหลังถือได้ว่าเป็นพืชเศรษฐกิจที่สำคัญอย่างยิ่งของประเทศไทยเนื่องจากเป็นเป็นพืชที่ทนแล้งได้ดี 适合ในการดูแลรักษา ไม่มีแมลงและโรคพืชรบกวน และสามารถขยายพันธุ์ได้่าย ให้ผลผลิตสูง ต้นทุนการเพาะปลูกต่ำ จึงเป็นที่นิยมของเกษตรกรทั่วไป มันสำปะหลังเป็นพืชที่ปลูกได้ตลอดทั้งปี และสามารถปลูกได้ทั่วไป ยกเว้นในบริเวณที่คินมีความชื้นสูง ฝนตกหนัก หรือคินเค็ม ดังนั้นจึงพบเห็นมันสำปะหลังปลูกกระจายไปทั่วทุกภาค แต่ภาคที่มีการปลูกมันสำปะหลังมากที่สุด คือภาคตะวันออกเฉียงเหนือ ประเทศไทยสามารถผลิตหัวมันสดได้ 25-28 ล้านตันต่อปี ซึ่งแสดงให้เห็นว่าประเทศไทยเป็นผู้ผลิตมันสำปะหลังรายใหญ่ (สมาคมแป้งมันสำปะหลังไทย, 2007)

ส่วนราชการมันสำปะหลังจะถูกนำมายield เป็นวัตถุคิดในการผลิตแป้งมันสำปะหลัง ซึ่งมีลักษณะเป็นรากฟอยที่มีการสะสมอาหารไว้ที่รากในรูปของแป้ง ซึ่งความสามารถในการสร้างและสะสมแป้งที่รากจะแตกต่างกันออกไปตามสายพันธุ์ อาชญากรรมเก็บเกี่ยวและปริมาณน้ำฝนที่ได้รับ โดยทั่วไปหัวมันสำปะหลังจะมีองค์ประกอบส่วนใหญ่เป็นแป้ง ทำให้มันสำปะหลังเป็นแหล่งของการนำไปใช้ครบที่ให้พลังงานกับสัตว์ได้ โดยเฉลี่ยแล้วส่วนประกอบในรากมันสำปะหลัง (Balagopalan et al., 1988)

|                  |          |
|------------------|----------|
| น้ำ              | 60-70%   |
| แป้ง             | 20-30%   |
| โปรตีน           | 1%       |
| เยื่อไข          | 2%       |
| ไขมันและน้ำมัน   | 1%       |
| เต้า             | 0.9-2.4% |
| กรดไฮดรอกไซบานิก | 0.02%    |

## 2.2 การผลิตแป้งมันสำปะหลัง

หลักการสำคัญในการผลิตแป้งมันสำปะหลัง คือการสกัดเอาแป้งออกจากเซลล์ของรากมันสำปะหลัง โดยใช้น้ำเป็นตัวสกัด เพราะ โปรตีน เกลือแร่ สิ่งแปรเปลี่ยนปลอมอื่นๆ สามารถละลายน้ำได้ดี จากนั้นใช้เครื่องกล เช่น การเหวี่ยงแยก (Centrifuge) ในอัตรารอบสูงๆ เนื่องจากโปรตีนและสิ่งแปรเปลี่ยนปลอมต่างๆนั้นมีน้ำหนักไม่เท่ากันแป้งมาก (Sriroth, 2000)

### ขั้นตอนในการผลิตแป้งมันสำปะหลังมีดังนี้

#### ก) การเตรียมวัตถุคุณ

หลังจากการหัวมันสำปะหลังส่งมายังโรงงาน ทางโรงงานจะทำการสุ่มตัวอย่างเพื่อนำมาตรวจวัดความหนาแน่น โดยใช้เครื่องวัดแบบ Reimann scale ดังรูปที่ 2.1 โดยอาศัยหลักของการลอยตัว (Buoyancy) ของวัตถุในของเหลว เพื่อหาปริมาณแป้งในหัวมันเพื่อตีราคาในการซื้อขาย จากนั้นนำหัวมันมาทราบกันไว้บนลานวัดคุณ เพื่อรอเข้าสู่กระบวนการผลิตต่อไป โดยทั่วไปหัวมันมักจะถูกส่งเข้าสู่กระบวนการผลิตภายใน 24 ชั่วโมง เพื่อป้องกันไม่ให้ปริมาณแป้งในหัวมันต่ำลง ดังรูปที่ 2.2 (Sriroth, 1999)



รูปที่ 2.1 Reimann balance (Nattakan and Songkarn, 2006)



รูปที่ 2.2 กองหัวมันก่อนเข้าสู่กระบวนการผลิต (สมาคมแป้งมันสำปะหลังไทย, 2007)

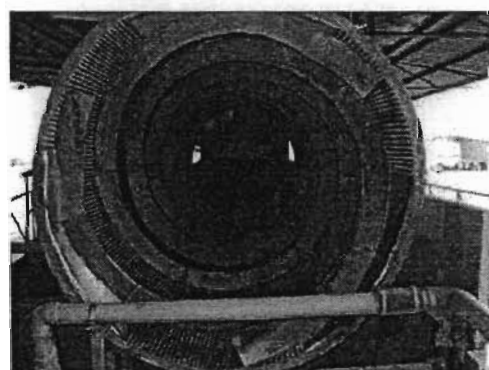
จากนั้นจะมีรถตักหัวมันลงสู่ถังปล่อยหัวมัน (root hopper) สายพานจะลำเลียงหัวมันไปยังเครื่องร่อนคินทราระและถังร่อนเปลือก (root siever) รูปทรงกระบอกแนวอนที่หนุนหรือสันอยู่ตลอดเวลา ดังรูปที่ 2.5 ระหว่างทางจะมีพนักงานคอยคัดและตัดรากทิ้ง จากนั้นส่งหัวมันมาทำความสะอาดโดยผ่านเครื่องล้างหัวมัน (root washer) ดังรูปที่ 2.6 ที่มีลักษณะเป็นทรงกระบอกผ่าครึ่งตามแนวอน ภายในขันเป็นช่องๆ มีใบพัดหมุนวนหัวมัน และตักหัวมันจากอีกด้านหนึ่งไปยังอีกด้านถัดไปเรื่อยๆ เพื่อล้างเอาเศษคินทราระที่ยังติดอยู่กับหัวมันออกไปกับน้ำ น้ำที่ใช้ในการล้างหัวมันส่วนใหญ่จะเป็นน้ำหนุนวีyanจากกระบวนการผลิต ได้แก่ น้ำหนุนวีyanจากเครื่องแยกแป้ง เป็นต้น และมีการใช้น้ำดีในการล้างหัวมันด้วย ซึ่งโดยส่วนมากมักจะใช้ล้างก่อนที่หัวมันจะออกจากเครื่องล้างหัวมัน



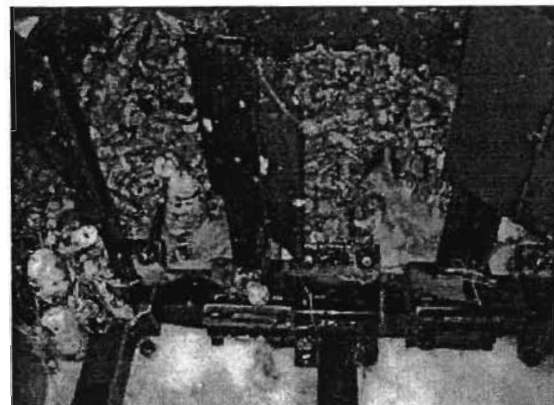
รูปที่ 2.3 ถังปล่อยหัวมัน (root hopper) (สมาคมแป้งมันสำปะหลังไทย, 2007)



รูปที่ 2.4 สายพานลำเลียงหัวมัน (สมาคมแป้งมันสำปะหลังไทย, 2007)



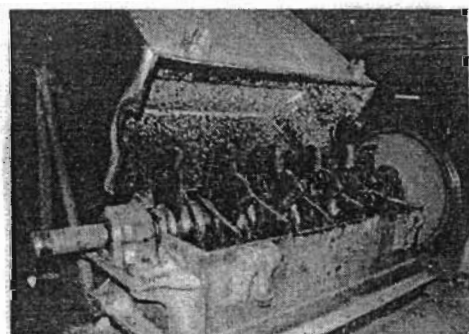
รูปที่ 2.5 เครื่องร่อนคินทรารย (root siever) (Nattakan and Songkarn, 2006)



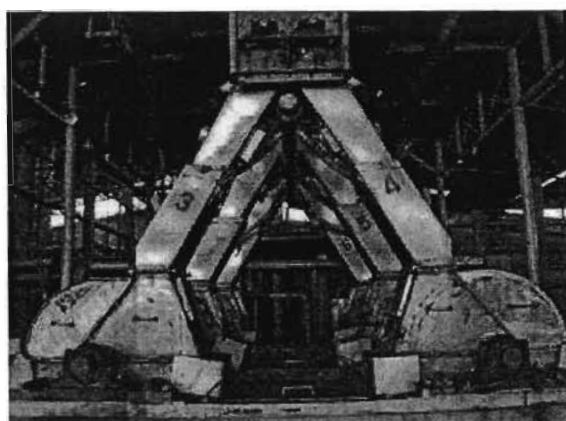
รูปที่ 2.6 เครื่องถางหัวมัน (root washer) (Nattakan and Songkarn, 2006)

#### ๔) การโน้มหัวมันสำปะหลัง

หัวมันที่ผ่านการทำความสะอาดแล้วจะถูกลำเลียงไปยังเครื่องสับหัวมัน (root chopper) ดังรูปที่ 2.7 โดยระบบสายพานลำเลียง ภายในเครื่องสับหัวมันประกอบด้วยใบมีด (cutting blade) ขนาดใหญ่จะทำการสับหัวมันให้เป็นชิ้นเล็กก่อนฯ แล้วส่งผ่านไปยังท่อที่มีลักษณะเป็นรูปขากราบ ดังรูปที่ 2.8 ตู้เครื่องโน้ม (rasper) ซึ่งอยู่ด้านล่างมีลักษณะเป็นถุงกลิ้งที่มีใบมีดขนาดเล็กจำนวนมาก ในระหว่างการโน้มมีการเติมน้ำเพื่อให้สามารถโน้มหัวมันได้ง่ายขึ้น โดยมากเป็นน้ำที่หมุนเวียนเพื่อเป็นการประหัดน้ำและลดการสูญเสียแบ่งไปกับน้ำทิ้ง จากขั้นตอนนี้จะได้ของเหลวข้นที่มีสีค่อนข้างเหลือง ที่มีส่วนผสมของแบ่งน้ำ กากมัน และสิ่งเจือปนต่างๆ



รูปที่ 2.7 เครื่องสับหัวมัน (root chopper) (Sriroth, 1999)

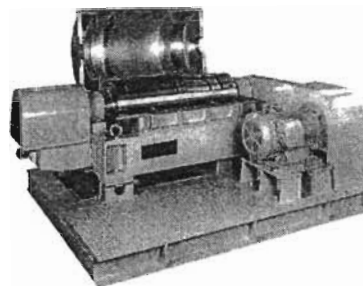


รูปที่ 2.8 เครื่องโน่หัวนัน (rasper) (Nattakan and Songkarn, 2006)

### ค) การสกัดแป้ง

ของเหลวขันจากเครื่องโน่จะถูกปั๊มเข้าสู่เครื่องดีแคนเตอร์ (decanter) ดังรูปที่ 2.9 ซึ่งเป็นเครื่องแยกน้ำทึ้งที่มีโปรดีนและไขมันออกจากเนื้อแป้ง โดยอาศัยหลักของแรงหนืดศูนย์กลาง (centrifuge force) โดยมีความเร็วรอบของการหมุนต่ำ มีแกนหมุนในแนวนอน มีลักษณะเป็นรูปกรวยหรือทรงกระบอกที่แกนกลางมีเกลียวติดอยู่โดยรอบ โดยเกลียวนี้มีไว้เพื่อส่งผ่านแป้ง ภายนอก และน้ำออกมากเป็นน้ำแป้งที่มีความเข้มข้นสูงแล้วเข้าหน่วยสกัดต่อไป ส่วนมากดีแคนเตอร์มักจะอยู่เป็นหน่วยแรกถัดจากเครื่องโน่ แต่ถ้าไม่ได้จะต้องนำส่วนของเครื่องโน่ที่มีลักษณะเป็นรูปกรวยหรือทรงกระบอกที่แกนกลางมาต่อที่สกัดของเครื่องแป้ง เครื่องสกัดแป้ง (extractor) รูปที่ 2.10 เป็นการแยกน้ำแป้งออกจากเส้นใยและการเรียกกันในโรงงานงานว่า “เทอร์โบ” (turbob) มีลักษณะเป็นตะกร้าร่องที่อาสาพแรงหนืดศูนย์กลาง โดยการเหวี่ยงความเร็วรอบต่ำๆ ประมาณ 600-800 รอบ/นาที น้ำแป้งจะถูกปั๊มเข้าทางด้านบนของเครื่อง และมีการฉีดน้ำสะอาดและกำมะถันเข้าอย่างสม่ำเสมอ แรงเหวี่ยงจะทำให้แป้งที่มีขนาดเล็กกว่ากากระดับเส้นใยผ่านแผ่นกรองไปรวมกันด้านล่าง ส่วนกากระดับเส้นใยที่มีขนาดใหญ่กว่าจะติดอยู่บนแผ่นกรองและถูกนำไปใช้ในกระบวนการต่อไปทางด้านบนของเครื่อง จากนั้นกากระดับเส้นใยจะถูกส่งต่อไปยังเครื่องอัดกากระดับ เครื่องสกัดแป้งมักมีอยู่เป็นชุด เรียงเป็นสองแถว ระหว่างแ夸้มร่างสำหรับกากระดับจากเครื่องสกัด ในโรงงานหนึ่งมีเครื่องสกัดแป้งประมาณ 4-6 ชุด แต่ละชุดมี 6-12 เครื่อง โดยเครื่องสกัดแป้งจะรับน้ำแป้งเข้าพร้อมกัน ส่วนปกติเครื่องสกัดแป้งสามารถแบ่งตามหน้าที่การกรองออกเป็น 2 ชุด คือ ชุดสกัดหยาบ (coarse extractor) ที่มีตะกร้ากรองเป็นสแตนเลส (stainless screen) มีขนาดรูกรอง 35-40 เมช (mesh) และชุดสกัดละเอียด (fine extractor) ซึ่งมีผ้ากรองแรงกว่า ไว้ด้านบนตะกร้า โดยผ้ากรองที่ใช้มีขนาดรูร่องแบบคือ 100-120 เมช และ 140-200 เมช การเติมกำมะถันในช่วงสกัดแป้งจะช่วยกำจัดการเกิดเมือกที่จะไปอุดตันแผ่นกรอง และป้องกันไม่ให้เกิดการสะสมของ

เชื้อจุลินทรีชั้นแผ่นกรอง ถ้าเติมในปริมาณที่มากกว่า 2000 มิลลิกรัม/ลิตร จะช่วยฟอกสีของแป้งมันให้ขาวได้ ซึ่งจะมีผลต่อคุณภาพของแป้ง โดยน้ำแป้งจะผ่านเข้าชุดสกัดหนาแน่น ก่อน เพื่อแยกกากหางานออกก่อนแล้วค่อยนำเข้าชุดสกัดละเอียดเพื่อแยกกากอ่อน



รูปที่ 2.9 เครื่องดีแคนเตอร์ (decanter) (Sriroth, 1999)

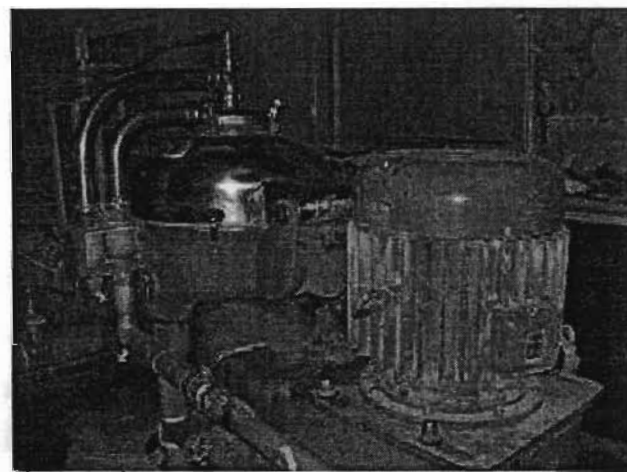


รูปที่ 2.10 เครื่องสกัดแป้ง (extractor) (Bangna Steel Work LTD, 2000)

ส่วนกากหางานและกากอ่อนที่ได้จะถูกแยกเหวี่ยงออกจากด้านบนของตะกร้ากรองแล้วเข้าสู่เครื่องอัดกาก (screw press) ที่มีรูป่างเป็นเกลียวเพื่อรีดน้ำออกจากกาก น้ำที่ออกมานี้อาจจะมีแป้งเหลืออยู่ ซึ่งบางโรงงานจะนำกลับไปที่เครื่องสกัดกากอีกครั้ง บางโรงงานอาจจะทิ้งไปเลย ส่วนกากที่ได้สามารถนำไปเป็นวัตถุคิบของมันอัดเม็ด เป็นต้น

น้ำแป้งที่แยกออกมานอกเครื่องสกัดละเอียดจะถูกส่งน้ำบังเครื่องแยกแป้ง (separator) (รูปที่ 2.11) เพื่อทำให้บริสุทธิ์และเข้มข้นขึ้น เครื่องแยกแป้งเป็นเครื่องที่แยกแป้งในรูปทรงคล้ายคลื่น

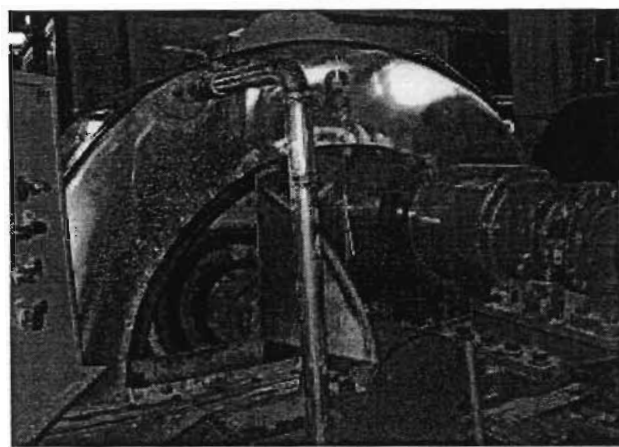
ออกจากน้ำแป้งโดยอาศัยหลักการเหวี่ยง เพื่อทำให้น้ำแป้งที่ได้มีความเข้มข้นสูงขึ้น โรงงานทั่วไปใช้เครื่องแยกแบบ 2 เฟส โดยการทำงานของเครื่องอาศัยหลักของแรงหนีศูนย์กลาง โดยใช้ความเร็วรอบของมอเตอร์ประมาณ 3000 รอบ/นาที เมื่อหมุนทำให้เกิดการแยกชั้นของส่วนที่เป็นน้ำแป้งเข้มข้น (heavy phase) กับ ส่วนของน้ำและสิ่งเจือปนในน้ำแป้ง (light phase) โดยทั่วไปนิยมใช้เครื่องแยกแป้ง 2 ชุดเพื่อให้ได้น้ำแป้งที่มีความเข้มข้นสูงขึ้น โดยควบคุมให้น้ำแป้งที่ออกจากเครื่องแยกแป้งชุดสุดท้ายมีความเข้มข้นประมาณ 18-20 องศาบีเย ( $^{\circ}\text{Be}'$ ) เพื่อเข้าระบบสลัดแห้ง (dewatering process) ต่อไป



รูปที่ 2.11 เครื่องแยกแป้ง (separator) (Nattakan and Songkarn, 2006)

ในขั้นตอนการแยกแป้งน้ำ บางโรงงานใช้ไฮโดรไซโคลน (hydrocyclone) แทนเครื่องแยกแป้ง โดยการทำงานของเครื่องไฮโดรไซโคลนจะอาศัยหลักการของแรงหนีศูนย์กลาง น้ำแป้งจะถูกป้อนเข้าส่วนบนด้านข้างแล้วจะหมุนภายในทรงกรวย ทำให้เกิดแรงปั่นเหวี่ยงแป้งตกลงสู่ส่วนล่างออกมา ส่วนที่เป็นน้ำจะแยกออกที่ส่วนบน

น้ำแป้งที่มีความบริสุทธิ์สูงที่ได้จากเครื่องแยกแป้ง จะใหมาร่วมกันที่ถังพักก่อนปั๊มเข้าเครื่องสลัดแห้ง (dewatering) (รูปที่ 2.12) น้ำที่ผสมอยู่ในน้ำแป้งนี้จะถูกกำจัดออกไปโดยน้ำจะซึมผ่านผ้ากรองที่นุ่วไว้รอบตะกร้าที่หมุนด้วยความเร็ว 1000 รอบ/นาที ออกไปด้านล่าง ส่วนเนื้อแป้งจะเกาะอยู่บนผิวผ้ากรองภายใต้แรงกดที่ 100 กิโลกรัมต่อตารางเมตร ประมาณ 35-40% จากนั้นจะส่งไปอบแห้งต่อไป



รูปที่ 2.12 เครื่องสลัดแห้ง (dewatering) (Nattakan and Songkarn, 2006)

#### ง) การอบแห้ง

แบ่งที่ออกจากเครื่องสลัดแห้งจะถูกลำเลียงด้วยเกลียวป้อนเข้าสู่ปล่องอบแห้งที่มีลมร้อนอุณหภูมิประมาณ 180-200 องศาเซลเซียสจากเตาเผา ปล่องอบแห้งของโรงงานจะมีลักษณะเป็นตัวyuค่าว่าความสูงของปล่องประมาณ 30-35 เมตรจากพื้น แบ่งหมวดจะถูกนำไปชั่วโมง (flash dryer) และทดลองมาด้วยแรงดึงดูดเข้าสู่ไซโคลนร้อน (drying cyclone) ความชื้นจะถูกระเหยออกไปบางส่วนในไซโคลนร้อน และตรงด้านล่างของไซโคลนร้อนจะมีการตรวจสอบความชื้นที่เหลืออยู่ของแป้ง ถ้าชื้นมากอาจปรับอัตราเร็วของแป้งที่เข้าปล่องอบแห้ง โดยลดปริมาณแป้งเข้าหรือลดอัตราเร็วของลมร้อนที่เป่าพาแป้งเข้าสู่ปล่อง เพื่อให้แป้งมีความชื้นน้อยลงตามที่ต้องการหลังจากผ่านไซโคลนร้อนแล้ว แป้งจะถูกดูดเข้าไซโคลนเย็น (cooling cyclone) แล้วผ่านเข้าสู่เครื่องร่อนแป้ง เพื่อแยกแป้งหยาบและแป้งละเอียดออกจากกันก่อนทำการบรรจุแป้งที่ได้ลงถุงต่อไป แป้งบรรจุถุงที่ได้จะเก็บไว้ได้ไม่เกิน 1 ปี



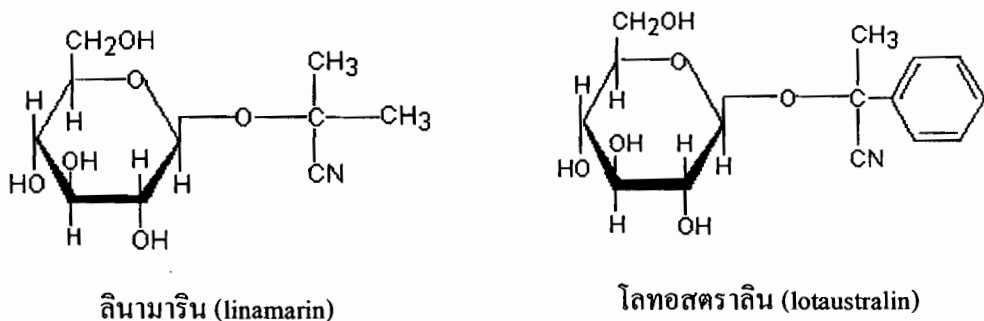
รูปที่ 2.13 ปล่องอบแห้ง (flash dryer) (Bangna Steel Work LTD, 2000)

### ๑) การบรรจุและการเก็บรักษา

เป็นที่ได้จากการพิจารณาชั้นต่ำประมาณ 9-11% และมีความหนาแน่นต่ำซึ่ง ก่อให้เกิดการฟื้งกระจาดระหว่างการบรรจุลงกระสอบ การเก็บรักษาเป็นหลังจากการบรรจุแล้ว สามารถทำได้โดยการวางเรียงกระสอบเป็นบันท์รัล (pallet) และซ้อนถุงเป็นชั้นๆ พยายามหลีกเลี่ยงการซ้อนทับกันสูง 4 หรือ 5 เมตร

### 2.3 ไขยไนต์ในมันสำปะหลัง

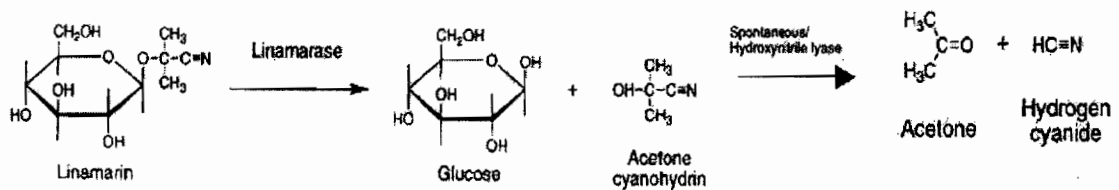
พืชมากกว่า 2,500 ชนิดรวมถึงพืชผลทางการเกษตรมีไขยไนต์เป็นองค์ประกอบ (cyanogenic) เช่น มันสำปะหลัง ข้าวฟ่าง ต้นไผ่ ข้าวโพด ขัลอนด์และฝ้าย เป็นต้น โดยไขยไนต์ในมันสำปะหลังจะถูกสร้างขึ้นจากการ合成มิโน่ 2 ตัว คือ แวนีล (valine) และ ไอโซลิวิน (isoleucine) ซึ่งการสังเคราะห์จากการ合成มิโน่แวนีลจะได้ไกลโคไซด์ (glycoside) ของอะซีโตนิไขยไนต์ (acetone cyanohydrin) และการสังเคราะห์จากการ合成มิโน่ไอโซลิวินจะได้ไกลโคไซด์ (glycoside) ของเมทิล เอทิล็อกโตันิไขยไนต์ (methylethyl ketone cyanohydrin) เรียกว่า ลินามาริน (linamarin หรือ 2-hydroxy isobutyronitrile- $\beta$ -D-glycoside) และ โลಥอสตราลิน (lotaustralin หรือ 2-hydroxy-2-methylbutyronitrile- $\beta$ -D-glycoside) ตามลำดับ (Sriroth, 1999)



รูปที่ 2.14 โครงสร้างของ ลินามารินและ โลಥอสตราลิน (Simeonova et al., 2004)

ในปกติมันสำปะหลังจะมี ลินามารินอยู่ 93% และ โลಥอสตราลินอยู่ 7% ซึ่งไกลโคไซด์ทั้งสองชนิดนี้สามารถพบได้ในเนื้อเยื่อของพืช เมื่อเนื้อเยื่อของมันสำปะหลังถูกทำลาย โดยการกัดแทะของแมลง หรือสัตว์ ถูกทำลาย หรือถูกบดเขยี้ยว เป็นการเร่งให้อ่อนไขมูลลินามารีส (linamarase) ที่มีอยู่ในผนังเซลล์ เข้าไปป้ำโครไรลิซ (hydrolysis) Cyanogenic glycoside ที่อยู่ใน vacuoles ได้กลูโคส (glucose) และอะซีโตนิไขยไนต์ (acetone cyanohydrin) ดังรูปที่ 2.15 จากนั้นอะซีโตนิไขยไนต์ (acetone cyanohydrin) ซึ่งไม่เสถียรและจะถูกย่อยลายโดยอ่อนไขมูลออกซีไนโตรไฮดรอเจส (hydroxynitrite lyase, HNL)

ได้อัลเดียร์อีดีโทิน และกรดไฮโดรไซยาโนิก (HCN) ซึ่งกรดไฮโดรไซยาโนิกเองที่เป็นพิษต่อแมลงหรือสัตว์ที่กัดกินได้ ปรากฏการณ์ที่พืชสามารถปล่อยกรดไฮโดรไซยาโนิกออกมานี้ เรียกว่า ไซยาโนเจนезิส (cyanogenesis) ซึ่งเป็นการป้องกันตนเองของพืชจากการถูกทำลายโดยสัตว์และแมลง (Sriroth, 1999; Siritunga, 2002)



รูปที่ 2.15 ไซยาโนเจนезิส (cyanogenesis) จากลินามาริน (FSANZ, 2004)

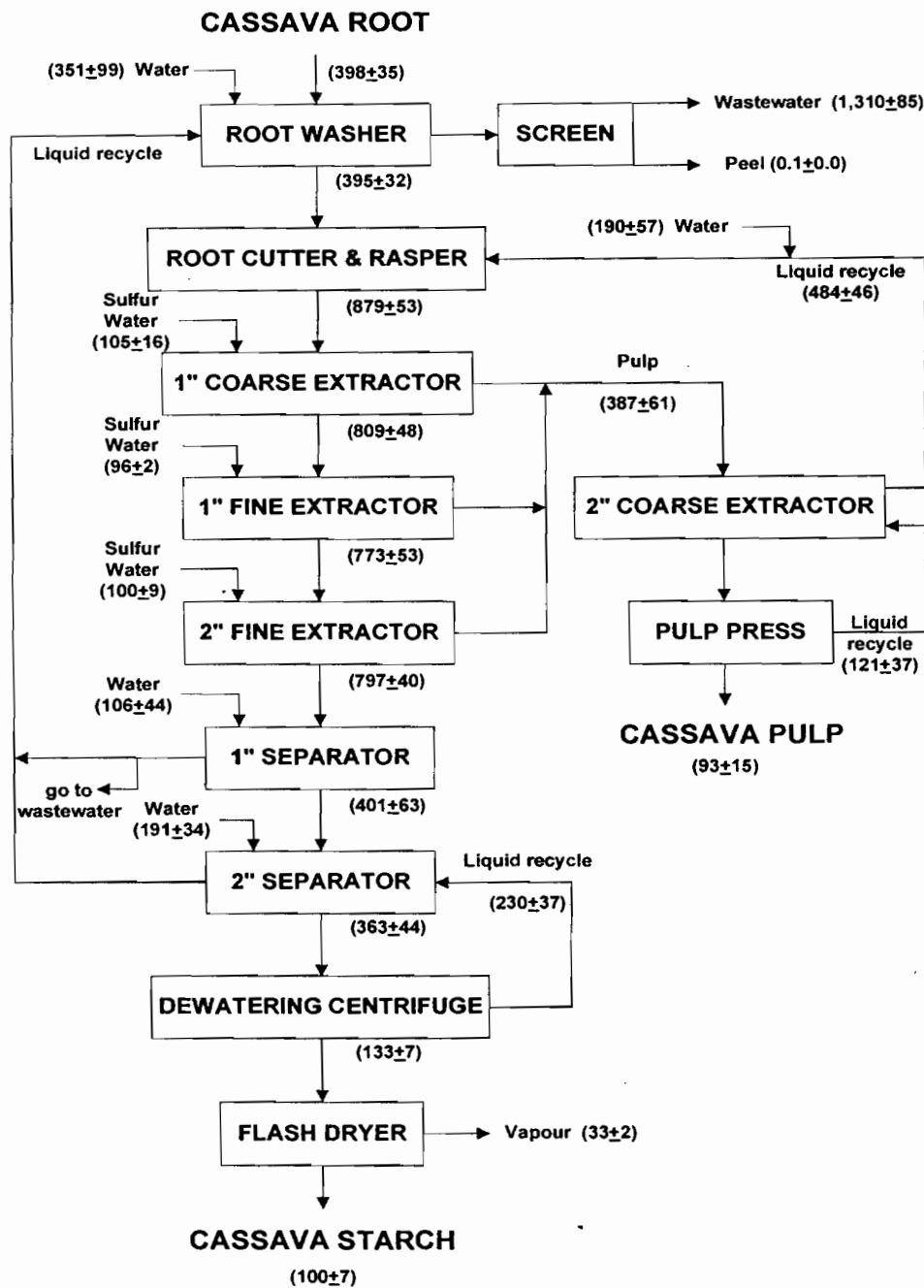
โดยทั่วไปในหัวมันสำปะหลังมีปริมาณไซยาไนค์อยู่ประมาณ 15-4,00 มิลลิกรัม HCN/กิโลกรัมหัวมันสด ดังนั้นสามารถจำแนกชนิดของหัวมันสำปะหลังตามความเป็นพิษของไซยาไนค์ได้เป็น 3 กลุ่ม คือ กลุ่มแรก เป็นกลุ่มที่ไม่มีพิษ (Innocuous) คือหัวมันที่มีปริมาณไซยาไนค์อยู่น้อยกว่า 50 มิลลิกรัมต่อกิโลกรัมหัวมันสด กลุ่มที่สอง เป็นกลุ่มที่มีพิษปานกลาง (Moderately poisonous) คือหัวมันที่มีปริมาณไซยาไนค์อยู่ตั้งแต่ 50-100 มิลลิกรัมต่อกิโลกรัมหัวมันสด ส่วนกลุ่มสุดท้าย เป็นกลุ่มที่มีพิษอันตราย (Dangerous poisonous) คือหัวมันที่มีปริมาณไซยาไนค์มากกว่า 100 มิลลิกรัมต่อกิโลกรัมหัวมันสด

## 2.4 สมดุลมวลสารและไซยาไนค์ในกระบวนการผลิตแป้งมันสำปะหลัง

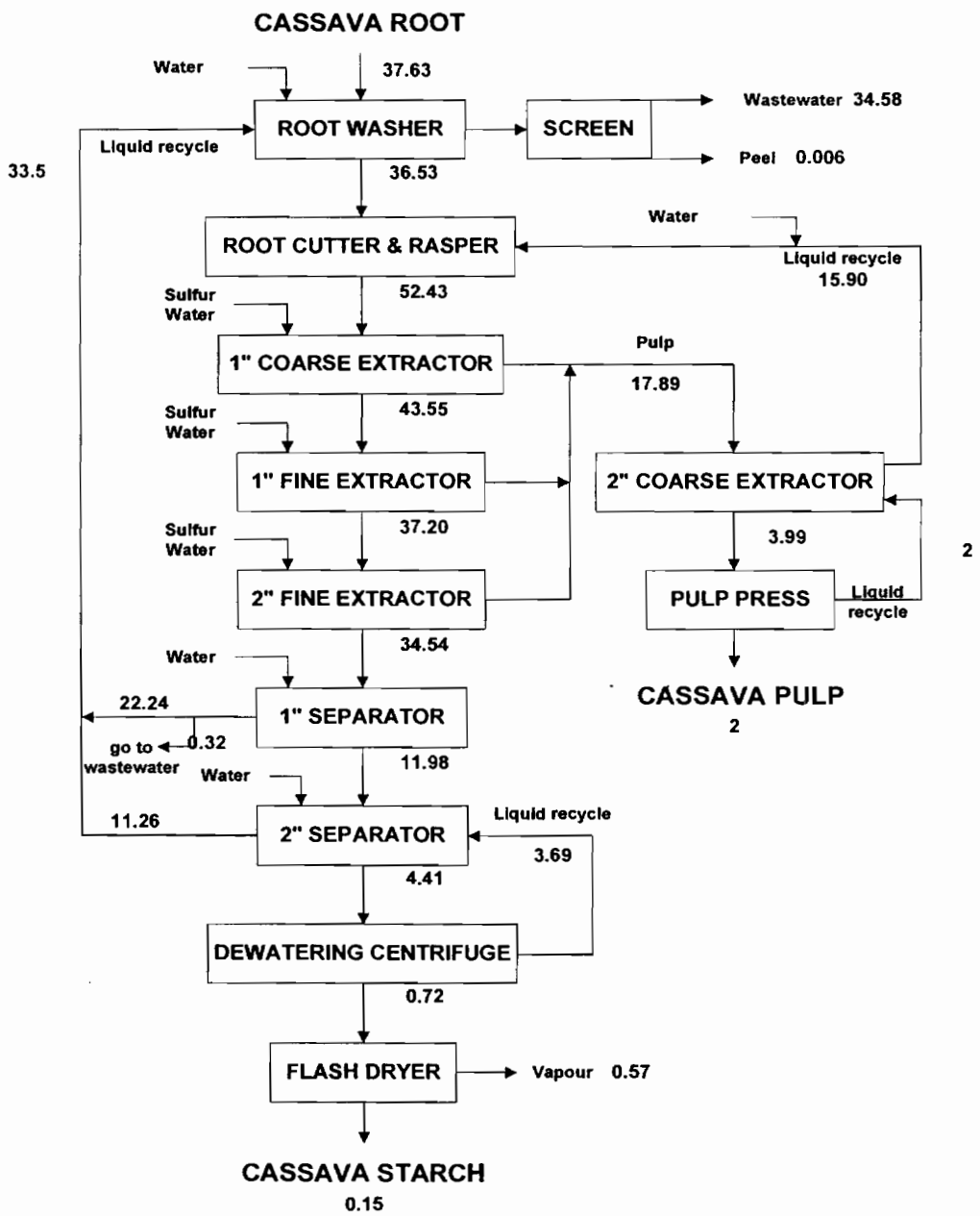
แป้งมันสำปะหลังเป็นสินค้าที่สำคัญอย่างหนึ่งรองลงมาจาก ข้าวโพด ข้าวสาลี และมันเทศ และได้มีการพัฒนาเพื่อขยายตลาดโรงงานที่ใช้ในการผลิตแป้งมันสำปะหลังโดยการนำเอาเครื่องจักรเข้ามายังกระบวนการผลิตและใช้เวลาในการผลิตน้อยลง ซึ่งหัวมันนี้ได้ผ่านกระบวนการต่างๆ ซึ่งอาจเกิดการเปลี่ยนแปลงของ cyanogenic compound ขึ้นได้ รูปที่ 2.16 แสดงปริมาณไซยาไนค์ในแต่ละขั้นตอนการผลิตในโรงงานผลิตแป้งมันสำปะหลังขนาดกลาง โดยทางโรงงานใช้หัวมันสดประมาณ 400 ตันต่อวัน ในการผลิตแป้งมันสำปะหลังประมาณ 100 ตันต่อวัน โดยสัดส่วนระหว่าง หัวมันสดที่ใช้กับแป้งมันสำปะหลังที่ได้เป็น 4 ต่อ 1 (Piyachomkwan et al., 2005) ในหัวมันสดมีปริมาณไซยาไนค์โดยเฉลี่ย 283 มิลลิกรัมไซยาไนค์ต่อกิโลกรัมหัวมันสด หรือคิดเป็น 37.63 กิโลกรัมไฮโดรเจนไซยาไนค์ต่อวัน และปริมาณไซยาไนค์ได้ถูกจำกัดไว้ในแต่ละขั้นตอนของการผลิต ปริมาณไซยาไนค์จะลดลงจาก 37.63 จนเหลือประมาณ 0.15 กิโลกรัมไซยาไนค์ต่อวัน (รูปที่

2.17 ) ศุดท้ายจะได้เป็นมันสำปะหลังที่มีปริมาณ ไซยาไนด์ไม่เกิน 2 มิลิกรัม ไซยาไนด์ต่อ กิโลกรัม เป็นมันสำปะหลัง

ในกระบวนการผลิตเป็นมันสำปะหลังนี้จะมีการนำน้ำหมุนเวียนกลับมาใช้ใหม่เพื่อเป็นการลด ปริมาณน้ำทึบและประหยัดค่าใช้จ่าย โดยนำที่มักกลับมาใช้ใหม่ คือ นำน้ำจากหน่วยสกัดแห้ง (dewatering) มาใช้บังหน่วยแยกเป็น (separator), นำน้ำจากหน่วยแยกเป็น (separator) มาใช้บังหน่วย สลังหัวมัน (washer) และนำน้ำจากหน่วยสกัดหยาน (coarse extractor) มาใช้บังหน่วยโน่เป็น (rasper) จากรูปที่ 2.17 จะเห็นว่าปริมาณ ไซยาไนด์ในน้ำที่นำกลับมาใช้ใหม่นั้น อยู่ในช่วง 3.69-33.5 กิโลกรัม ไซยาไนด์ต่อวัน โดยปริมาณ ไซยาไนด์ที่มีในน้ำนั้นเป็นสารเคมีที่ทำให้เกิดการสะสมของไซยาโนเจน ในกระบวนการผลิตโดยเฉพาะน้ำจากหน่วยแยกเป็นไปบังหน่วยสลังหัวมัน และน้ำจากหน่วยสกัด หยานไปบังหน่วยโน่หัวมัน



รูปที่ 2.16 สมดุลมวลสารในกระบวนการผลิตแป้งมันสำปะหลัง ค่าที่แสดงเป็นค่าเฉลี่ย±ค่า SD ของปริมาณหัวมันที่ใช้ในกระบวนการผลิต ในหน่วยตันต่อวัน (Piyachomkwanet al., 2005)



รูปที่ 2.17 สมดุลไชยาในค์ในกระบวนการผลิตแป้งมันสำปะหลัง ค่าที่แสดงเป็นค่าเฉลี่ย±ค่า SD ของปริมาณไชยาในค์ ในหน่วยกิโลกรัมไชโยรเงนไชยาในค์ต่อวัน (Piayachomkwanet al., 2005)

## 2.5 การกำจัด cyanogenic glucosides ในมันสำปะหลัง

ลินามารินและโลทอสตราลิน จะต้องถูกกำจัดออกไประหว่างกระบวนการผลิตเป็นมันสำปะหลัง โดยวิธีที่มีประสิทธิภาพในการกำจัดไขขายайнค์และใช้ในกระบวนการผลิต คือ

- การปอกเปลือก (peeling) ซึ่งพบว่าชั่งลดปริมาณ cyanogenic glucoside ลงไปอย่างน้อย 50% (Siritunga, 2002)

- การแช่หรือด้าง (soaking) จะช่วยสักดิให้ไขขายайнค์ละลายไปในน้ำ โดยวิธีนี้จะกำจัดไขขายайнค์อิสระไปได้ 20% เมื่อแช่ในน้ำเป็นเวลา 4 ชั่วโมงโดยมีการหมุนเวียนเปลี่ยนน้ำไปด้วย นอกจากนี้พบว่าเมื่อนำหัวมันสำปะหลังที่ปอกเปลือกแล้วแช่น้ำเป็นเวลา 4-5 ชั่วโมงแล้วนำไปตากแดด พบร่วงปริมาณไขขายайнค์ลดลงถึง 98.6% (Siritunga, 2002)

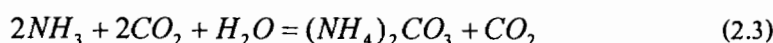
- การให้ความร้อน (Boiling/Cooking) ให้ผลลัพธ์กับการแช่ โดยการให้ความร้อนแก่หัวมันสำปะหลังนั้นจะช่วยลดปริมาณไขขายайнค์ได้อย่างรวดเร็ว ประมาณ 90% ของไขขายайнค์อิสระจะถูกกำจัดไปภายใน 15 นาทีเมื่อนำไปต้มในน้ำร้อน ขณะที่ 55% ของ cyanogenic glycoside จะถูกย่อยสลายไปเมื่อผ่านไปแล้ว 25 นาที (Cooke and Maduagwu, 1985).

สำหรับวิธีที่นิยมใช้ในการลดปริมาณไขขายайнค์ในอุดสาหกรรมผลิตเป็นมันสำปะหลัง ได้แก่ การออกซิเดชันโดยการเติมสารเคมีที่ทำหน้าที่เป็นตัวออกซิไซด์ เพื่อรับอิเล็กตรอนจากไขขายайнค์และได้ไขขายนแทนที่มีความเป็นพิษน้อยกว่าไขขายайнค์ ตัวอย่างสารออกซิไซด์ที่นิยมใช้ เช่น ออกซิเจน (Oxygen: O<sub>2</sub>), โอโซน (Ozone: O<sub>3</sub>), ไฮโดรเจนเพอร์ออกไซด์ (Hydrogenperoxide: H<sub>2</sub>O<sub>2</sub>) (จุหารัตน์, 2004)

การนำบัคไขขายайнค์โดยการเติมสารเคมีที่ทำหน้าที่เป็นตัวออกซิไซด์

### 1. Oxygen/Atmospheric Oxidation Reaction

ในการทำลายพิษของไขขายайнค์ในธรรมชาติ ซึ่งเกิดขึ้นจากการทำปฏิกิริยากับออกซิเจนซึ่งอาจอยู่ในรูปของก๊าซหรือของเหลวได้ และปฏิกิริยาจะเกิดได้ดี ถ้ามีการกวนสารละลายป่นกากระร่อน (Slurtry) และสามารถรับปฏิกิริยาในกระบวนการการทำลายพิษไขขายайнค์ได้ โดยถ่านกัมมันต์และแบคทีเรียแบบใช้ออกซิเจน เป็นวิธีที่ค่อนข้างใช้ได้ผลคือกับไทยโอไซดานಥและ WAD cyanide



วิธีนี้ข้อด้อยคือ ได้ผลิตภัณฑ์สุดท้ายเป็นแอมโนเนียมคาร์บอนเนต  $(NH_4)_2CO_3$  ซึ่งเป็นของเสียที่มีกลิ่นคล้ำแย่มโนเนี่ย ทำให้มีลักษณะกลืนไปกับผงแป้ง และยากต่อการแยกออกจาก

## 2. Ozonation

โอโซนเป็นตัวออกซิไดซ์ที่แรงกว่าออกซิเจน โดยจะทำหน้าที่เปลี่ยนไชยาในค์เป็นไชยานาท รูปแบบการเกิดปฏิกิริยามี 2 แบบ คือ



ออกซิเจนที่เกิดขึ้นสามารถออกซิไดซ์ไชยาในค์ต่อไปได้ เป็นปฏิกิริยาที่มีประสิทธิภาพสูง



และกรณีที่มีโอโซนมากเกินพอด้วยไชยานาทจะถูกเปลี่ยนเป็นคาร์บอนเนตและก๊าซไนโตรเจน

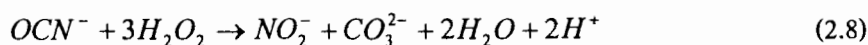


การท่าปฏิกิริยา Ozonation ต้องไปเพื่อหลีกเลี่ยงการเกิดปฏิกิริยาไนโตรไอลิสของไชยานาท ซึ่งทำให้เกิดในไครท์และไนเตรท และยิ่งไปกว่านั้นโอโซนสามารถทำปฏิกิริยากับไนโตรไยานาทและ WAD cyanide ได้ดี แต่ไม่สามารถทำลาย SAD cyanide ได้ สำหรับข้อด้อยของการใช้โอโซน คือ ประสิทธิภาพของ Ozonation จะลดลงถ้า pH สูงกว่า 11 ซึ่งเป็นระดับของ pH ที่ป้องกันการเกิดก๊าซไนโตรเจนไชยาในค์ และอีกประการหนึ่ง คือ ค่าใช้จ่ายในการผลิตโอโซนค่อนข้างสูงมาก โดย

## 3. Degussa Process (Hydrogen peroxide)

Degussa Process เป็นกระบวนการบำบัดไชยาในค์ที่ใช้ไนโตรเจนเพอร์ออกไซด์ (Hydrogen peroxide:  $H_2O_2$ ) เป็นตัวออกซิไดซ์ หมายความว่าเป็นสารละลายน้ำมากกว่ากรัฟท์ที่เป็นน้ำทึ้งปนกากเร่ (Slurry) เนื่องจากน้ำทึ้งปนกากเร่จะต้องใช้ไนโตรเจนเพอร์ออกไซด์มากกว่ากรัฟท์ที่เป็นสารละลายน้ำ ไนโตรเจนเพอร์ออกไซด์เป็นตัวออกซิไดซ์ที่แรงกว่าออกซิเจนแต่เบากว่าโอโซน อาจอยู่ในรูปของสารละลายน้ำ 50%  $H_2O_2$  ในทางทฤษฎีใช้ไนโตรเจนเพอร์ออกไซด์ 1.31 กรัมต่อไชยาในค์ 1 กรัม แต่ในทางปฏิบัติใช้ไนโตรเจนเพอร์ออกไซด์ 2.0-8.0 กรัมต่อไชยาในค์ 1 กรัมที่ pH ประมาณ 9.0-9.5 โดยมีสารละลายน้ำเป็นร่อง วนาเดียม ทังสเทน หรือเงิน 5-50 มิลลิกรัมต่อลิตร เป็นตัวเร่งปฏิกิริยา เป็นกระบวนการที่มีประสิทธิภาพในการบำบัดไชยาในค์อิสระและ WAD cyanide ที่เป็นสารประกอบเชิงซ้อนกับโลหะบางตัว เช่น สังกะสี ทองแดงและแคนเดเมียม แต่การตกลงกันเหล็ก

ไซยาไนด์ต้องทำที่ pH ต่ำกว่านี้ นอกจากนี้สามารถเร่งปฏิกิริยาได้ด้วยการเพิ่มอุณหภูมิ เพื่อตัวเร่งปฏิกิริยา หรือ ใช้ไฮโดรเจนเพอร์ออกไซด์มากเกินพอ ไฮโดรเจนเพอร์ออกไซด์จะทำปฏิกิริยากับไซยาไนด์ได้ไซยาเนท และถ้าไฮโดรเจนเพอร์ออกไซด์มากเกินพอ ไซยาเนทจะเกิดปฏิกิริยาต่อไปกลายเป็นไนโตริก ไนเตรท และคาร์บอนเนต



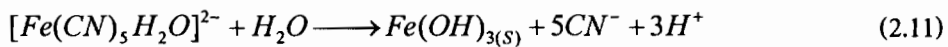
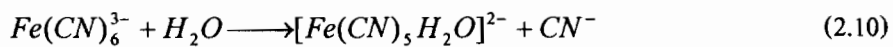
ในสภาวะที่เป็นกรด ไซยาเนทจะเกิดปฏิกิริยาไฮโดรไลซิสได้ก้าวcarbanion โคออกไซด์และแอมโมเนีย Degussa Process สามารถทำลาย WAD cyanide ได้ดี แต่ไม่สามารถใช้กับไทโอลไซยาเนท หรือ SAD Cyanide และวิธีนี้มีข้อด้อยคือ ปฏิกิริยาเกิดได้ช้ามาก ประมาณ 1 ชั่วโมง ดังนั้นจึงไม่เหมาะสมที่นำมาใช้ในกระบวนการผลิต

#### 4. Photolysis

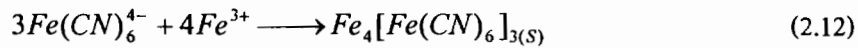
แสงเป็นปัจจัยหนึ่งที่ช่วยส่งเสริมการเกิดปฏิกิริยาออกซิเดชัน-รีดักชัน โดยเป็นแหล่งพลังงานกระตุ้น การถ่ายเทอเล็กตรอน การเกิดปฏิกิริยา Photolysis มี 3 แบบ คือ

##### 4.1. Direct photolysis

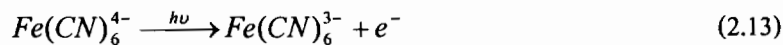
Direct photolysis เป็นปฏิกิริยาที่เกิดขึ้นโดยไม่ต้องมี Photosensitizers (ตัวที่ไวต่อแสง) ซึ่งสามารถใช้ได้กับ WAD และ SAD Cyanide โดยเฉพาะสารประกอบเชิงช้อน Hexacyanoferrate (III) ion  $[Fe(CN)_6]^{3-}$  แต่ทำให้เกิดไซยาไนด์อิสระ



$Fe(OH)_3$  จะทำปฏิกิริยากับไซยาไนด์อิสระและ Ferrihexacyanide กลายเป็นตะกอน Prussian Blue

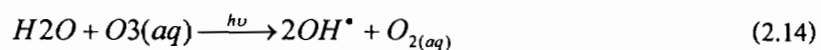


ส่วน Hexacyanoferrate (II) ion  $[Fe(CN)_6]^{4-}$  เมื่อได้รับแสงอัลตราไวโอลেตจะเปลี่ยนไปเป็น Hexacyanoferrate (III) ion  $[Fe(CN)_6]^{3-}$

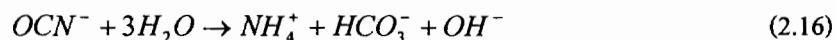


#### 4.2 Homogeneous Photolysis and Photocatalysis

Homogeneous Photolysis เป็นวิธีที่ใช้สารละลายเป็นตัวรับแสง สามารถใช้ร่วมกับการทำปฏิกิริยา Chemical Oxidation เป็นการช่วยเพิ่มประสิทธิภาพ ทำให้ลดปริมาณการใช้สารเคมีและสามารถทำลาย SAD Cyanide ได้ด้วย เช่นการใช้ Homogeneous Photolysis กับ Ozone โอโซนสามารถทำลายได้ทั้ง ไซยาไนด์อิสระ WAD และ SAD Cyanide จากความเข้มข้น 1-100,000 ppm จนความเข้มข้นต่ำกว่า 0.1 ppm การเพิ่มความเข้มแสง ความเข้มข้นของโอโซนและอุณหภูมิของสารละลายจะทำให้ปฏิกิริยาเกิดได้ช้าลง ให้ผลลัพธ์กว่าการใช้วิธี Ozonation เพียงอย่างเดียว เนื่อง Hydroxyl Radical ที่เกิดขึ้นในปฏิกิริยาไม่มีอิเล็กตรอน ทำให้สามารถรับอิเล็กตรอนจากไกโอไซยาเนท WAD และ SAD Cyanide ได้ดีกว่า



จากนั้นไซยาเนทก็จะเกิดปฏิกิริยาไกโครไลซิส



หรืออาจทำปฏิกิริยา Photolytic Ozonation ได้การบ่อน念头อ่อนและก้าชในไตรเจน ในไตรท์หรือไนเตรท โดย Somboonchai (2006) ได้ศึกษาจลพลศาสตร์ของการออกซิเดชันของไซยาไนด์ด้วย โอโซนในกระบวนการผลิตแป้งมันสำปะหลัง โดยทำที่ความเข้มข้นเริ่มต้นไซยาไนด์ที่ 10, 20, 30, 40 ppm และอัตราการป้อนโอโซน 7.4, 15.0, 22.6, 30.0 g O<sub>3</sub> h<sup>-1</sup> พบร่วมกับความเข้มข้นไซยาไนด์ลดลงอย่างรวดเร็วในเวลาทำปฏิกิริยา 30 วินาทีแรก หลังจากนั้นแล้วจะคงอยู่ ลดลง จลพลศาสตร์ของการออกซิเดชันของไซยาไนด์เป็น first order สัมพันธ์กับความเข้มข้นไซยาไนด์ และเป็น zero order สัมพันธ์กับโอโซน ค่าคงที่ของอัตราการเกิดปฏิกิริยาที่ได้จากการ first order และ zero order ของ การออกซิเดชันของไซยาไนด์ด้วยโอโซน คือ 2.76 และ 2.74x10<sup>9</sup> min<sup>-1</sup> ตามลำดับ และ Wutthi (2007) ได้ศึกษาจลพลศาสตร์ของการออกซิเดชันของไซยาไนด์ด้วยโอโซนในน้ำวนกลับของกระบวนการผลิตแป้งมันสำปะหลัง โดยในการทดลองใช้ถังอะคริลิกทรงกระบอกที่ติดหัวจ่ายก๊าซไว้ด้านล่าง ทำที่ความเข้มข้นไซยาไนด์เริ่มต้น 30 ppm และอัตราการป้อนโอโซน 10, 15, 20 g O<sub>3</sub> h<sup>-1</sup> เพื่อศึกษาค่าคงที่ของการละลาย ( $k_L a$ ) และจุสมคุลของความเข้มข้นโอโซน พบร่วมกับค่าคงที่ของการละลาย ( $k_L a$ ) คือ 3.14 - 3.18 min<sup>-1</sup> ที่ค่าความเป็นกรดค่า 4 และอยู่ในช่วง 2.19 - 3.02 min<sup>-1</sup> ที่ค่าความเป็นกรดค่า 5, อยู่ในช่วง 2.37 - 2.62 min<sup>-1</sup> ที่ค่าความเป็นกรดค่า 6 อยู่ในช่วง 2.02 - 2.08 min<sup>-1</sup> ที่ค่าความเป็นกรดค่า 7 จากการทดลองพบว่าการลดลงของไซยาไนด์จะลดลงอย่างรวดเร็วในช่วง 1 นาที

แรก หลังจากนั้นจะค่อยๆ ลดลง นอกจากนี้ที่ค่าความเป็นกรดค่าทางที่เป็นกรดหรือปริมาณเปลี่ยนมากขึ้น ความเข้มข้น ไซยาไนด์จะลดลง ได้น้อย

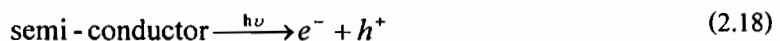
นอกนี้ยังมี Photolytic Peroxidation Reaction ซึ่งเป็นปฏิกิริยาที่ใช้แสงควบคู่กับไฮโดรเจนเพอร์ออกไซด์ โดยให้ Hydroxyl Radical ดังปฏิกิริยา



สามารถทำลายไซยาไนด์อิสระ ໄทโอไซยาเนท WAD และ SAD cyanide เกือบ 100 % ปฏิกิริยาการเกิด hydroxyl radical เกิดได้อย่างรวดเร็วมากจนไฮโดรเจนเพอร์ออกไซด์ยังไม่ทันปฏิกิริยากับไซยาเนทและเข่นเคียวกัน ถ้าเพิ่มความเข้มแสง ความเข้มข้นของไฮโดรเจนเพอร์ออกไซด์ และอุณหภูมิของสารละลายก็จะเป็นการกระตุ้นอัตราการเกิดปฏิกิริยา ถ้าปฏิกิริยาสิ้นสุดที่ไซยาเนಥอตราช่วงระหว่างไฮโดรเจนเพอร์ออกไซด์ต่อไซยาไนด์ เป็น 1 : 1 ถ้าเกิดในเตรทชั่นอัตราส่วนจะเป็น 5 : 1 การใช้ไฮโดรเจนเพอร์ออกไซด์เป็นวิธีที่ค่อนข้างน่าสนใจเนื่องจากค่าใช้จ่ายค่อนข้างต่ำและง่ายต่อการเก็บรักษา แต่ต้องใช้สารเคมีมากเกินพอด้วยไฮป์โภริยาเกิดอย่างสมบูรณ์ ทำให้ต้องทำการบำบัดสารเคมีที่มากเกินพอด้วยแก๊สรักษาระลายเพื่อนำกลับมาใช้ใหม่

#### 4.3 Heterogeneous Photolysis

Heterogeneous Photolysis เป็นวิธีที่ใช้ของแข็งเป็นตัวรับแสง (Solid photosensitizer) โดยแสงจะกระตุ้นอิเล็กตรอนใน valence band ขึ้นช่องว่างไปยัง conduction band ของสารกึ่งตัวนำไฟฟ้า (semi-conductor) ทำให้เกิดโอลใน valence band และเกิดอิเล็กตรอนใน conduction band



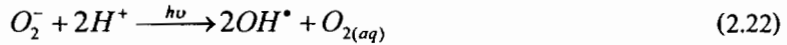
โอลและอิเล็กตรอนดังกล่าวจะกระตุ้นให้เกิดปฏิกิริยาเรียดออกซ์ (redox reaction) ผลิตภัณฑ์ที่เกิดขึ้นจะถูกดูดซับที่สารกึ่งตัวนำและเพื่อหต่อการเกิดปฏิกิริยาข้อนอกสนับ

Heterogeneous Photolysis ประกอบด้วย 3 ส่วน คือ

ส่วนแรก การสร้าง hydroxyl radical โดยปฏิกิริยาตัดซัน (reduction reaction) ของน้ำหรือไฮดรอกไซด์ใน valence band



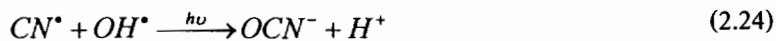
ส่วนที่สอง การสร้าง hydroxyl radical โดยปฏิกิริยาระหว่างสารละลายนอกชีวเจนกับอิเล็กตรอนในสภาวะถูกกระตุ้นใน conduction band เป็น Superoxide ion ( $O_2^-$ )



ส่วนที่สาม การสร้าง Cynyl radical



จากนั้น hydroxyl radical ที่เกิดขึ้นจะทำปฏิกิริยากับ cynyl radical ได้ไซยาเนท



แล้วไซยาเนทที่ทำปฏิกิริยากับ hydroxyl radical ต่อไป สารกึ่งตัวนำนิยมใช้ออกไซด์ของโลหะมากกว่า เนื่องจากมีเสถียรภาพสูงกว่าสารกึ่งตัวนำประเภทอื่น โดยเฉพาะอย่างเช่น  $TiO_2$  เป็นสารกึ่งตัวนำที่มีประสิทธิภาพสูง ซึ่งว่างอิเล็กตรอนมีความเสถียรและ band gap ใหญ่ (จุารัตน์, 2547)

โดย Chiang et al. (2002) ทำการศึกษาระบวนการฟอโตකอะไลซ์ไซยาไนด์และไซยาเนตที่ใช้ในการวิเคราะห์น้ำใช้ชีวเดินไซยาไนด์ ( $NaCN$ ) และโซเดียมไซยาเนต ( $NaOCN$ ) และใช้ฟลูออโรเคดีออกอนเจเนทที่ไซรอคิลอนผิวของไทยานีน โคดออกไซด์เพื่อศึกษาผลลัพธ์ ผลว่าไซยาไนด์จะถูกดูดซับไว้ที่ผิวของไทยานีน โคดออกไซด์ และเกิดฟอโตออกไซเดชันไปเป็นไซยาเนตและจลนพลดศาสตร์นี้เป็นไปตามไฮโซเทอร์มการดูดซับของแสงเมียร์-อินแซลวูด และการให้อาหารเจ้าไป 500 ml/min นั้นจะช่วยทำให้อัตราการออกไซเดชันของไซยาไนด์นั้นเกิดได้ดีขึ้น และ Augugliaro et al. (1996) ทำการศึกษาอัตราการเกิดฟอโตออกไซเดชันของไซยาไนด์โดยกระบวนการฟอโตකอะไลซ์สือออกไซเดชันของไซยาไนด์โดยใช้ไทยานีน โคดออกไซด์แบบผงชนิดอนาเกรส โดยใช้ความเข้มข้นไซยาไนด์ (0.192-4.04 mM) ค่าความเป็นกรดค่า 9.9, 11.6, 12.8, และ 13.9 ความเข้มข้นของตัวค่าอะไลซ์ (0.1-3 g/L) กำลังหลอดไฟ (500, 750 และ 1000 W) โดยปัจจัยเหล่านี้มีผลต่ออัตราการสลายของไซยาไนด์ โดยที่ความเข้มข้นไซยาไนด์มาก น้ำหนักปฏิกิริยาฟอโตออกไซเดชันของไซยาไนด์จะเป็น zero-order เมื่อความเข้มข้นของไซยาไนด์คงที่จะเป็น pseudo-first-order

## 2.6 ไททาเนียมไดออกไซด์ ( $TiO_2$ )

### 2.6.1 คุณสมบัติของไททาเนียมไดออกไซด์

สารกึ่งตัวนำที่นำมาใช้ในกระบวนการไฟฟ้ากระแสตรง ไม่ aba ตัวดับกันที่อยู่ในรูปออกไซด์หรือชัลไฟด์ของโลหะ ดังเช่น ซิงค์ออกไซด์ ( $ZnO$ ), ทังสเทนออกไซด์ ( $WO_3$ ), แคนเดียมชัลไฟด์ ( $CdS$ ), ซิงค์ชัลไฟด์ ( $ZnS$ ) เป็นต้น ซึ่งรวมไปถึงไททาเนียมไดออกไซด์ ( $TiO_2$ ) ซึ่งแต่ละตัวนั้นต่างมีช่องว่างพลังงาน (Energy band gap) และความยาวคลื่นของช่องว่างพลังงาน (band gap wavelength) ดังแสดงไว้ในตาราง

ตารางที่ 2.1 ขนาดช่องว่างพลังงานของสารกึ่งตัวนำชนิดต่างๆ

ที่มา : Robertson, 1996.

| สารกึ่งตัวนำ      | ແຄນວາເລນ້ຳ (eV) | ແຄນຄອນດັກຂັ້ນ (eV) | ຊ່ອງວ່າພລັງຈານ (eV) | ຄວາມຍາວຄລື່ນ (นาໂມແມຕຣ) |
|-------------------|-----------------|--------------------|---------------------|-------------------------|
| $TiO_2$ (Rutile)  | +3.1            | +0.1               | +3.0                | 380                     |
| $TiO_2$ (Anatase) | +2.9            | -0.3               | +3.4                | 380                     |
| $SnO_2$           | +4.1            | +0.3               | +3.9                | 318                     |
| $ZnO$             | +3.0            | -0.2               | +3.2                | 390                     |
| $ZnS$             | +1.4            | -2.3               | +3.7                | 336                     |
| $WO_3$            | +3.0            | +0.2               | +2.8                | 443                     |
| $CdS$             | +2.1            | -0.4               | +2.5                | 497                     |
| $CdSe$            | +1.6            | -0.1               | +1.7                | 730                     |
| $GaAs$            | +1.0            | -0.4               | +1.4                | 887                     |
| $GaP$             | +1.3            | -1.0               | +2.3                | 540                     |

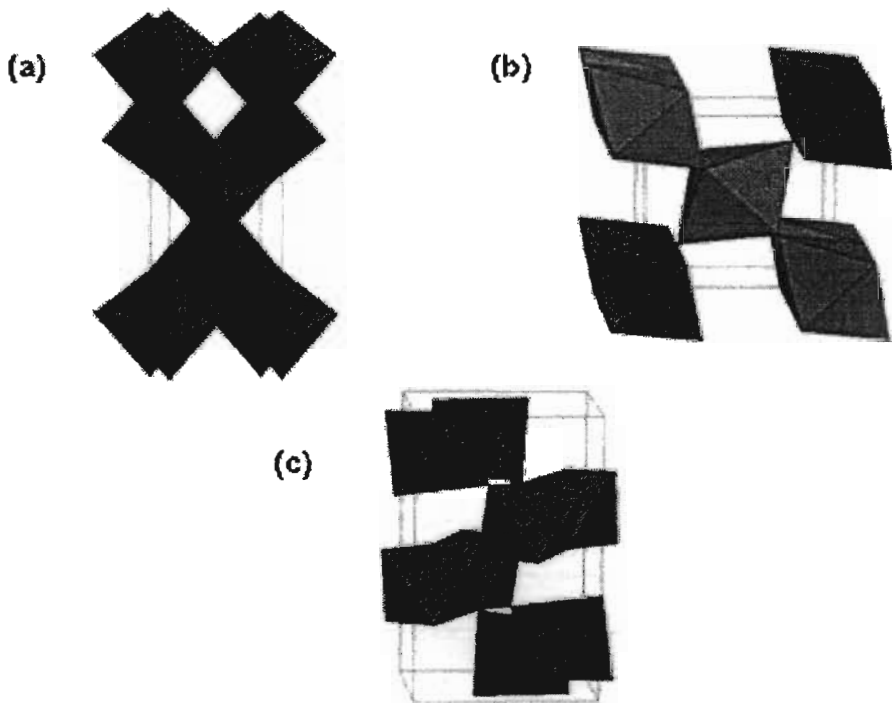
ไททาเนียมไดออกไซด์นี้เป็นตัวเร่งปฏิกิริยา (catalyst) ที่นิยมใช้มาก สำหรับการทำไฟฟ้ากระแส直流 เพาะะค่าช่องว่างพลังงาน (energy band gap) มีค่าประมาณ 3.0 eV ซึ่งมีค่าใกล้เคียงกับค่าพลังงานกระตุ้นของรังสีอุตสาหกรรม (~380 nm) และมีคุณสมบัติพิเศษทางด้านการคุกคามของแสงและการแยกเปลี่ยนอิเล็กตรอนได้ดี สำหรับสารกึ่งตัวนำชนิดอื่นที่มีคุณสมบัติใกล้เคียงกันกับไททาเนียมไดออกไซด์ดังเช่น ซิงค์ (II) ออกไซด์ ( $ZnO$ ), แคนเดียม (II) ชัลไฟด์ ( $CdS$ ), ซิงค์ (II) ชัลไฟด์ ( $ZnS$ ) แต่ไม่นิยมนำมาใช้เนื่องจากมีความเป็นพิษ เช่น ซิงค์ (II) ออกไซด์ พบร่วมกับการกัดกร่อนจากปฏิกิริยา

การให้แสง ส่วนแอดเมิร์น (II) ชั้ลไฟค์นั้นมีพิษเมื่อการการกัดกร่อนจากปฏิกิริยาการให้แสงเนื่องจาก ไอออนของ  $Cd^{2+}$  และประสีทิธิภาพของ  $CdS$  จะลดลงเมื่อมีการนำกลับมาใช้ใหม่ ไฟฟานียมได้ ออกไซด์นั้นมีความเสถียรมากกว่า และละลายน้ำได้น้อยกว่า  $CdS$  และ  $ZnO$  ซึ่งแสดงให้เห็นว่า ไฟฟานียมได้ออกไซด์นั้นจะไม่เสียคุณสมบัติไปมากเมื่อนำกลับมาใช้ใหม่ เนื่องจากมีการกัดกร่อนน้อย มาก นอกจานี้ยังมีราคาถูกกว่าเมื่อเทียบกับตัวเร่งปฏิกิริยาอื่นๆ อีกทั้งไม่เป็นพิษต่อสิ่งแวดล้อม (Reutergårdh, 1997)

ไฟฟานียมได้ออกไซด์หรือไฟฟานียที่พับตามธรรมชาตินั้นมีโครงสร้างผลึก 3 ขนาดใหญ่ๆ ได้แก่

1. รูไทล์ (Rutile) ซึ่งมีโครงสร้างผลึกเป็นแบบ เทหะรอนอล (Tetragonal) สามารถโน้มน้าวให้ มีเสถียรภาพมากที่สุด ได้ที่อุณหภูมิสูงๆ และนิยมใช้ในโรงงานอุตสาหกรรม เช่น โรงงานสี, โรงงานทำเครื่องสำอางค์, โรงงานทำอาหาร และบางครั้งพบในหินอัคนี
2. อนาเทส (Anatase) ซึ่งมีโครงสร้างผลึกเป็นแบบ เทหะรอนอล (Tetragonal) สามารถโน้ม นาวให้มีเสถียรภาพมากที่สุด ได้ที่อุณหภูมิต่ำกว่ารูไทล์ ผลึกชนิดนี้นิยมใช้ในกระบวนการ ฉายแสงขั้นสูง
3. บรูคไคท์ (Brookite) เป็นผลึกที่พับในแร่เท่านั้น และมีโครงสร้างผลึกเป็นแบบออร์โธรมบิก (orthorhombic)

โครงสร้างผลึกอนาเทส, รูไทล์, และบรูคไคท์ สามารถแสดงໄค์ในรูปของ  $TiO_2^{\pm}$  ที่เป็นประมิคฐาน สีเหลืองสองอันประกอบกันหรือ โดยโครงสร้างของผลึกทั้งสามชนิดนั้นมีความแตกต่างกันด้านการ บิดตัวของแต่ละออกตะเข็บrolที่เรียงต่อกัน และจากรูปแบบการเรียงตัวของออกตะเข็บrol โครงสร้างผลึกของอนาเทสนั้นเกิดจากการเรียงตัวต่อกันโดยใช้ส่วนยอดของแต่ละออกตะเข็บrol ในขณะที่โครงสร้างผลึกของรูไทล์นั้นเกิดจากการเรียงตัวต่อกันโดยใช้ทั้งส่วนยอดและส่วนขอบ ของแต่ละออกตะเข็บrol (Fujishima, 1999)



รูปที่ 2.18 โครงสร้างผลึกของไททาเนียม: (a) アナテース, (b) ルチル, และ (c) ブルクタイト  
 (ที่มา : <http://ruby.colorado.edu/~smyth/min/tio2.html>)

ถึงแม้ว่าโครงสร้างผลึกของไททาเนียมได้ออกไซด์นั้นมีอยู่หลายชนิดแต่อนาเทสและรูไทล์นั้นเป็นโครงสร้างผลึกแบบธรรมชาติที่พบเป็นส่วนใหญ่ เพราะสามารถเกิดได้ง่าย เมื่อเปรียบเทียบคุณสมบัติทางกายภาพระหว่างไททาเนียมได้ออกไซด์ระหว่างชนิด รูไทล์ (Rutile) และ アナเทส (Anatase) ดังแสดงในตารางที่ 2.2

## ตารางที่ 2.2 การเปรียบเทียบลักษณะสมบัติของไททาเนียม dioxide ไชค์และหัวไนท์

ที่มา : Fujishima, 1999.

| properties  | Rutile            | Anatase                                    |
|---|-------------------|--|
| Crystalline form                                  | tetragonal system | tetragonal system                          |
| Band gap energy (eV)                              | 3.03              | 3.20                                       |
| Gibbs free energy, $\Delta G_f^\circ$ (kcal/mole) | -212.6            | -211.4                                     |
| Lattice constant a ( $\text{\AA}^\circ$ )         | 4.58              | 3.78                                       |
| Lattice constant c ( $\text{\AA}^\circ$ )         | 2.95              | 9.49                                       |
| Density ( $\text{g/cm}^3$ )                       | 4.2               | 3.9  |
| Refractive index                                  | 2.71              | 2.52                                       |
| Hardness (Mohs)                                   | 6.0-7.0           | 5.5-6.0                                    |
| Permittivity                                      | 114               | 31   |
| Melting point                                     | 1858 °C           | change to rutile at high temperature ~800C |

โดย Dabrowski et al. (2002) ศึกษาผลของการขึ้นรูปไชยาไนค์, ชนิดของแก๊ส (อากาศ, ออกซิเจน) และชนิดของไททาเนียม dioxide (อนาคต, รูไนท์, เคลือบวน glass microsphere) ในกระบวนการ โพโตออกซิเดชันของไชยาไนค์อิสระ พบว่า ปฏิกิริยาการถ่ายแสง UV-O<sub>2</sub> การมีไททาเนียม dioxide เป็นคง常 ไอลชันน์ ทำให้อัตราการถ่ายของไชยาไนค์เพิ่มขึ้นเป็นสองเท่า และการเพิ่มอุณหภูมิจาก 20 เป็น 35 °C นั้น ไม่มีผลต่ออัตราการออกซิเดชันของไชยาไนค์ และไททาเนียม dioxide แบบอนาคต และอนาคตที่เคลือบวน glass microsphere นั้นมีประสิทธิภาพในการถ่ายไชยาไนค์อิสระมากกว่าแบบรูไนท์ ที่อัตราการปล่อยแก๊ส 20 dm<sup>3</sup>/h นั้น พบว่าอากาศและออกซิเจนนั้น ให้ผลในการถ่ายไชยาไนค์ไม่ต่างกันมากนัก

โดยปกติแล้ว โครงสร้างพลีกอนาคตสามารถเปลี่ยนโครงสร้างเป็นโครงสร้างพลีกรูไนท์ได้ที่อุณหภูมิมากกว่า 600-800 องศาเซลเซียส ดังนั้นจึง ได้มีการศึกษาเกี่ยวกับการเปลี่ยนโครงสร้างพลีกจากอนาคตเป็นรูไนท์ เนื่องจากโครงสร้างพลีกของไททาเนียม dioxide เป็นตัวแปรที่สำคัญมากตัวแปรหนึ่งที่จะกำหนดประสิทธิภาพในการประยุกต์ใช้เป็นตัวเร่งปฏิกิริยาแบบใช้แสงร่วม (photocatalytic), ตัวเร่งปฏิกิริยาแบบปกติ (ไม่ใช้แสงร่วม), หรือเชรานิคส์ที่ใช้ทำเยื่อแผ่นบาง (Membrane) โดยนอกจากอุณหภูมิแล้ว ยังมีอีกหลายปัจจัยที่ส่งผลกระทบต่อการเปลี่ยนโครงสร้างพลีกดังกล่าว ได้แก่ ความดัน, ปริมาณของพลีก, ความไม่สมบูรณ์ของพลีก, และขนาดของพลีก

ในการประยุกต์ใช้ไทยเนี่ยมได้ออกไซด์ในกระบวนการเร่งปฏิกิริยาแบบใช้แสงร่วม (photocatalytic) โครงสร้างผลึกทั้งอนาเทสและรูไทร์เป็นที่นิยมนำมาศึกษา กันโดยทั่วไป สำหรับปฏิกิริยาแบบใช้แสงร่วมโดยปกตินั้น โครงสร้างผลึกอนาเทสให้ประสิทธิภาพในการเร่งปฏิกิริยาสูง กว่าโครงสร้างผลึกรูไทร์ แต่ย่างไรก็ตามในบางปฏิกิริยา โครงสร้างผลึกรูไทร์หรือโครงสร้างผลึก พสมระห่วงอนาเทสและรูไทร์ (เช่น อนาเทส 70-75% และรูไทร์ 30-25%) นั้นให้ประสิทธิภาพในการเร่งปฏิกิริยาสูงกว่าโครงสร้างผลึกอนาเทสเพียงอย่างเดียว โดยทั้งนี้ทั้งนั้นมีตัวแปรหลักอย่างที่ ส่งผลกระทบต่อประสิทธิภาพในการเร่งปฏิกิริยาของแต่ละโครงสร้างผลึกของไทยเนี่ยมได้ออกไซด์ ได้แก่ พื้นที่ผิว, การกระจายตัวของรูพุน, ขนาดของอนุภาคผลึก, และที่สำคัญมากคือ วิธีการที่ใช้ในการสังเคราะห์ผลึกไทยเนี่ยมได้ออกไซด์ (Fujishima, 1999)

## 2.7 ทฤษฎีของกระบวนการฟอโตแคตตาลิซิส (Photocatalysis)

ในปัจจุบันเทคนิคฟอโตแคตตาลิซิส (photocatalysis technique) เป็นเทคนิคนึงที่ใช้ในการบำบัด หรือกำจัดสารมลพิษที่เป็นสารอินทรีย์หรือโลหะหนักบางชนิดที่อยู่ในน้ำเสีย ซึ่งได้มีการวิจัยความ เป็นไปได้ ที่จะนำมาใช้ในการบำบัดน้ำเสียจากโรงงานอุตสาหกรรม ซึ่งเป็นวิธีที่มีค่าใช้จ่ายในการ ลงทุนไม่สูงมากนัก

หลักการเบื้องต้นของการกระบวนการฟอโตแคตตาลิซิสคือ การที่มีการกระตุ้นปฏิกิริยาโดยแสง (photo) ไปที่ตัวเร่งปฏิกิริยา (catalyst) ทำให้ปฏิกิริยานั้นๆ เกิดได้เร็วขึ้น โดยกระบวนการฟอโตแคตตาลิซิส สามารถจำแนกตามสถานะของสารที่เข้าร่วมทำปฏิกิริยาได้เป็น 2 ประเภท คือ

1. Homogeneous Photocatalysis คือ ลักษณะที่สารต้องการบำบัดกับตัวเร่งปฏิกิริยาอยู่ใน สถานะเดียวกัน เช่น ของเหลว กับของเหลว เป็นต้น
2. Heterogeneous Photocatalysis คือลักษณะที่สารต้องการบำบัดกับตัวเร่งปฏิกิริยาอยู่ในสถานะ ที่แตกต่างกัน เช่น ของเหลว กับของแข็ง เป็นต้น

โดยกระบวนการฟอโตแคตตาลิซิสจะประกอบไปด้วย 2 ส่วน ได้แก่

- กระบวนการเกาะหรือดูดติดผิว (Adsorption process)
- กระบวนการฉายแสง (Illumination process)

ในขั้นตอนแรกเป็นกระบวนการดูดซับของตัวแคตตาลิส ซึ่งเป็นสารประกอบกึ่งตัวนำที่เป็นไทยเนี่ยม ได้ออกไซด์ ซึ่งตัวมันมีคุณสมบัติพิเศษ คือ จะไม่แสดงประจุใดๆ ขณะที่ไม่ได้รับการเหนี่ยวนำ แต่

เมื่อได้ถูกเหนี่ยวนำโดยสภาวะรอบๆ จะทำให้แสดงประจุนิดเดียวกันกับสภาวะรอบๆ ซึ่งจะแตกต่างกันตามข้อบ่งชี้ที่ระบุไว้ในหน้าที่มีค่า pH ต่ำๆ ซึ่งที่ pH ต่ำนั้นในน้ำจะมีประจุบวกอยู่มาก ทำให้ไททาเนียมไดออกไซด์ใส่ลงไปในน้ำที่มีค่า pH ต่ำๆ ซึ่งที่ pH ต่ำนั้นในน้ำจะมีประจุบวกอยู่มาก ทำให้ไททาเนียมไดออกไซด์ถูกเหนี่ยวนำให้เป็นประจุบวก แต่ถ้าหากใส่ลงไปในน้ำที่มี pH สูง ซึ่งในน้ำมีประจุลบมาก ไททาเนียมไดออกไซด์ก็จะถูกเหนี่ยวนำให้เป็นลบ ด้วยคุณสมบัติเช่นนี้จึงทำให้ไททาเนียมไดออกไซด์ใช้ในการกำจัดหรือบำบัดมลภาวะในน้ำเสียในการกำจัดโลหะหนักหรือสารอินทรีย์ที่เจือปนอยู่น้ำเสีย โดยจะถูกดูดซับอยู่บนผิวของโพโตแคโรบิติก

ในการวิเคราะห์ทางจลนพลาสตร์ของกระบวนการย้อมสีสารเคมี นลพิษโดยใช้แสงที่มีความยาวคลื่นใกล้ๆ แสงอัลตราไวโอเลต และอนุภาคไททาเนียมไดออกไซด์ โดยส่วนใหญ่การคุณติดจะเป็นไปตามจลนพลาสตร์ของแอลเมียร์-ชินเซลวูด (Langmuir-Hinshelwood kinetic) โดยที่แบบจำลองของ Langmuir-Hinshelwood เป็นแบบจำลองที่นิยมใช้อย่างแพร่หลายในการศึกษาการคุณติดผิวของกระบวนการโพโตแคโรบิติก ซึ่งมีสมการดังนี้ (Chang et al., 2000; Chan et al., 2001)

$$q = \frac{q_{\max} b S_w}{1 + b S_w} \quad (2.25)$$

|                  |  |
|------------------|--|
| โดยที่ q         | คือความเข้มข้นของโพโตแกลคูลตัวถูกคุณติดบนผิวแคโรบิติกใน sorbed phase |
| S <sub>w</sub>   | คือความเข้มข้นของโพโตแกลคูลตัวถูกคุณติดบนผิวแคโรบิติกใน liquid phase |
| q <sub>max</sub> | คือความจุสูงสุดของการคุณติดผิว (mg/g)                                |
| b                | คือสัมประสิทธิ์การคุณติดผิวของ Langmuir-Hinshelwood (l/mg)           |

และสามารถอธิบายในเทonnของอัตราเร็วของปฏิกิริยาได้ดังนี้

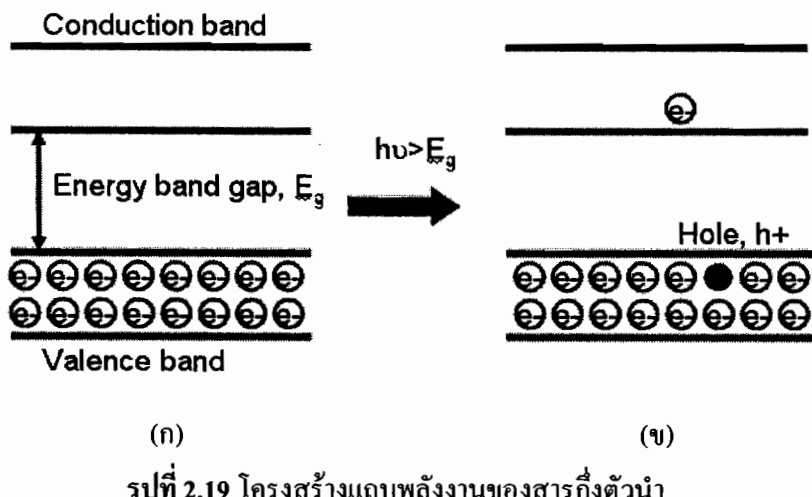
$$r = -\frac{dC}{dt} = k'\theta = \frac{k'KC}{1 + KC} \quad (2.26)$$

$$\frac{1}{r} = \frac{1}{k'} + \frac{1}{k'K} \bullet \frac{1}{C} \quad (2.27)$$

|            |   |
|------------|---|
| โดยที่ $r$ | คืออัตราเริ่มต้นของปฏิกิริยา ( $\text{mol/l-min}$ )                       |
| $t$        | คือเวลาในการเกิดปฏิกิริยา (min)   |
| $C$        | คือความเข้มข้นของตัวภูกัดติด ( $\text{mol/l}$ )                           |
| $\theta$   | คือสัดส่วนพื้นที่ผิวของตัวภูกัดติดที่มีตัวภูกัดติดบีดเกาะอยู่แบบชั้นเดียว |
| $k'$       | คือค่าคงที่อัตราเริ่มปฏิกิริยา ( $\text{mol/l-min}$ )                     |
| $K$        | คือค่าคงที่ของการคุณติดผิวที่สภาวะสมดุล                                   |
| $C$        | คือความเข้มข้นของตัวภูกัดติด ( $\text{mol/l}$ )                           |

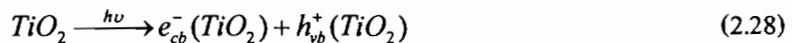
ขั้นกำหนดอัตราเริ่มของปฏิกิริยา (rate determining step) ของชลนพลศาสตร์ແลงເມີຣ໌-ຊິນເຊລວຸດ ຄືບປົງກິດຕະຫຼາດວ່າງອນນຸ້ລໄສຮຽກຂີລັກສາຮເນີນລົມຍິທີ່ຖູກຄຸດຂັບຂອງສາກົນທີ່ເຂົ້າທຳປົງກິດຕະຫຼາດນັ້ນ ພື້ນຜົວຂອງອນຸກາກໄທທາເນີນໄດ້ອອກໄຈ່ດໍ ຕ້ອງເປັນໄປຄາມກຸດຂັບແບນແລງເມີຣ໌ໄອໂທເກວົນ

ໃນຂັ້ນຕອນທີ່ສອງເປັນກະບວນການຄາຍແສງອັດຕາໄວໂອເດຕ ໂດຍສາກົ່ງທັນນຳມີລັກພະເໜາຂອງໂຄຮັງສ້າງແດນ (band structure) ປະກອບຕ້ວຍແດນວາເລັນຊ່າ (valence band, VB) ທີ່ມີອີເລີກຕຽບອນນຽມຮູອຍຸ່ດື່ນ ແລະ ແດນການນໍາ (conduction band, CB) ທີ່ໄນມີອີເລີກຕຽບອຍຸ່ເລີຍ ໂດຍແດນທີ່ສອງນັ້ນ ຕ່າງກັນດ້ວຍໜ່ອງວ່າງແດນພລັງງານ (energy band gap,  $E_g$ ) ດັງກູ່ປ 2.19 (ກ) ໂດຍຄ່າ  $E_g$  ຈະເປັນຄ່າເແພາະຂອງສາກົ່ງທັນນຳແຕ່ລະຫັນດີ

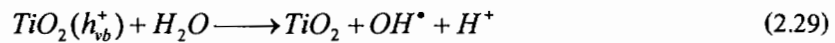


ຮູ່ປ 2.19 ໂຄຮັງສ້າງແດນພລັງງານຂອງສາກົ່ງທັນນຳ

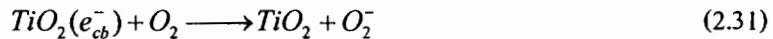
เมื่อสารกึ่งตัวนำได้รับแสงขั้ตตราไว้โดยเลดที่มีความยาวคลื่นต่ำกว่า 390 นาโนเมตร ซึ่งมีพลังงานเท่ากับหรือมากกว่าช่องว่างແ幱พลังงาน (energy band gap) นั้น จะไปกระตุ้นอิเล็กตรอนที่ແ幱เวลน์ หลุดออกไปยังແ幱การนำ และเกิดโอล (hole) ซึ่งเป็นช่องว่างที่ไม่มีอิเล็กตรอน และมีประจุบวกที่ແ幱เวลน์ ดังรูป 2.19 (ข) สามารถแสดงสมการได้ดังนี้



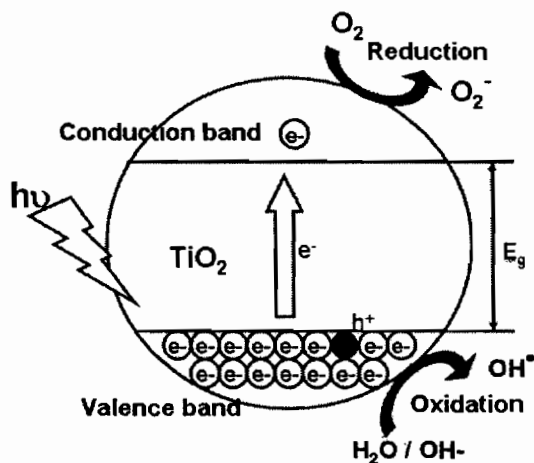
โดยที่โอลจะทำปฏิกิริยากับน้ำและหมู่ไฮดรอกซิล ( $OH^-$ ) จะได้ไฮดรอกซิลเรดิกัด (hydroxyl radical) ซึ่งเป็นสารออกซิไซด์ที่แรงมาก สามารถไปทำให้ไมลกุลงสารอินทรีย์ที่ละลายอยู่แตกตัวออก กลายเป็นน้ำ การบ่อนไดออกไซด์ และผลิตภัณฑ์อนินทรีย์อื่นๆ ในที่สุด ดังแสดงในสมการ 2.29-2.30



ในขณะที่อิเล็กตรอนจะเป็นตัวรีดิวเซอร์ที่คิ โดยทำปฏิกิริยากับออกซิเจนที่ละลายอยู่ทำให้เกิดชูปเปอร์ไดออกไซด์แอนิโอดอน ดังสมการที่ 2.31



ซึ่งสามารถทำปฏิกิริยาต่อจนเกิดไฮดรอกซิลเรดิกัดได้ ปฏิกิริยาไฟโตคณะไลซิสแสดงดังรูปที่ 2.20



รูปที่ 2.20 กระบวนการไฟโตคณะไลซิสของไททาเนียมไดออกไซด์

โดยโอลและอิเด็คตอรอนนั้นสามารถที่จะกลับมารวมตัวกันใหม่ได้อีก เรียกว่า รีคอมบินেชัน (recombination) ซึ่งมีผลกระทบอย่างมากต่อประสิทธิภาพของปฏิกิริยาไฟโตแคตไลซิส โดยปกติแล้วความสัมพันธ์ของอัตราการรวมตัวกันใหม่ กับปริมาณอิเด็คตอรอนและโอลจะเพิ่มขึ้นอย่างเป็นเส้นตรง กล่าวคือถ้าปฏิกิริยารีดักชันสามารถเกิดได้อย่างรวดเร็วซึ่งหมายถึงปริมาณอิเด็คตอรอนที่แนบการนำของอนุภาคใหญานี้จะได้ออกไซด์มีมาก จะมีผลทำให้การรวมตัวกันของโอลและอิเด็คตอรอนมีอัตราลดลง นั้นคือประสิทธิภาพของปฏิกิริยาออกซิเดชันจะเพิ่มขึ้น เนื่องจากโอลสามารถทำปฏิกิริยาออกซิเดชันได้มากขึ้น ในทางกลับกันถ้าโอลที่ว่างของແນວเดนซ์ถูกบรรจุให้เต็มอย่างรวดเร็วด้วยปฏิกิริยาออกซิเดชัน จะมีผลทำให้ประสิทธิภาพของปฏิกิริยารีดักชันเพิ่มขึ้นด้วย ผลลัพธ์โดยรวมแล้วคือว่า เมื่อเกิดปฏิกิริยารีดักชันจะเป็นการส่งเสริมให้เกิดปฏิกิริยาออกซิเดชัน (Linsebigier et al., 1995)

## บทที่ 3 วิธีการทดลองและแผนการดำเนินการวิจัย

### 3.1 วัสดุดิบ

แป้งมันสำปะหลังจากโรงงานชัยภูมิพีชผล (จังหวัดนครราชสีมา, ประเทศไทย)

### 3.2 อุปกรณ์ที่ใช้

1. Spectrophotometer model UV 2101 PC (Shimadzu, Japan)
2. เครื่องวัดความเข้มแสง (UV meter)
3. เครื่องซั่งไฟฟ้าทศนิยม 4 ตำแหน่ง Mettle Toledo รุ่น AG204, Germany
4. หลอด UV ขนาด 10 W
5. ตู้อบลมร้อน (Hot air oven) รุ่น model ULM 500 (Memmert, Germany)
6. เครื่องเชือก (Vortex mixer) รุ่น model G-560E (Scientific Industries, USA)
7. อ่างน้ำร้อน (Water bath) รุ่น model SB22 (Heto, Denmark)
8. เครื่องวัดความเป็นกรดค้าง (pH-meter) model CG 841 (Schott, West Germany)
9. เตาเผา รุ่น models WE630A (Modutemp, Australia)
10. เครื่อง Ultrasonic cleaner
11. เครื่อง dipping (MTEC)

### 3.3 สารเคมีที่ใช้

1. Phosphoric acid, AR Grade (Carlo Erba, Italy)
2. Trisodiumphosphate, AR Grade (Carlo Erba, Italy)
3. 99.99 % Alcohol (Mersk, Germany)
4. Sodium hydroxide, AR Grade (Carlo Erba, Italy)
5. Bispyrazolone, AR Grade (Fluka, Switzerland)
6. 3-methyl-1-phenyl-2-pyrazoline-5-one, AR Grade (Fluka, Switzerland)
7. Pyridine, AR Grade (Carlo Erba, Italy)
8. Chloramine-T, AR Grade (Lebchem, Australia)
9. Linamarase from cassava (3.2.1.21) (BDH, England)
10. Potassium cyanide (Mersk, Germany)
11. Acetylacetone (Mersk, Germany)
12. Nitric acid (Mersk, Germany)

13. Isopropanol (Mersk, Germany)
14. titanium (IV) isopropoxide (Carlo Erba, Italy)
15. Methanol (Mersk, Germany)

### 3.4 วิธีการทดลอง

#### 3.4.1 การเตรียมสารละลายไฮยาไนด์

นำโพแทสเซียมไฮยาไนด์มาละลายในน้ำเพื่อให้ได้สารละลายไฮยาไนด์ที่ความเข้มข้น 10, 20, 40, 100, 200 และ 400 ppm หลังจากนั้นนำสารละลายโพแทสเซียมไฮยาไนด์มาเติมเป็น โอดิเดิมปริมาณ เป็นที่ 0.2, 0.4 และ 0.8 เบอร์เซนต์โดยน้ำหนักต่อปริมาตร แล้วปรับให้มีค่าความเป็นกรดค้าง 7 ด้วยกรดฟอสฟอริก

#### 3.4.2 การเตรียมแผ่นกระจกเคลือบไฟฟานเนย์มไดออกไซด์

ในงานวิจัยนี้ศึกษาการออกซิเดชันของไฮยาไนด์โดยใช้ฟล์มไฟฟานเนย์มไดออกไซด์ในรูปอนาเทส โดยวิธีการเตรียมไฟฟานเนย์มไดออกไซด์มีดังนี้

การเตรียมสารเคมีที่ใช้ในการเตรียมสารละลายไฟฟานเนย์มไดออกไซด์

1. อะซิคลิอะซีโคนในไอโซโปรพานอล

เตรียมโดยใช้สารละลายอะซิคลิอะซีโคน (acetylacetone,  $C_5H_8O_2$ ) ปริมาตร 0.925 ml กับสารละลายไอโซโปรพานอล (isopropanol) มีปริมาตรรวมทั้งหมด 15 ml

2. กรดไนตริก 0.01 M ในไอโซโปรพานอล

เตรียมโดยใช้กรดไนตริกเข้มข้นปริมาตร 34.6 ml เติมลงไปในสารละลายไอโซโปรพานอล จนมีปริมาตรสุดท้ายเป็น 50 ml

การเตรียมสารละลายไฟฟานเนย์มไดออกไซด์

1. เติม titanium (IV) isopropoxide ( $C_{12}H_{28}O_4Ti$ ) ปริมาตร 4.5 ml กับไอโซโปรพานอล ปริมาตร 15 ml จากนั้นกวนทิ้งไว้เป็นเวลา 15 นาที

2. เติมสารละลายอะซิคลิอะซีโคนในไอโซโปรพานอล ปริมาตร 0.925 ml แล้วกวนทิ้งไว้เป็นเวลา 10 นาที

3. จากนั้นเติม 0.01 M  $HNO_3$  ในไอโซโปรพานอล ปริมาตร 15 ml แล้วกวนทิ้งไว้เป็นเวลา 10 นาที

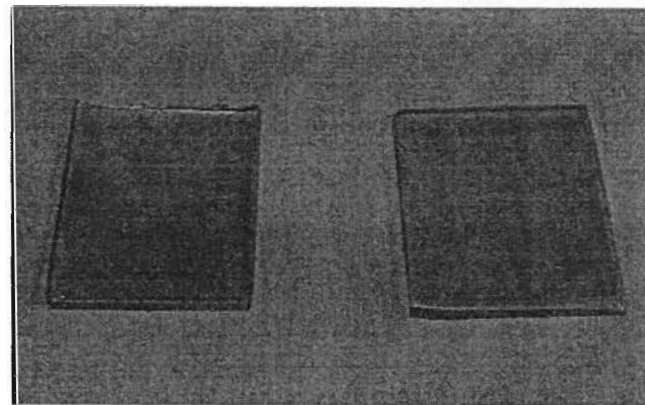
4. เติมกรดไนตริกเข้มข้น ปริมาตร 1 ml แล้วกวนทิ้งไว้เป็นเวลา 3 ชั่วโมง

### การเตรียมแผ่นกระดาษไอล์ด์

1. ตัดกระดาษไอล์ดขนาด  $2.7 \times 3.5$  cm
2. ทำความสะอาดด้วยน้ำยาล้างจาน
3. โซนิเคท (sonicate) ด้วยอะซีโตน เป็นเวลา 15 นาที
4. โซนิเคทด้วย เมทานอล เป็นเวลา 15 นาที
5. โซนิเคทด้วยน้ำดื่มอ่อนในซีล เป็นเวลา 15 นาที สามครั้ง
6. จากนั้นเอาไปเป่าก้าชในโทรเจนให้แห้ง

### การเคลือบไททาเนียมไคออกไซด์บนแผ่นกระดาษ

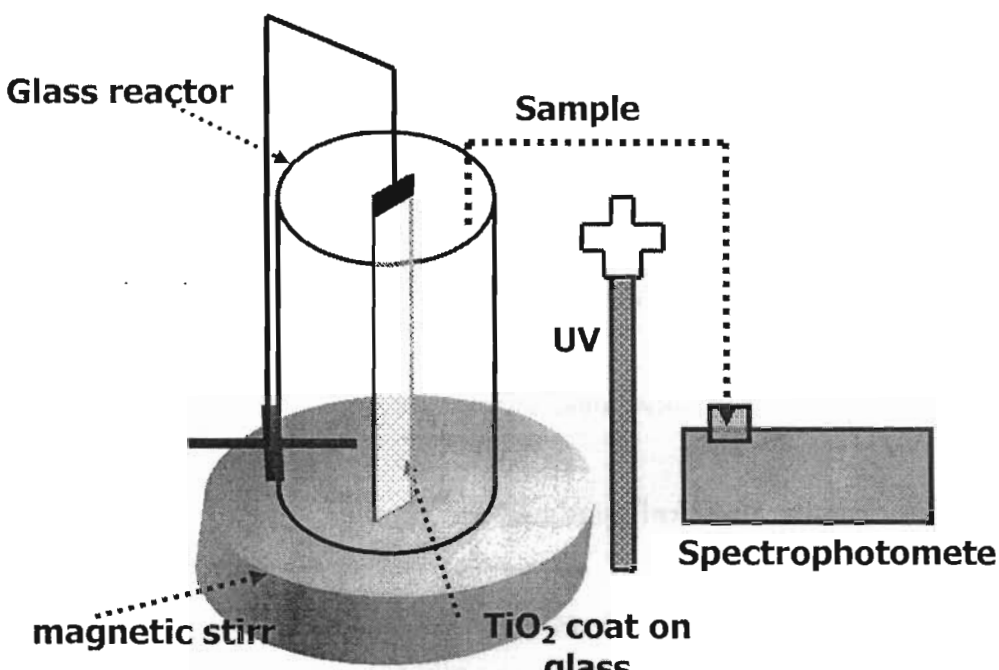
1. จุ่มแผ่นกระดาษไอล์ดลงในสารละลายไททาเนียมไคออกไซด์ด้วยความเร็ว 0.704 มิลลิเมตร ต่อวินาที
2. แช่แผ่นกระดาษไอล์ดในสารละลายเป็นเวลา 15 วินาที
3. เอาแผ่นกระดาษไอล์ดขึ้นด้วยความเร็ว 0.704 มิลลิเมตรต่อวินาที
4. จากนั้นทำความสะอาดข้อ 1-3 ซ้ำอีก 2 ครั้ง
5. เอากระดาษที่เคลือบเสร็จไปอบแห้งที่อุณหภูมิ  $55^{\circ}\text{C}$  เป็นเวลา 1 ชั่วโมง
6. จากนั้นนำไปเผาที่อุณหภูมิ  $450^{\circ}\text{C}$  เป็นเวลา 4 ชั่วโมง



รูปที่ 3.1 กระดาษไอล์ดที่เคลือบไททาเนียมไคออกไซด์

### 3.4.3 การออกแบบถังปฏิกรณ์

ในงานวิจัยนี้ได้ใช้แก้วเป็นวัสดุในการประดิษฐ์ถังปฏิกรณ์ โดยถังปฏิกรณ์ประกอบไปด้วยถังแก้วทรงกระบอกสูง 30 เซนติเมตร ขนาดเส้นผ่าศูนย์กลาง 9 เซนติเมตร ภายในถังแก้วบรรจุแผ่นกระจกที่เคลือบไททาเนียมโดยออกใช้ด้วยขนาด  $2.6 \times 3$  เซนติเมตรต่อสารละลายน้ำมิลลิลิตร 50 มิลลิลิตร โดยแผ่นไททาเนียมโดยออกใช้เดคปฏิกริยาไฟฟ้ากระแสไฟฟ้า ซึ่งเป็นกลไกสำคัญในการนำบัดใช้ยาในคร์ และมีการกวนเพื่อให้สารละลายน้ำมีการเคลือบกันตลอดการทดลอง ใช้หลอดอัลตราไวโอเลตขนาด 10 W เป็นแหล่งกำเนิดแสงสว่างไว้ภาชนะออกถังแก้ว



รูปที่ 3.2 ถังปฏิกรณ์ที่ใช้ในการทดลอง

### 3.4.4 การศึกษาการผลของความเข้มข้นเริ่มต้นใช้ยาในคร์ที่มีต่อการสลายของใช้ยาในคร์ด้วยกระบวนการไฟฟ้ากระแสไฟฟ้า

การศึกษาการผลของความเข้มข้นเริ่มต้นใช้ยาในคร์ที่มีต่อการสลายของใช้ยาในคร์ด้วยกระบวนการไฟฟ้ากระแสไฟฟ้าทำการทดลองแบบกะ โดยใช้ถังปฏิกรณ์ไฟฟ้ากระแสไฟฟ้าขนาด 50 มิลลิลิตร โดยใช้สารละลายน้ำมีความเข้มข้นใช้ยาในคร์เริ่มต้นที่ 10, 20, 30, 40, 100, 200 และ 400 ppm ทำการเก็บตัวอย่าง 3 แบบ ได้แก่

กรณีที่หนึ่งตัวอย่างควบคุม ทำการทดลองโดยไม่ได้ใส่เพ่นไททาเนียมโดยออกใช้ลงในสารละลายน้ำมีและไม่ฆาดแสงญี่วี

กรณีที่สอง คือการทำการทดลองโดยใส่แผ่นไททาเนียมไดออกไซด์ลงในสารละลายน้ำข้าวainค์แต่ไม่加水

กรณีที่สาม คือการทำการทดลองโดยใส่แผ่นไททาเนียมไดออกไซด์ลงในสารละลายน้ำข้าวainค์และ加水

ทำการเก็บตัวอย่างทุก 0, 2, 4, 6, 8, 10, 20, 30, 40, 50, 60, 90, 120 และ 180 นาที วัดปริมาณน้ำข้าวainค์ที่เหลือด้วยวิธี enzymatic method (O'Brien, et al., 1991) โดยทำการทดลองซ้ำ 2 ครั้ง

#### 3.4.4 การศึกษาการผลของปริมาณแป้งที่มีต่อการสลายของน้ำข้าวainค์ด้วยกระบวนการฟอโตโคละไอลชิส

การศึกษาการผลของปริมาณแป้งที่มีต่อการสลายของน้ำข้าวainค์ด้วยกระบวนการฟอโตโคละไอลชิสทำการทดลองแบบง่าย โดยใช้ถังปฏิกรณ์ฟอโตโคละไอลชิสขนาด 50 มิลลิลิตร โดยใช้สารละลายน้ำข้าวainค์ที่มีปริมาณแป้งที่ 0, 0.2, 0.4, และ 0.8 เปอร์เซนต์โดยน้ำหนักต่อปริมาตร ที่ความเข้มข้นน้ำข้าวainค์เริ่มต้น 40 และ 200 ppm ทำการเก็บตัวอย่างทั้งหมด 3 แบบ ได้แก่

กรณีที่หนึ่งตัวอย่างควบคุม ทำการทดลองโดยไม่ได้ใส่แผ่นไททาเนียมไดออกไซด์ลงในสารละลายน้ำข้าวainค์และไม่加水

กรณีที่สอง คือการทำการทดลองโดยใส่แผ่นไททาเนียมไดออกไซด์ลงในสารละลายน้ำข้าวainค์และ加水

กรณีที่สาม คือการทำการทดลองโดยใส่แผ่นไททาเนียมไดออกไซด์ลงในสารละลายน้ำข้าวainค์และ加水

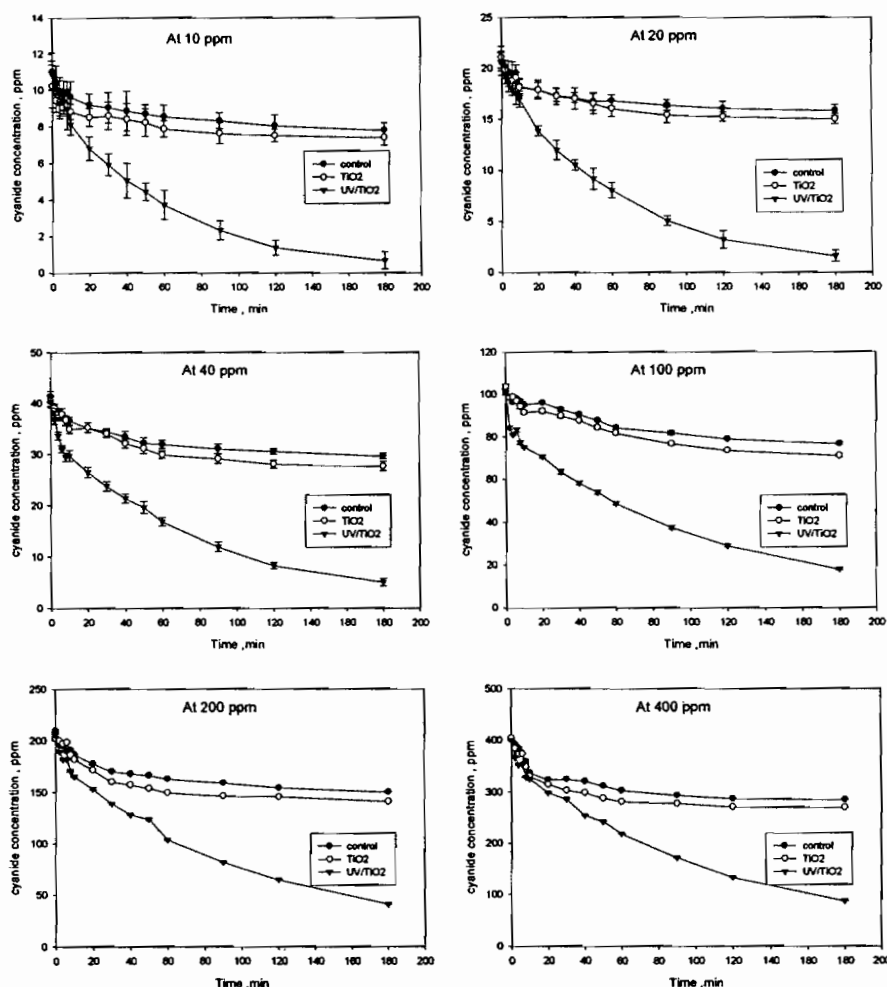
ทำการเก็บตัวอย่างทุก 0, 2, 4, 6, 8, 10, 20, 30, 40, 50, 60, 90, 120 และ 180 นาที วัดปริมาณน้ำข้าวainค์ที่เหลือด้วยวิธี enzymatic method (O'Brien, et al., 1991) โดยทำการทดลองซ้ำ 2 ครั้ง

## บทที่ 4 ผลการทดลองและวิจารณ์ผลการทดลอง

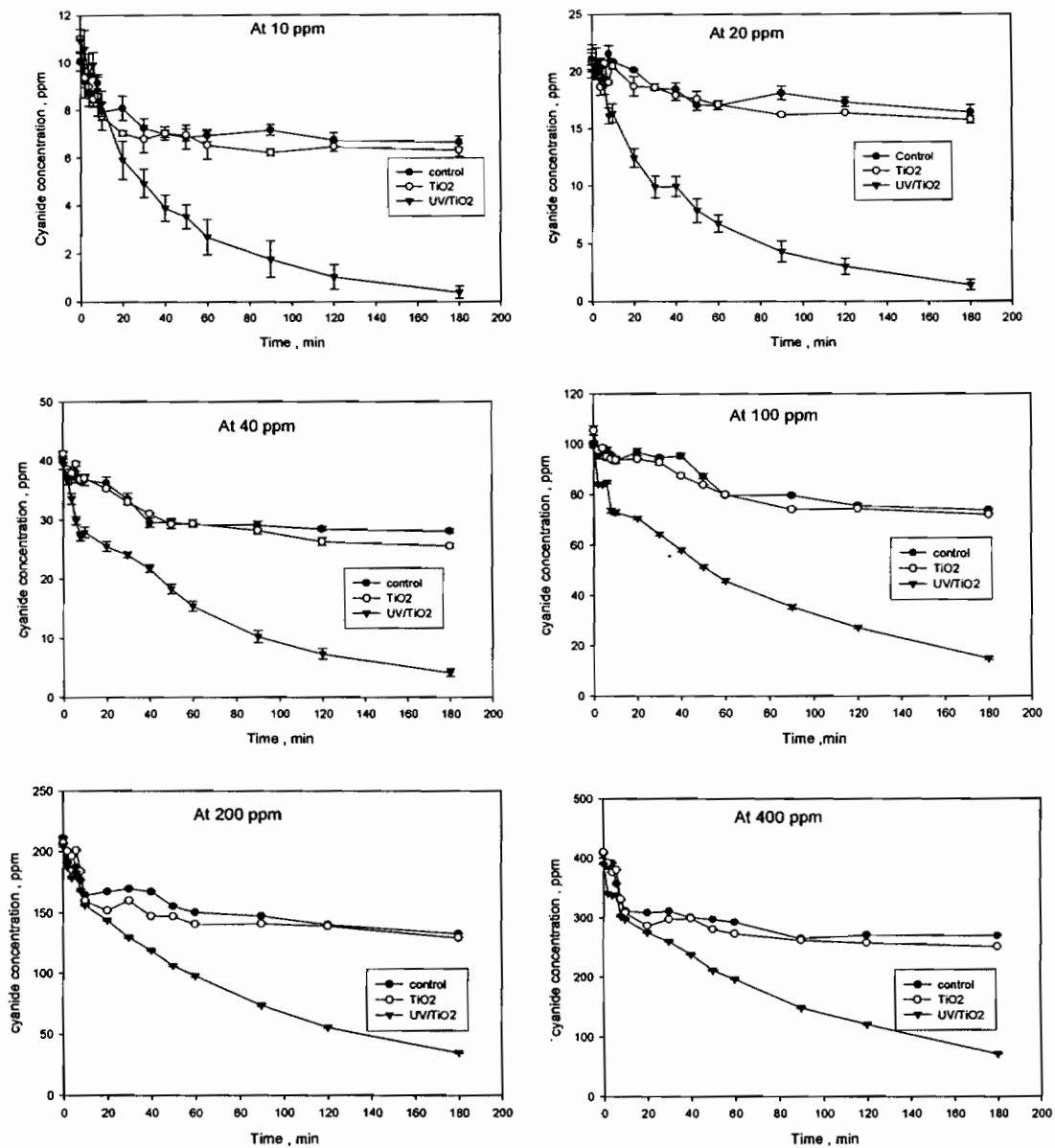
### 4.1 การศึกษาผลของความเริ่มต้นของไซยาไนด์ที่มีผลต่อการกำจัด

#### ไซยาไนด์ด้วยกระบวนการฟอโตคاتตาลิซิส

จากการทดลองศึกษาผลของความเข้มข้นเริ่มต้นของไซยาไนด์ที่ความเข้มข้น 10, 20, 40, 100, 200 และ 400 ppm ที่มีต่อการสลายไซยาไนด์ด้วยกระบวนการฟอโตคاتตาลิซิส ที่พีเอช 7 และพีเอช 9 ได้ผลการทดลองดังรูปที่ 4.1 และรูปที่ 4.2



รูปที่ 4.1 ปริมาณไซยาไนด์ที่เหลืออยู่เทียบกับระยะเวลาในการทดลอง ในกรณีที่ไม่มีแผ่นไททาเนียม ไอออกไซด์ (Control) เปรียบเทียบกับกรณีที่มีแผ่นไททาเนียม ไอออกไซด์แต่ไม่ได้ฉายแสง ( $\text{TiO}_2$ ) และกรณีที่มีแผ่นไททาเนียม ไอออกไซด์และฉายแสง ( $\text{UV}/\text{TiO}_2$ ) ที่ความเข้มข้น (ก) 10 (ข) 20 (ค) 40 (ง) 100 (จ) 200 และ (ฉ) 400 ppm ที่พีเอช 7

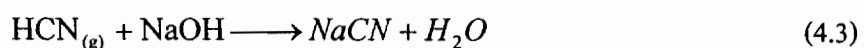


รูปที่ 4.2 ปริมาณไซยาไนด์ที่เหลืออยู่เทียบกับระยะเวลาในการทดลอง ในกรณีที่ไม่มีแผ่นไททานเนียม ไอโคอกไซด์ (Control) เปรียบเทียบกับกรณีที่มีแผ่นไททานเนียม ไอโคอกไซด์แต่ไม่ได้ถ่ายแสง ( $\text{TiO}_2$ ) และกรณีที่มีแผ่นไททานเนียม ไอโคอกไซด์และถ่ายแสง (UV/ $\text{TiO}_2$ ) ที่ความเข้มข้นไซยาไนด์เริ่มต้น (ก) 10 (ข) 20 (ค) 40 (ง) 100 (จ) 200 และ (ฉ) 400 ppm ที่พีเอช 9

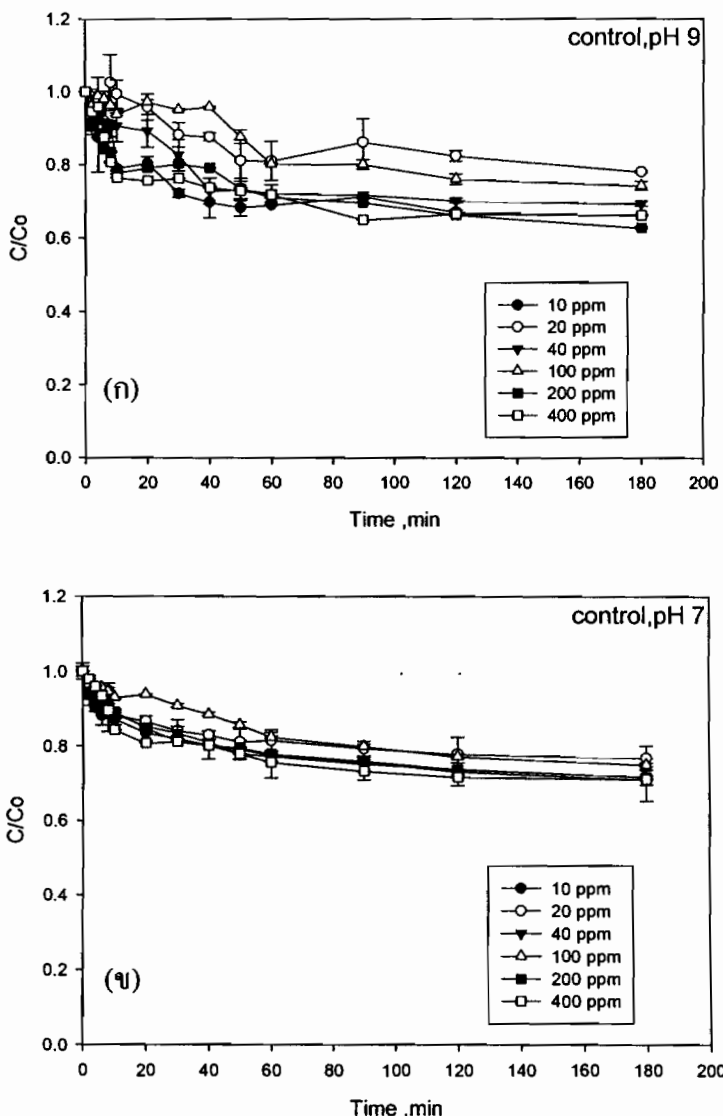
จากการทำการทดลองทั้งหมด 3 กรณี โดยกรณีที่หนึ่ง คือทำการทดลองโดยไม่ได้ใช้แผ่นไททาเนียมไดออกไซด์และไม่ได้ฉายแสง กรณีที่สอง คือทำการทดลองโดยใช้แผ่นไททาเนียมไดออกไซด์แต่ไม่ได้ฉายแสง และกรณีสุดท้าย คือทำการทดลองโดยใช้แผ่นไททาเนียมไดออกไซด์ และฉายแสง จากผลการทดลองพบว่าเมื่อเวลาในการทำปฏิกิริยาเพิ่มขึ้นปริมาณไฮยาไนด์มีค่าลดลงทั้ง 3 กรณี โดยในกรณีแรกพบว่า ปริมาณไฮยาไนด์นั้นมีค่าลดลง แต่ลดลงน้อยกว่าเมื่อเปรียบเทียบกับกรณีที่สอง ส่วนกรณีสุดท้ายนั้นพบว่าปริมาณไฮยาไนด์นั้นมีการลดลงมากกว่ากรณีอื่นๆ ในสารละลายนั้นจะมีไฮยาไนด์อิสระซึ่งอยู่ในรูปของไฮยาไนด์ไอออน ( $\text{cyanide ion : CN}^-$ ) และไฮโดรเจนไฮยาไนด์ ( $\text{hydrogen cyanide : HCN}$ ) ดังนั้นเหตุผลที่ปริมาณไฮยาไนด์ในกรณีแรกมีค่าลดลงอาจเนื่องมาจากการระเหยของไฮโดรเจนไฮยาไนด์ในสารละลายนั้น ดังสมการที่ 4.1-4.2 (จุฬารัตน์, 2004)



โดยไฮโดรเจนไฮยาไนด์ที่ระเหยไปสามารถนำกลับมาใช้ใหม่ได้ โดยการให้ก๊าซไฮโดรเจนไฮยาไนด์ทำปฏิกิริยากับโซเดียมไฮดรอกไซด์ ( $\text{NaOH}$ ) ซึ่งสามารถดักจับไฮยาไนด์ได้ประมาณ 70-90 เปอร์เซนต์ (จุฬารัตน์, 2004)



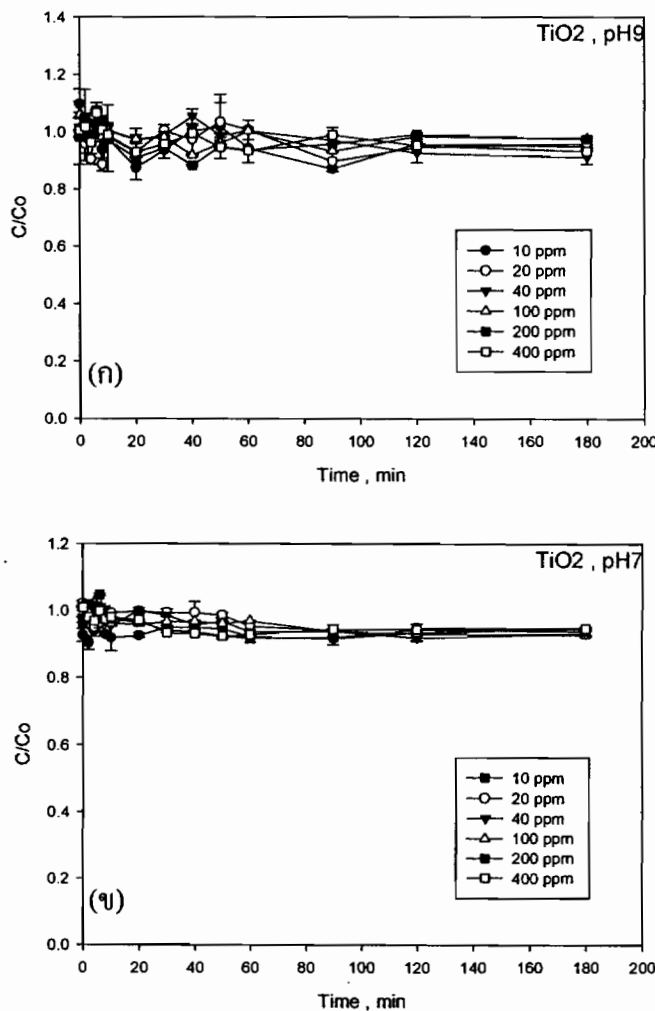
ดังแสดงในรูปที่ 4.3 พบว่าที่ความเข้มข้นไฮยาไนด์เริ่มต้นต่างๆ ลดลงเมื่อเวลาผ่านไปอาจเกิดเนื้องจาก การระเหยของไฮโดรเจนไฮยาไนด์



รูปที่ 4.3 ความสัมพันธ์ระหว่างปริมาณความเข้มข้นของไซยาไนด์ต่อเวลา ในกรณีที่ไม่มีแอลกอฮอล์ในทาเนียมไดออกไซด์และไม่ได้ถ่ายแสงที่ความเข้มข้นเริ่มต้นของไซยาไนด์ต่างๆที่  
(ก) พีเอช 9 (ข) พีเอช 7

แม้ว่าไซโตรเจนไซยาไนด์สามารถละลายน้ำได้ แต่เมื่ออุณหภูมิเพิ่มขึ้น จะทำให้ความสามารถในการละลายน้อยลง (จุหารัตน์, 2004) โดยการระเหยไซโตรเจนไซยาไนด์นั้น ค่อนข้าง เกิดขึ้น อย่างไรก็ตาม ความเข้มข้นเริ่มต้นไซยาไนด์และค่าความเป็นกรดค่างอาจไม่มีผลต่อการระเหยของไซโตรเจนไซยาไนด์ เนื่องจากการระเหยของไซยาไนด์นั้นขึ้นกับอุณหภูมิ

ในกรณีที่สอง ปริมาณความเข้มข้น ไซยาไนด์ที่ลดลงเมื่อใส่แผ่นไททาเนียมไดออกไซด์และไม่ฉาบแสงยูวี แสดงดังรูปที่ 4.4

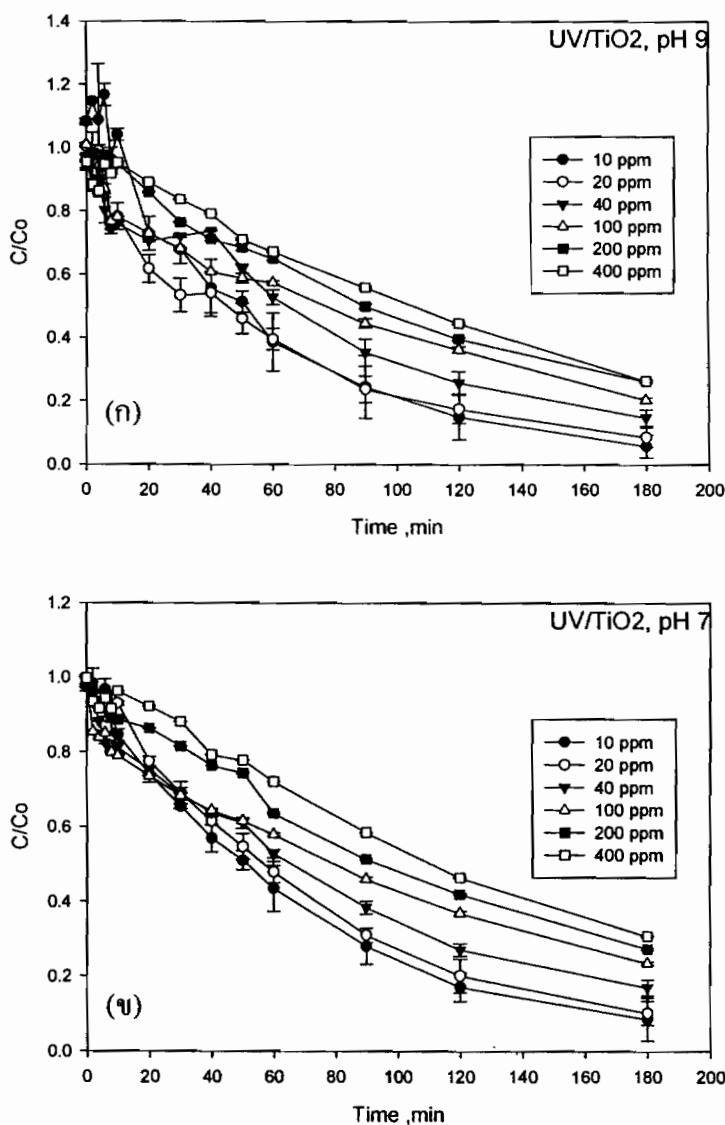


รูปที่ 4.4 ความสัมพันธ์ระหว่างปริมาณไซยาไนด์กับเวลาในกรณีที่มีแผ่นไททาเนียมไดออกไซด์และไม่ได้ฉาบแสงที่ความเข้มข้น ไซยาไนด์เริ่มต้นต่างๆ (ก) พีเอช 9 (ข) พีเอช 7

โดยปกติ กระบวนการ โพโตકะไลซิสจะประกอบด้วยสองขั้นตอน คือ การเกาะหรือคุกคิดผิว (Adsorption process) และการฉาบแสง (Irradiation process) ในส่วนของขั้นตอนแรกจะปล่อยให้ไซยาไนด์มีการเกาะหรือคุกคิดกับตัวกระตะลิสต์ก่อนเข้าสู่สภาวะสมดุล และเมื่อมีการฉาบแสงจะทำให้เกิดปฏิกิริยาเร็วๆ ทำให้เกิดการออกซิเดชันของไซยาไนด์ จากรูปที่ 4.4 พบว่าความเข้มข้น ไซยาไนด์มีค่าลดลงไปจากการแผ่นเรกเล็กน้อย ดังนั้นความเข้มข้นของไซยาไนด์ที่ลดลงอาจเนื่องมาจากการคูคชับของไซยาไนด์ที่อยู่บน ไททาเนียมไดออกไซด์ โดยพวงรัตน์ และคณะ (2546) ได้ศึกษาการกำจัดโคโรเมียม

ออกจากน้ำเสียโดยใช้ผงไททาเนียมไดออกไซด์ในกระบวนการฟอโตคอะไวซิส โดยศึกษาผลของการคุณติดผิวของไททาเนียมไดออกไซด์ พบว่าปริมาณโครเมียมนั้นถูกคัดซับต่อปริมาณไททาเนียมไดออกไซด์อย่างรวดเร็วในช่วง 5 นาทีแรกและหลังจากนั้นปริมาณการคัดซับของโครเมียมต่อปริมาณไททาเนียมไดออกไซด์มีค่าคงที่

ส่วนในกรณีที่สามซึ่งทำการทดลองโดยใส่แผ่นไททาเนียมไดออกไซด์ลงในสารละลายน้ำยาในค์และฉาบแสงญี่ปุ่น พบว่าความเข้มข้นไนยาในค์มีค่าลดลงมากกว่าทั้งสองกรณีมาก แสดงในรูปที่ 4.5



รูปที่ 4.5 ความสัมพันธ์ระหว่าง  $C/C_0$  กับเวลาโดยในกรณีที่มีแผ่นไททาเนียมไดออกไซด์และฉาบแสงที่ความเข้มข้นไนยาในค์เริ่มต้นต่างๆ (ก) pH 9 (ข) pH 7

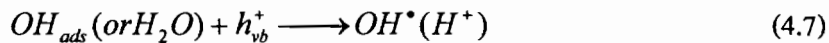
โดยกระบวนการโฟโตคัตต์ไอลซิสของ “ไซยาไนด์คัลว์” ไทยเนี่ยม ได้ออกใช้ค์สามารถอธิบายการเกิดปฏิกิริยาได้ดังสมการ (Ramamurthy and Schanze, 2003; Chiang et al., 2002)



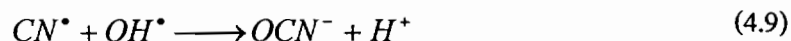
สมการ 4.5 แสดงเกิดการรีคอมบินेशัน (Recombination) ของไฮดราตและอิเล็กตรอน;



เมื่อ  $h_{vb}^+$  และ  $e_{cb}^-$  ไม่ได้เกิดรีคอมบินेशัน ไฮดราต ( $h_{vb}^+$ ) สามารถเกิดปฏิกิริยาได้กับออกซิเจน และอิเล็กตรอน ( $e_{cb}^-$ ) สามารถเกิดปฏิกิริยาได้กับน้ำ ดังแสดงในสมการ 4.6 - 4.7 (Ramamurthy and Schanze, 2003)



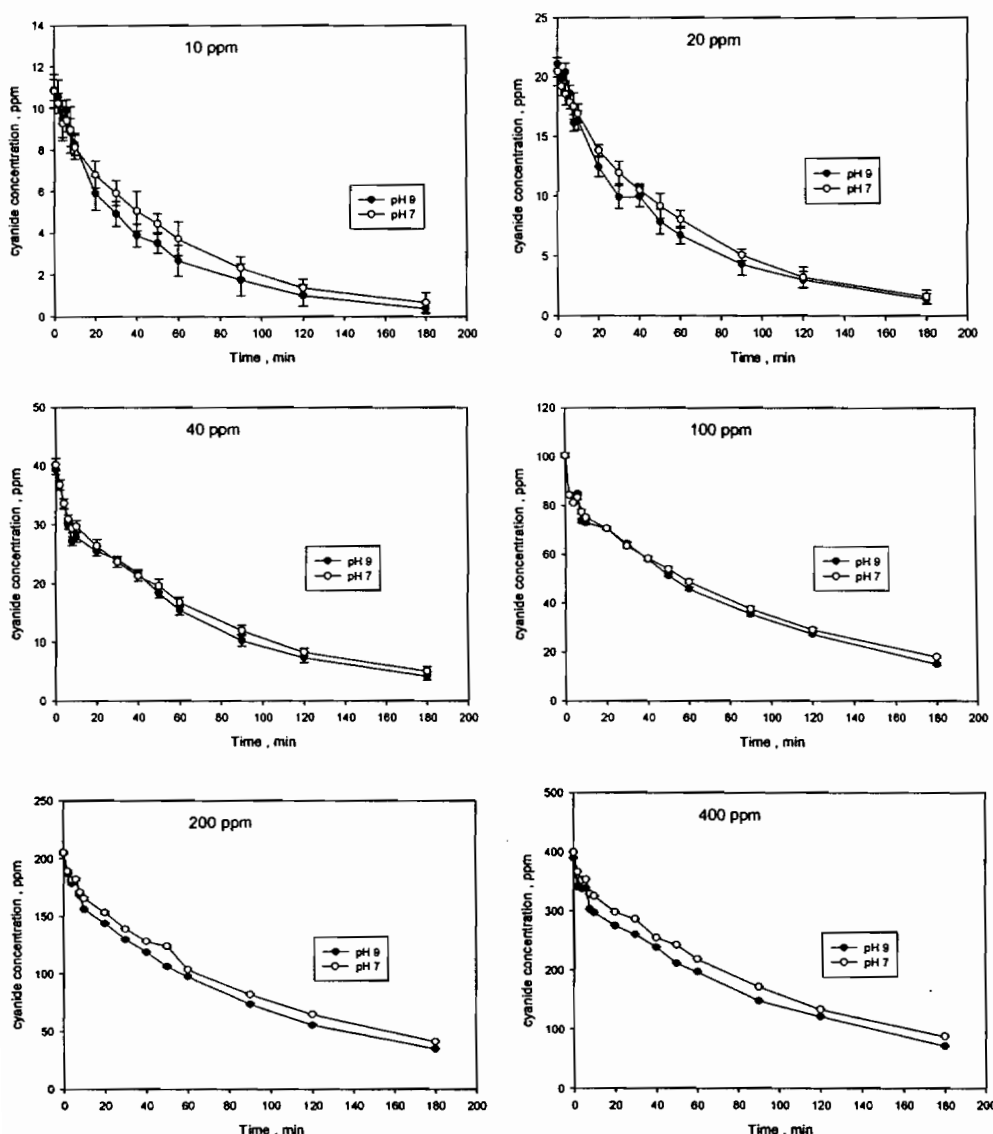
ปฏิกิริยาในการกำจัดไซยาไนด์แสดงดังสมการ 4.8-4.9 (จุฬารัตน์, 2004)



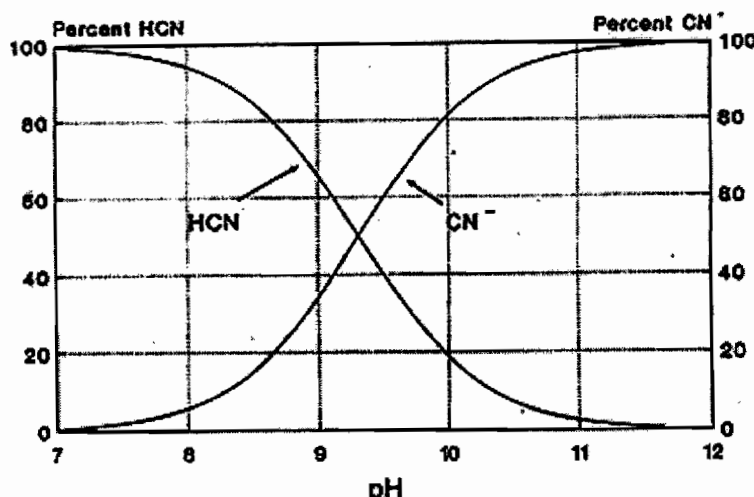
จากปฏิกิริยาดังกล่าวแสดงให้เห็นว่า เมื่อ “ไทยเนี่ยม” ได้ออกใช้ค์ได้รับแสง สามารถเกิดปฏิกิริยาเร็วชัน และออกซิเดชันทั้งสองชนิดไปพร้อมกัน โดยปฏิกิริยากระตุ้นด้วยการคูณคลื่น โฟตอนที่มีพลังงานมากกว่า หรือเท่ากับของว่างพลังงานของ “ไทยเนี่ยม” ได้ออกใช้ค์ อิเล็กตรอนที่ถูกกระตุ้นจะทำให้เกิดปฏิกิริยาเร็วชัน ในทางกลับกัน ไฮดราตที่เหลืออยู่หลังจากอิเล็กตรอนถูกกระตุ้นไปแล้วสามารถเกิดปฏิกิริยาออกซิเดชันได้  $OH^\bullet$  ซึ่งเป็นสารตัวออกซิไดซ์ที่แรง หลังจากนั้น  $OH^\bullet$  จะทำปฏิกิริยากับไซยาไนด์ได้ “ไซยาเนท” ซึ่งทำให้มีความเป็นพิษลดลง ดังนั้นสามารถกำจัดไซยาไนด์ได้มากกว่าทั้งสองกรณี

จากรูปที่ 4.5 พบว่า เมื่อเวลาผ่านไปปริมาณไซยาไนด์ที่เหลืออยู่มีค่าลดลง โดยเมื่อค่าความเข้มข้นเริ่มต้นไซยาไนด์มาก ปริมาณไซยาไนด์ที่เหลืออยู่ในสารละลายนากกว่าที่ความเข้มข้นไซยาไนด์เริ่มต้นน้อย รูปที่ 4.6 เมื่อเปรียบเทียบการกำจัดไซยาไนด์คัลว์กระบวนการโฟโตคัตต์ไอลซิสที่พีเอช 7 และพีเอช 9 พบว่าในสภาวะที่พีเอชของสารละลายนี้ค่าง (พีเอช 9) การกำจัดไซยาไนด์คัลว์กระบวนการโฟโตคัตต์ไอลซิสจะมีประสิทธิภาพสูงกว่าในสภาวะที่ค่าพีเอชของสารละลายนี้เป็นครึ่ง (พีเอช 7) โดยจากรูปที่ 4.7

พบว่าที่พีเอช 9.3-9.5 ไซยาไนด์ไอโอดิน และไฮโดรเจนไซยาไนด์ จะอยู่ในสภาวะสมดุล ถ้าอยู่ในสภาวะพีเอชเป็นกรด ไซยาไนด์อิสระจะอยู่ในรูปของไฮโดรเจนไซยาไนด์มากกว่าไซยาไนด์ไอโอดิน และไทยาเนียมไดออกไซด์สามารถทำปฏิกิริยาและคุกซับไซยาไนด์ในรูปของไฮยาไนด์ไอโอดิน ดังนั้นไทยานีียมไดออกไซด์ก็จะปฏิกิริยาและคุกซับไซยาไนด์ได้น้อยที่สภาวะความเป็นกรด ซึ่งทำให้ประสิทธิภาพในการออกซิเดชันของไซยาไนด์ที่สภาวะค่างเกิดขึ้นได้ดีกว่าที่สภาวะกรด และสอดคล้องกับผลการทดลองของ Wuithi (2007) ที่ทำการทดลองศึกษาหาผลของพีเอชที่มีต่อการถลายของไซยาไนด์ โดยใช้อิโอนเป็นสารออกซิไดซ์ พบร่วมที่สภาวะพีเอชเป็นค่างการถลายของไซยาไนด์จะเกิดได้ดีกว่าที่สภาวะเป็นกรด



รูปที่ 4.6 เปรียบเทียบความเข้มข้นไซยาไนด์ที่ลดลงกับเวลาที่พีเอช 7 และพีเอช 9 (ก) 10 (ข) 20 (ค) 40 (จ) 100 (ช) 200 และ (ฉ) 400 ppm



รูปที่ 4.7 ความเข้มข้นของไฮยาไนด์อิสระที่พีอีชต่าง ๆ (Botz, 2001)

จากรูปที่ 4.5 แสดงความสัมพันธ์ระหว่าง  $C/C_o$  กับเวลาที่ความเข้มข้นไฮยาไนด์เริ่มต้นต่างๆ ในกรณีที่มีแผ่นไททาเนียมไดออกไฮด์และฉายแสง ที่พีอีช 9 และ พีอีช 7 จะเห็นว่าความเข้มข้นเริ่มต้นของไฮยาไนด์มีผลต่ออัตราการถลายของไฮยาไนด์ ที่เวลาในการฉายแสงเดียวกัน ปริมาณการถลายของไฮยาไนด์มีค่าน้อยเมื่อความเข้มข้นเริ่มต้นของไฮยาไนด์มีค่านาก ดังนั้นค่าความเข้มข้นเริ่มต้นของไฮยาไนด์ถึงเป็นสิ่งที่ต้องน้ำใจในการกำจัดไฮยาไนด์ในสารละลาย การถลายของไฮยาไนด์ ด้วยกระบวนการฟอโตเคมีไอลซิสโดยใช้ไททาเนียมไดออกไฮด์ที่ทุกๆ ความเข้มข้นเริ่มต้นของไฮยาไนด์สามารถนำมาหาความสัมพันธ์ตามสมการต่อไปนี้

$$r = -\frac{dC}{dt} = k_{app} C \quad (4.10)$$

เมื่ออินทิเกรตสมการ 4.10 โดย  $C = C_o e^{-k_{app} t}$  ที่  $t = 0$  จะได้

$$-\ln\left(\frac{C}{C_o}\right) = k_{app} t \quad (4.11)$$

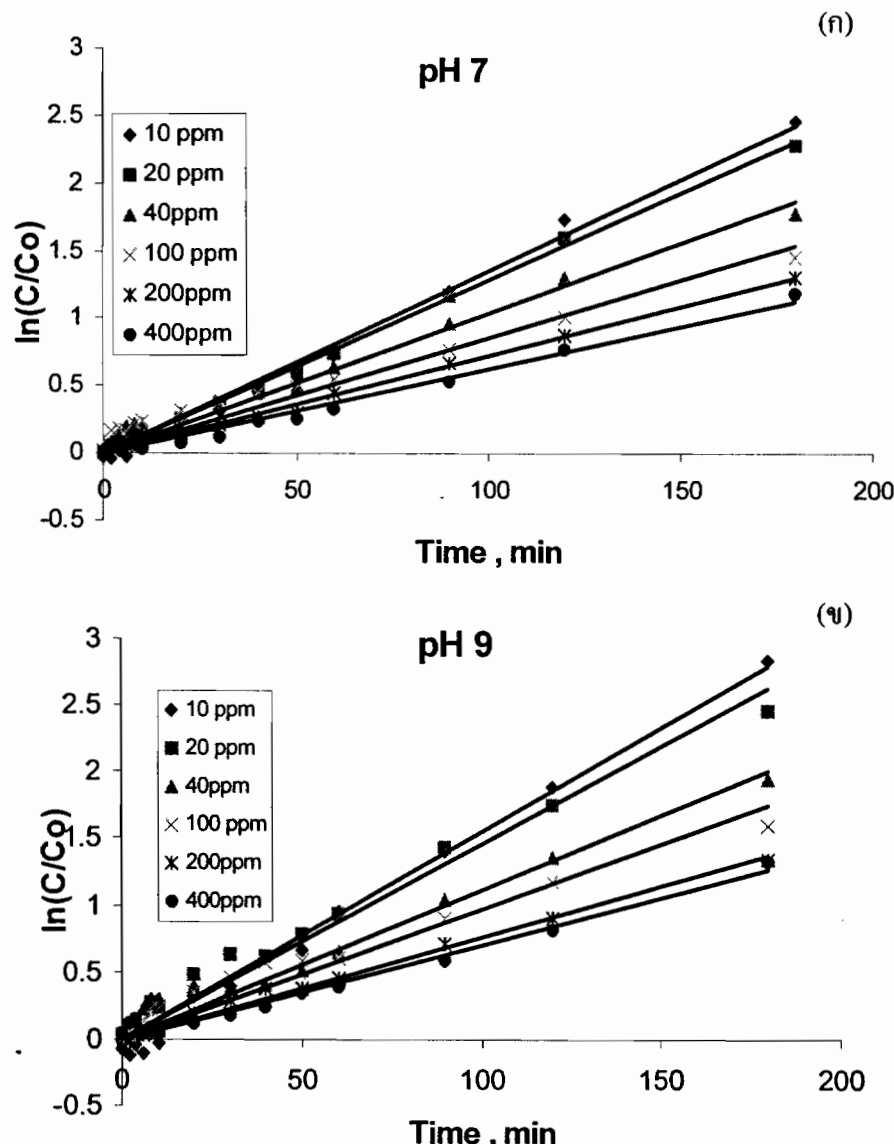
โดย  $C$  คือความเข้มข้นไฮยาไนด์ที่เวลา  $t$  (ppm)

$C_o$  คือ ความเข้มข้นไฮยาไนด์ที่เวลาเริ่มต้น (ppm)

$t$  คือ เวลาในการทำปฏิกิริยา (min)

$k_{app}$  คือค่าคงที่ของการเปลี่ยนรูปจากการฉายแสง (1/min)

สามารถสร้างกราฟความสัมพันธ์ระหว่าง  $\ln\left(\frac{C}{C_0}\right)$  กับเวลาได้ดังรูปที่ 4.8 และหาค่าคงที่ของการเปลี่ยนรูปจากการฉายแสง ( $k_{app}$ ) ได้ดังตารางที่ 4.1



รูปที่ 4.8 ความสัมพันธ์ระหว่าง  $\ln\left(\frac{C}{C_0}\right)$  กับเวลา ที่ความเข้มข้นเริ่มต้นไม่เท่ากัน ของ (ก) พีเอช 7 (ข) พีเอช 9

ตารางที่ 4.1 ค่าคงที่ของการเปลี่ยนรูปของการถ่ายแสง ( $k_{app}$ )

| Cyanide concentration | $k_{app}$ (l/min) |                |        |                |
|-----------------------|-------------------|----------------|--------|----------------|
|                       | pH 9              | R <sup>2</sup> | pH 7   | R <sup>2</sup> |
| 10                    | 0.0155            | 0.9861         | 0.0134 | 0.9900         |
| 20                    | 0.0146            | 0.9775         | 0.0128 | 0.9980         |
| 40                    | 0.0111            | 0.9638         | 0.0104 | 0.9757         |
| 100                   | 0.0097            | 0.9392         | 0.0086 | 0.9200         |
| 200                   | 0.0076            | 0.9922         | 0.0072 | 0.9927         |
| 400                   | 0.007             | 0.9752         | 0.0063 | 0.9830         |

อัตราเร็วของปฏิกิริยาฟอโตคัตต์ไลซิสของไซยาไนด์ในการทดลองนี้ สามารถอธิบายได้ด้วยปฏิกิริยา pseudo first order จากตารางที่ 4.1 พบว่า ค่าคงที่ของการเปลี่ยนรูปจากการถ่ายแสง ( $k_{app}$ ) นั้นมีค่าลดลง เมื่อความเข้มข้นเริ่มต้นของไซยาไนด์มีค่าเพิ่มมากขึ้น ในขณะที่พารามิเตอร์อื่นๆ มีค่าคงที่ ซึ่งสอดคล้อง กับการทดลองของ Heredia et al. (2001) ที่ศึกษาการถ่ายตัวของ p-hydroxybenzoic acid ด้วยกระบวนการฟอโตคัตต์ไลซิสโดยไฟฟ้าเนียมไดออกไซด์ ที่ความเข้มข้นเริ่มต้นต่างๆ พบว่าความเข้มข้น เริ่มต้นของ p-hydroxybenzoic acid มีผลต่ออัตราการถ่ายตัวของ p-hydroxybenzoic acid และค่าคงที่ของการเปลี่ยนรูปจากการถ่ายแสง ( $k_{app}$ ) มีค่าลดลงเมื่อความเข้มข้นเริ่มต้นมีค่ามากขึ้น ส่วนความสัมพันธ์ ของค่าคงที่ของการเปลี่ยนรูปจากการถ่ายแสง ( $k_{app}$ ) กับพีเอชนั้นพบว่า ที่ความเริ่มต้นของไซยาไนด์ เดียวกัน ค่าคงที่ของการเปลี่ยนรูปจากการถ่ายแสง ( $k_{app}$ ) ที่พีเอชสูงกว่าจะมีค่ามากกว่าที่พีเอชต่ำ เนื่องจากเหตุผลดังที่ได้กล่าวมาแล้วข้างต้น จากผลการทดลองแสดงให้เห็นว่าความเข้มข้นไซยาไนด์ เริ่มต้นมีผลต่อค่าคงที่ของการเปลี่ยนรูปจากการถ่ายแสง ( $k_{app}$ ) ซึ่งสามารถอธิบายได้ด้วยสมการ Langmuir-Hinshelwood ซึ่งนิยมใช้ในกระบวนการฟอโตคัตต์ไลซิส

โดยสมนตฐานของสมการ Langmuir-Hinshelwood ได้แก่ (Li et al., 2008)

- ขั้นกำหนดค่าปฏิกิริยาของกระบวนการฟอโตคัตต์ไลซิสเป็นปฏิกิริยาระหว่าง  $OH^{\cdot}$  radical กับไซยาไนด์ไอออนที่คุณซับบนผิวของตัวกระถินิสซ์ โดยมีการคุณซับสองส่วนคู่กัน คือ ไซยาไนด์ และ  $H_2O$

2.  $OH^{\cdot}$  radical เกิดจาก  $h^+$  คูดซับกับโมเลกุล  $H_2O$  และ  $OH^-$  ได้  $OH^{\cdot}$  radical ซึ่งปริมาณการเกิด  $OH^{\cdot}$  radical ขึ้นกับสัดส่วนของออกซิเจนที่ถูกคูดซับคูดติด เนื่องจากเกิดรวมตัวกันของอิเล็กตรอน และไฮดราติกได้มากกว่าอัตราการเกิด  $OH^{\cdot}$  และให้โมเลกุลน้ำในระบบมีมากเกินพอ
3. ปริมาณ  $OH^{\cdot}$  radical และ  $h^+$  นั้นคงที่ตลอดการทดลอง

จากสมนติฐานดังกล่าวอัตราการเกิดปฏิกิริยาขึ้นดับสองของการออกซิเดชันที่ผิวของไชยาในค์สามารถเขียนในเทอมของ Langmuir-Hinshelwood model ดังสมการ 4.12 (Hernandez-Alonso et al., 2002)

$$r = \frac{-dC}{dt} = k'' \theta_{OH} \theta_{cyanide} \quad (4.12)$$

โดยที่  $C$  คือความเข้มข้นไชยาในค์,  $t$  คือเวลา,  $k''$  คือค่าคงที่อันดับสอง,  $\theta_{OH}$  และ  $\theta_{cyanide}$  คือสัดส่วนของการถูกคูดซับของไฮดรอกซิลและไชยาในค์ตามลำดับ และสัดส่วนของการถูกคูดซับของไชยาในค์ และไฮดรอกซิลสามารถเขียนได้ดังนี้

$$\theta_{OH} = \frac{K_{O2} P_{O2}}{1 + K_{O2} P_{O2}} \quad (4.13)$$

$$\theta_{cyanide} = \frac{K_s C}{1 + K_s C + \sum_i K_i I_i} \quad (4.14)$$

ให้  $K_s$  และ  $K_i$  เป็นค่าคงที่ของการถูกคูดซับของไชยาในค์และค่าคงที่ของการถูกคูดซับของผลผลิตอื่นๆ ของไชยาในค์ ตามลำดับ และ “ $I$ ” คือ ผลผลิตอื่นๆ ของการถูกคูดซับของไชยาในค์ ในสมการที่ 4.14 นั้นมีพารามิเตอร์ที่เราไม่ทราบค่ารวมอยู่ด้วย ดังนั้นสามารถตัดแปลงสมการ โดยตั้งสมนติฐาน

$$K_s C + \sum_i K_i I_i = K_s C_0 \quad (4.15)$$

โดยที่  $C_0$  คือค่าความเข้มข้นไชยาในค์เริ่มต้น (ppm) แทนค่าสมการ 4.15 ลงในสมการ 4.14 และเขียนสมการที่ 4.12 ใหม่ได้ดังสมการ 4.16

$$r = k'' \theta_{OH} \theta_{cyanide} = k'' \cdot \frac{K_{O_2} P_{O_2}}{1 + K_{O_2} P_{O_2}} \cdot \frac{K_s C}{1 + K_s C_O} \quad (4.16)$$

จากสมมติฐานให้ปริมาณ  $OH^*$  คงที่ตลอดกระบวนการ โฟโตคاتตาไลซิส ทำให้เทอมของ  $k'' \theta_{OH}$  มีค่าคงที่ ดังนั้นสามารถแทนค่า  $k'' \theta_{OH}$  ด้วย  $k_r$  ดังนั้น

$$k'' \theta_{OH} = k'' \cdot \frac{K_{O_2} P_{O_2}}{1 + K_{O_2} P_{O_2}} = \text{constant} = k_r \quad (4.17)$$

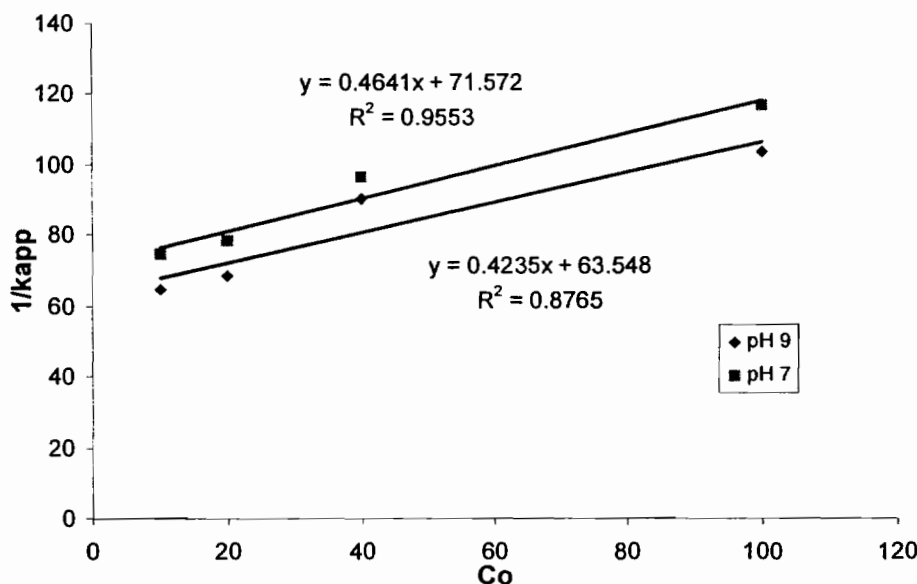
สมการที่ 4.10 และสมการที่ 4.16 สามารถเขียนสมการใหม่ได้ดังสมการ 4.18

$$r = k_r \frac{K_s C}{1 + K_s C_O} = k_{app} C \quad (4.18)$$

ในการอธิบายการถลายน้ำยาในดีในกระบวนการ Heterogeneous photocatalytic โดยหากความสัมพันธ์ระหว่างค่า  $k_{app}$  และความเข้มข้นเริ่มต้นของไชยาในดี สามารถเขียนสมการที่ 4.18 ใหม่ได้ดังนี้ (Li et al., 2008)

$$\frac{1}{k_{app}} = \frac{1}{k_r K_s} + \frac{C_O}{k_r} \quad (4.19)$$

กราฟแสดงความสัมพันธ์ระหว่าง  $1/k_{app}$  และ  $C_o$  ในช่วงความเข้มข้นไชยาในดีเริ่มต้น 10, 20, 40 และ 100 ppm และแสดงค้างรูปที่ 4.9



รูปที่ 4.9 ความสัมพันธ์ระหว่าง  $1/k_{app}$  กับ Co

จากรูปที่ 4.9 พบว่าค่าความชันของกราฟจะเป็นเส้นตรง ซึ่งสอดคล้องกับ Augugliaro et al. (1996) และ Herrmann (1999) ซึ่งพบว่าที่ความเข้มข้นเริ่มต้นของไซยาไนด์ต่ำ ค่าคงที่ของการดูดซับของไซยาไนด์มีค่าน้อยกว่า 1 หาก อัตราการเกิดปฏิกิริยาจะเป็น first order และเมื่อความเข้มข้นเริ่มต้นสูงๆ ค่าคงที่ของการดูดซับของไซยาไนด์ค่ามากกว่า 1 หาก จะเป็น zero-order จากรูปที่ 4.9 สามารถหาค่า  $k_t$  และ  $k_s$  ได้จากการชั้นของกราฟ ดังแสดงในตารางที่ 4.2 พบว่าที่พื้นที่ต่างกัน ค่า  $k_t$  และ  $k_s$  ไม่ต่างกันมาก ดังนั้นใช้ค่าเฉลี่ยของทั้ง 2 พื้นที่เพื่อใช้ในการเขียนสมการ Langmuir-Hinshelwood

ตารางที่ 4.2 ค่าคงที่ของการดูดซับ  $k_t$  และ  $k_s$

|                 | pH 7     | pH9      | Average |
|-----------------|----------|----------|---------|
| $k_t$ (ppm/min) | 2.154708 | 2.361275 | 2.26    |
| $k_s$ (1/ppm)   | 0.006484 | 0.006664 | 0.0066  |

ดังนั้นในกระบวนการ โฟโตකัตต์ไลซิส

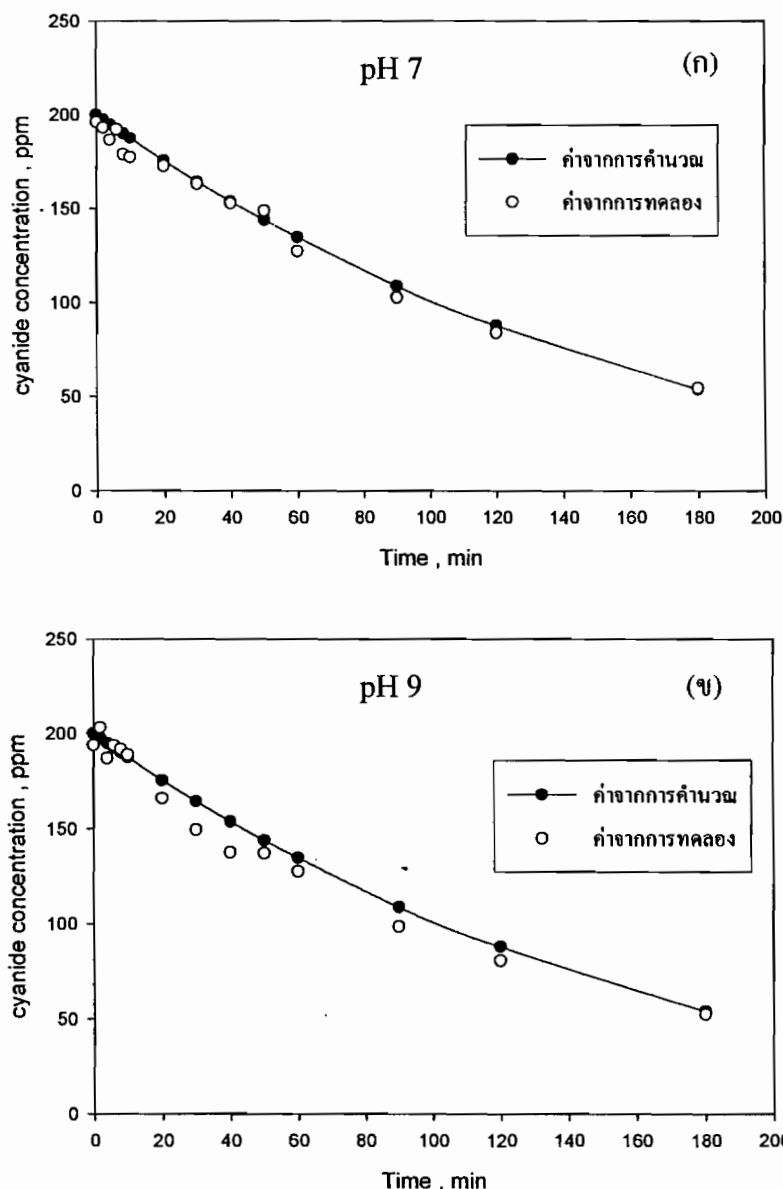
กระบวนการ โฟโตකัตต์ไลซิสที่ Langmuir-Hinshelwood ให้ค่า  $k_t$  และ  $k_s$  เท่ากับ  $2.26 \text{ ppm/min}$  และ  $0.0066 \text{ min}^{-1}$  ตามลำดับ และอัตราการเกิดปฏิกิริยาของชั้นของไซยาไนด์ สามารถหาได้จากสมการ

สมการที่ใช้ในอธิบายการออกซิเดชันของไซยาไนด์โดย

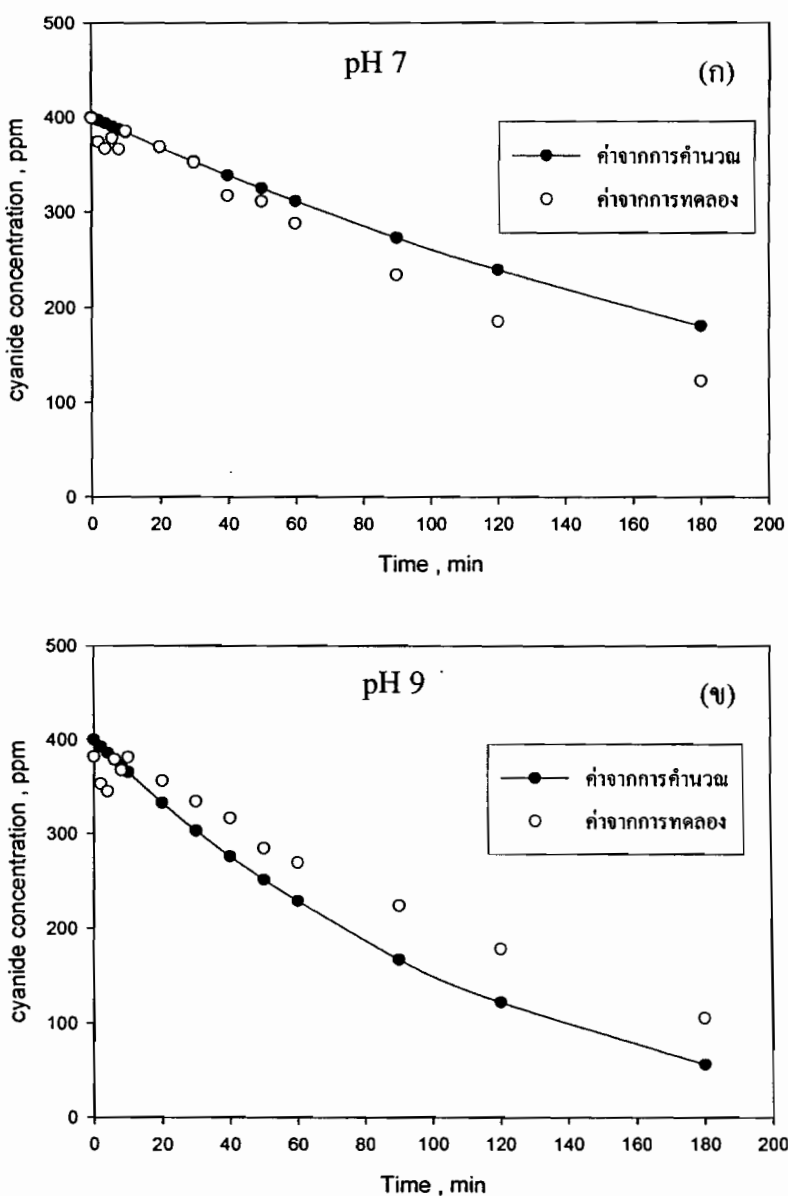
ให้ค่า  $k_t$  และ  $k_s$  เท่ากับ  $2.26 \text{ ppm/min}$  และ

$$r = \frac{0.015C}{1 + 0.0066C_0} \quad (4.20)$$

เมื่อลองนำสมการที่ 4.20 มาทำนายแล้วเปรียบเทียบระหว่างค่าที่ได้จากการทำนายและค่าที่ได้จากการทดลองจริงที่ความเข้มข้นไซยาไนด์เริ่มต้น 200 และ 400 ppm จากการทดสอบทางสถิติ T-test พบร่วมค่าที่ได้จากการทำนายและค่าที่ได้จากการทดลองจริงมีค่าไม่แตกต่างกันอย่างมีนัยสำคัญทางสถิติที่ระดับความเชื่อมั่น 0.05 ดังรูปที่ 4.10-4.11



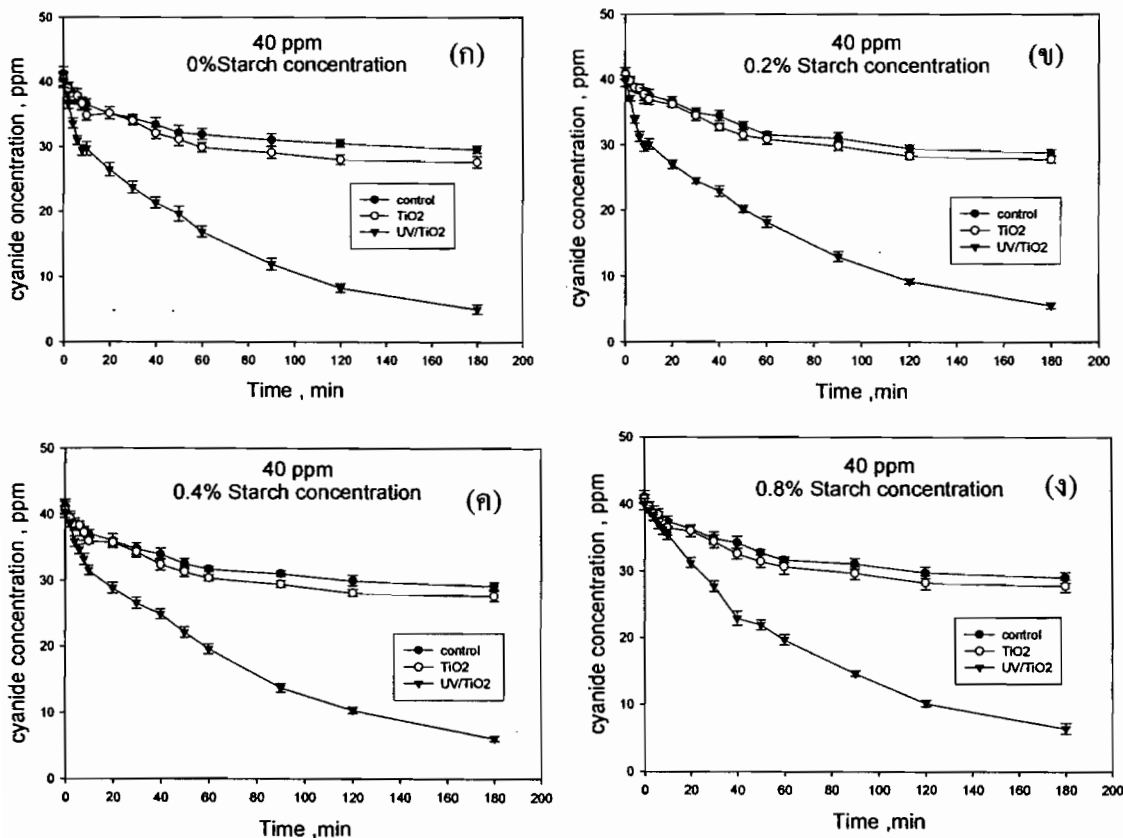
รูปที่ 4.10 เปรียบเทียบระหว่างค่าที่ได้จากการทำนายและค่าที่ได้จากการทดลองจริงที่ความเข้มข้นไซยาไนด์เริ่มต้น 200 ppm (ก) พีอีช 7 (ข) พีอีช 9  
ไซยาไนด์เริ่มต้น 400 ppm (ก) พีอีช 7 (ข) พีอีช 9



รูปที่ 4.11 เปรียบเทียบระหว่างค่าที่ได้จากการทำนายและค่าที่ได้จากการทดลองของริงที่ความเข้มข้นไซยาไนด์เริ่มต้น 400 ppm (ก) พีอีช 7 (ข) พีอีช 9

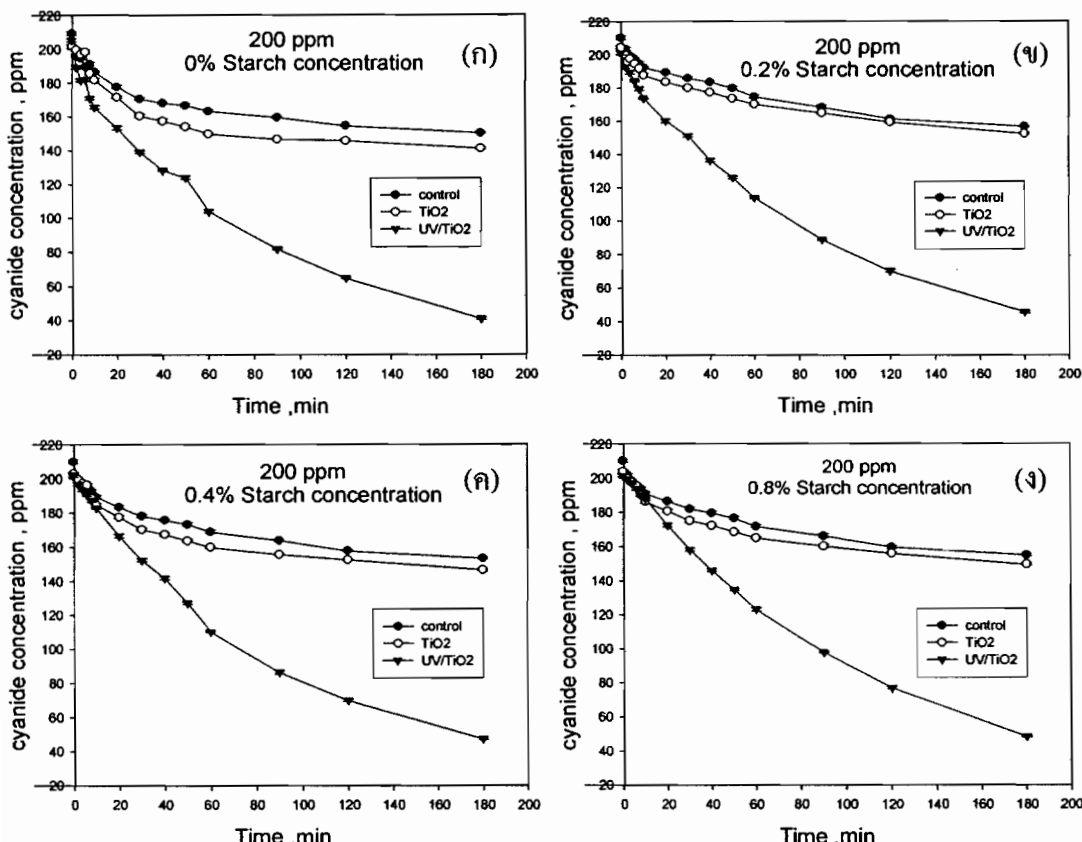
## 4.2 การศึกษาผลของความเข้มข้นของแป้งที่มีต่อการกำจัดไฮยาในด้วยกระบวนการโพโตคัตไอลซิส

จากการทดลองเพื่อศึกษาผลของความเข้มข้นแป้งที่ปริมาณ 0, 0.2, 0.4 และ 0.8 %น้ำหนักโดยน้ำหนัก ที่มีต่อการลดลงของไฮยาในด้วยกระบวนการโพโตคัตไอลซิส ที่พีเอช 7 ได้ผลการทดลองดังรูปที่ 4.12 และรูปที่ 4.13



รูปที่ 4.12 ความเข้มข้นของไฮยาในด้วยการทดลองเทียบกับระยะเวลาในการทดลอง ในกรณีที่ไม่มีเผ่นไหกานเนียม ไคลอออกไซด์ (Control) เปรียบเทียบกับกรณีที่มีเผ่นไหกานเนียม ไคลอออกไซด์แต่ไม่ได้ฉายแสง ( $TiO_2$ ) และกรณีที่มีเผ่นไหกานเนียม ไคลอออกไซด์และฉายแสงด้วย ( $UV/TiO_2$ ) ที่ความเข้มข้นไฮยาในด้วยเริ่มต้น  $40 \text{ ppm}$  พีเอช 7 ที่ความเข้มข้นแป้งต่างๆ (ก) 0% (ข) 0.2% (ก) 0.4% (ง) 0.8% น้ำหนักโดยน้ำหนัก

ไฮกานเนียม ไคลอออกไซด์ (Control) เปรียบเทียบกับกรณีที่มีเผ่นไฮกานเนียม ไคลอออกไซด์แต่ไม่ได้ฉายแสง ( $TiO_2$ ) และกรณีที่มีเผ่นไฮกานเนียม ไคลอออกไซด์และฉายแสงด้วย ( $UV/TiO_2$ ) ที่ความเข้มข้นไฮยาในด้วยเริ่มต้น  $40 \text{ ppm}$  พีเอช 7 ที่ความเข้มข้นแป้งต่างๆ (ก) 0% (ข) 0.2% (ก) 0.4% (ง) 0.8% น้ำหนักโดยน้ำหนัก



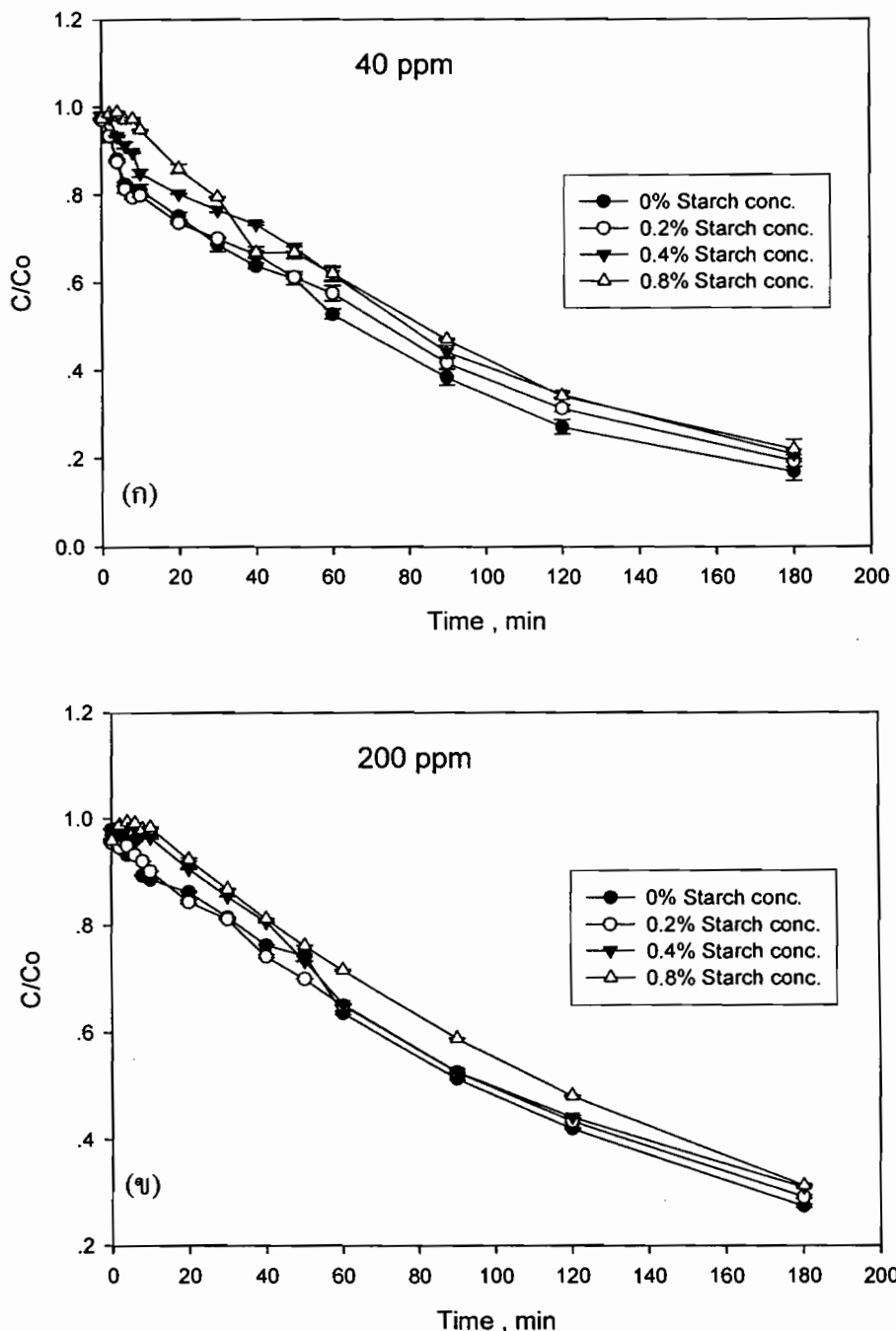
รูปที่ 4.13 ความเข้มข้นของไซยาไนด์ที่ลดลงเทียบกับระยะเวลาในการทดลอง ในกรณีที่ไม่มีแผ่น

ไททาเนียม โคออกไซด์ (Control) เปรียบเทียบกับกรณีที่มีแผ่นไททาเนียม โคออกไซด์ไม่ได้ catalyst แต่ไม่ได้ถ่ายแสง ( $\text{TiO}_2$ ) และกรณีที่มีแผ่นไททาเนียม โคออกไซด์และถ่ายแสงด้วย ( $\text{UV/TiO}_2$ ) ที่ความเข้มข้นไซยาไนด์เริ่มต้น 200 ppm พิอช 7 ที่ความเข้มข้นเปลี่ยนตัวตาม (ก) 0% (ข) 0.2% (ค) 0.4% (ง) 0.8% น้ำหนักโดยน้ำหนัก

จากการทำการทดลองทั้งหมด 3 กรณี โดยกรณีที่หนึ่ง คือทำการทดลองโดยไม่ได้ใช้แผ่นไททาเนียม โคออกไซด์และไม่ได้ถ่ายแสง (Control), กรณีที่สอง คือทำการทดลองโดยใช้แผ่นไททาเนียม โคออกไซด์แต่ไม่ได้ถ่ายแสง ( $\text{TiO}_2$ ) และกรณีสุดท้าย คือทำการทดลองโดยใช้แผ่นไททาเนียม โคออกไซด์ และถ่ายแสง ( $\text{UV/TiO}_2$ ) พบว่าปริมาณไซยาไนด์ที่มีค่าลดลงเมื่อเวลาผ่านไปโดยปริมาณไซยาไนด์ลดลงทั้ง 3 กรณี แต่ในกรณีแรกปริมาณไซยาไนด์ที่ลดลงเนื่องจากกรดออกซิเดชันของออกซิเจน ส่วนในกรณีที่สองนั้นลดลงไปจากการเพียงเล็กน้อยเนื่องจากเกิดการดูดซับของไซยาไนด์บนไททาเนียม โคออกไซด์ ส่วนในกรณีที่สาม เกิดกระบวนการไฟฟ้ากระแสไฟฟ้า ลดลง ความเข้มข้นไซยาไนด์ลดลงมากกว่าทั้งสองกรณี

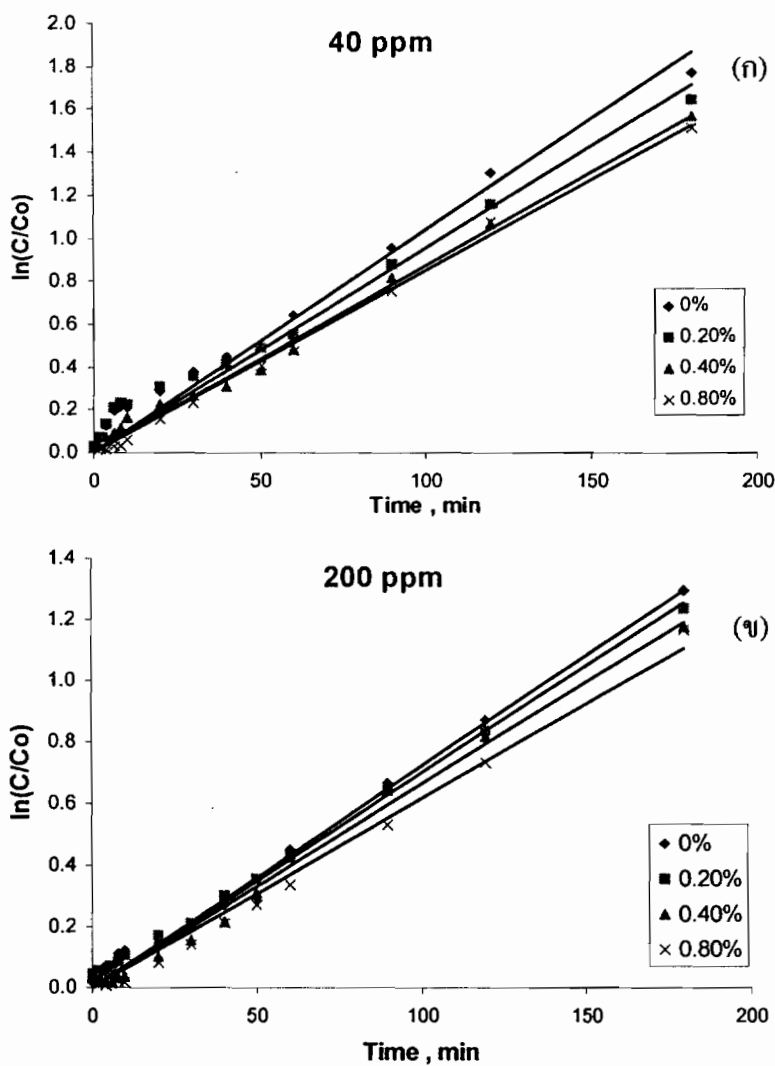
ความสัมพันธ์ของความเข้มข้นไซยาไนด์ที่ลดลงเมื่อเวลาในการทำปฏิกิริยาผ่านไปด้วยกระบวนการไฟ

ໂຄະຕະໄລຊີສທີ່ຄວາມເຂັ້ມຂັ້ນແປ້ງດ່າງໆ ແສດໃນຮູບທີ 4.14



ຮູບທີ 4.14 ຄວາມສັນພັນຮ່ວງ  $C/C_0$  ກັບເວລາດໍາ ໃນການຟື້ນໄຫວ້າໃຫຍ່ໄດ້ອອກໃຫ້ດໍາລັກແສງທີ່  
ຄວາມເຂັ້ມຂັ້ນແປ້ງດ່າງໆ, ທີ່ພື້ອຂ 7 ແລະ ທີ່ຄວາມເຂັ້ມຂັ້ນໄຫຍ່ໃນດັນ (ກ) 40 ppm (ງ) 200 ppm

จากรูปที่ 4.14 พบว่าที่ความเข้มข้นเป็นมาก ความเข้มข้นไชยาไนค์ที่เหลืออยู่มากกว่าที่ความเข้มข้นเป็นน้อย ที่เวลาในการทำปฏิกิริยาเดียวกัน และสามารถนำมาหาความสัมพันธ์ได้ตามสมการที่ 4.11 และนำมาสร้างกราฟ ความสัมพันธ์ระหว่าง  $\ln\left(\frac{C}{C_0}\right)$  กับเวลาได้ดังรูปที่ 4.15 และหาค่าคงที่ของการเปลี่ยนรูปจาก การฉายแสง ( $k_{app}$ ) ได้ดังตารางที่ 4.3



รูปที่ 4.15 ความสัมพันธ์ระหว่าง  $\ln\left(\frac{C}{C_0}\right)$  กับเวลา ที่ความเข้มข้นของเป็นต่างๆ ของความเข้มข้นเริ่มต้นไชยาไนค์ที่ (g) 40 ppm และ (h) 200 ppm

ตารางที่ 4.3 แสดงค่าคงที่ของการเปลี่ยนรูปของการถ่ายแสง ( $k_{app}$ )

|     | $k_{app}$ (1/min) |        |         |        |
|-----|-------------------|--------|---------|--------|
|     | 40 ppm            | $R^2$  | 200 ppm | $R^2$  |
| 0   | 0.0104            | 0.9757 | 0.0072  | 0.9927 |
| 0.2 | 0.0095            | 0.9631 | 0.0070  | 0.9944 |
| 0.4 | 0.0087            | 0.9926 | 0.0066  | 0.9923 |
| 0.8 | 0.0085            | 0.9948 | 0.0061  | 0.9886 |

จากตารางที่ 4.3 พบว่าค่าคงที่ของการเปลี่ยนรูปของการถ่ายแสง ( $k_{app}$ ) มีค่าลดลงเมื่อความเข้มข้นแป้งมีค่าเพิ่มมากขึ้น ทั้งที่พีเอช 40 ppm และ 200 ppm นั่นหมายความว่าการถ่ายของไชยาในค์ด้วยกระบวนการไฟโตคะตะไลซิสมีค่าลดลงเมื่อเมื่อความเข้มข้นแป้งมีค่าเพิ่มขึ้น อาจเนื่องมาจากปริมาณของแป้งที่เพิ่มขึ้นทำให้เกิดการบังแสงยูวีที่ส่งมาข้างแผ่นไฟฟานียม โคอกไชค์ เนื่องจากความเข้มแสงมีผลต่อการกระตุ้นของอิเลคตรอน ซึ่งทำให้ประสิทธิภาพในการถ่ายไชยาในค์ลดลง พบว่าผลที่ได้นั้น สอดคล้องกับผลที่ได้ของ Wuithi (2007) ที่ศึกษาการถ่ายตัวของไชยาในค์ด้วยโอดิโซนที่ความเข้มข้นแป้งต่างๆ พบว่าที่ความเข้มข้นแป้งมากปริมาณการถ่ายของไชยาในค์มีค่าน้อยกว่าที่ความเข้มข้นแป้งน้อย

## บทที่ 5 สรุปและข้อเสนอแนะ

### 5.1 สรุปผลการทดลอง

ศึกษาการกำจัดไชยาในดินน้ำวนกลับในกระบวนการผลิตแป้งมันสำปะหลัง ด้วยกระบวนการฟอโตะไนโตริกไซด์ไทรทาเนียมโดยออกไซด์ โดยศึกษาผลของความเข้มข้นเริ่มต้นของไชยาในดีที่ 10, 20, 40, 100, 200 และ 400 ppm และผลของปริมาณแป้งที่ 0, 0.2, 0.4 และ 0.8 เปลอร์เซนต์โดยน้ำหนักต่อปริมาตร

จากผลการทดลองพบว่าความเข้มข้นเริ่มต้นของไชยาในดีมีผลต่ออัตราการสลายของไชยาในดี โดยที่ความเข้มข้นเริ่มต้นไชยาในดีมาก อัตราการสลายของไชยาในดีจะน้อยกว่าที่ความเริ่มต้นไชยาในดีต่ำ และค่าพีเอชมีผลต่อการสลายของไชยาในดีด้วยเช่นเดียวกัน โดยที่ระดับพีเอชสูง การสลายของไชยาในดี เกิดขึ้นได้มากกว่าที่ระดับพีเอชต่ำกว่า นอกจากนี้การศึกษาผลของปริมาณแป้งที่มีผลต่อการสลายของไชยาในดี พบว่าที่ปริมาณแป้งน้อย การสลายตัวของไชยาในดีเกิดได้มากกว่าที่ปริมาณแป้งในสารละลายน้ำ โดยอัตราการสลายของไชยาในดีสามารถอธิบายได้ด้วยสมการ pseudo first order

### 5.2 ข้อเสนอแนะ

5.2.1 ควรศึกษาเพิ่มเติมถึงความคุ้มค่าทางเศรษฐศาสตร์ของการใช้ปริมาณไทรทาเนียมโดยออกไซด์ให้เหมาะสมเพื่อใช้กำจัดไชยาในดี รวมทั้งศึกษาถึงประสิทธิภาพในการนำไทรทาเนียมโดยออกไซด์กลับมาใช้ใหม่เพื่อก่อให้เกิดความคุ้มค่ามากที่สุด

5.2.2 ประเด็นที่น่าทำวิจัยต่อไปคือ การศึกษาหาสภาวะที่เหมาะสมในการกำจัดไชยาในดีในระบบต่อเนื่อง

5.2.3 ควรศึกษาเพิ่มเติมถึงปัจจัยอื่นๆ ที่สำคัญ เช่น ปริมาณไทรทาเนียมโดยออกไซด์, พื้นที่ผิวของแป้งไทรทาเนียมโดยออกไซด์, ความเข้มแสง, ความขาวคลิ้นที่ใช้ เป็นต้น เพื่ออธิบายผลของกระบวนการฟอโตะไนโตริกไซด์ได้มากขึ้น

## เอกสารอ้างอิง

Balagopalan, C., Padmaja, G., Nanda, S.K. and Moorthy, S.N., 1988, **Cassava in Food, Feed and Industry**, CRC Press Publishers, Florida, pp. 1-29.

Bangna Steel Works LTD., Part., 2000, **Starch Production** [Online], Available: <http://www.bangnasteel/SProd.htm> [2006, August 8].

Botz, M.M., 2001, “Over View of Cyanide Treatment Methods”, **Mining Journal Ltd., London, UK**, pp. 28-30.

Bradbury H., 2005, “Simple Wetting Method to Reduce Cyanogens Content of Cassava Flour”, **Journal of Food Composition and Analysis**, pp. 1-6.

Cassava and Starch Technology Research Unit, 2001, **The Fact of Thai Tapioca Starch: A New Choice for the New Millennium** [Online], Available: <http://www.cassava.org> [2006, August 11].

Chang, H.T., Wu, N.M. and Zhu, F., 2000, “A kinetic model for photocatalytic degradation of organic contaminations in a thin film TiO<sub>2</sub> catalyst”, **Water Research**, Vol. 34, No. 2, pp. 407-416.

Chiang, K., Amal, R. and Tran, T., 2003, “Photocatalytic oxidation of cyanide: kinetic and mechanistic studies”, **Journal of Molecular Catalysis A: Chemical**, Vol.193, pp. 285-297.

Chan, Y.C., Chen, J.N. and Lu, M.C., 2001, “Intermidiate inhibition in the heterogeneous UV-catalysis using a TiO<sub>2</sub> suspension system”, **Chemosphere**, Vol. 45, pp. 29-35.

Cooke, R.D. and Maduagwu, E.N., 1985, “The effect of simple processing on the cyanide content of cassava chips”, **Journal of Food Technology**, Vol.13, pp. 299–306.

Essers, A., Van Der Grift, R.M., Voragen, G.J., 1996, "Cyanogens Removal from Cassava Roots During Sun-Drying", **Food Chemistry**, Vol. 55, No. 4, pp. 319-325

Fujishima, A., Hashimoto, K. and Watanabe, T., 1999, **TiO<sub>2</sub> Photocatalysis Fundamental and Application**, Tokyo, p. 158.

Frank, S.N. and Bard, A.J., 1977, "Heterogeneous Photocatalytic Oxidation of Cyanide and Sulfite in Aqueous Solutions at Semiconductor Powders", **Journal of physical chemistry**, Vol. 81, No. 15.

Frank, S.N. and Bard, A.J., 1977, "Heterogeneous photocatalytic oxidation of cyanide ion in aqueous solutions at TiO<sub>2</sub>", **Journal of the American Chemical Society**, Vol. 99, pp. 303–304.

Henry, R., 1996, **Chemical Water Treatment Principle and Practice**. VCH Publisher Inc.

Heredia J.B.D., Torregrosa, J., Dominguez, J.R. and Peres, J.A., 2001, "Oxidation of p-hydroxybenzoic acid by TiO<sub>2</sub>/UV radiation: comparison and modeling of reaction kinetic", **Journal of Hazardous Materials**, B83, pp. 255-264.

Hernandez-Alonso, M.D., Coronado, J.M., Maira, A.J., Soria, J., Loddo, V. and Augugliaro, V., 2002, "Ozone enhanced activity of aqueous titanium dioxide suspensions for photocatalytic oxidation of free cyanide ions", **Applied Catalysis B: Environmental**, Vol. 39, pp. 257-267.

Herrmann, J.M., 1999, "Heterogeneous photocatalysis: fundamentals and applications to the removal of various types of aqueous pollutants", **Catalysis Today**, Vol. 53, pp. 115-129.

Houas, A., Lachheb, H., Ksibi, M., Elaloui, E., Guillard, C. and Herrmann, J., 2001, "Photocatalytic degradation pathway of methylene blue in water", **Applied Catalysis B: Environmental**, Vol. 31, pp. 145-157.

Kajitvichyanukul, P. and Vatcharenwong, A., 2003, "Effect of pH on Dark Adsorption and Photocatalysis of Chromium (VI) and Thallium (I) in Aqueous Titanium Dioxide Suspension", **2003 International Conference in Advances in Petrochemical and Polymers in the New Millennium**, July 23-25, Le Royal Meridien, Bangkok, Thailand

Kaneko, M. and Okura, I., 2002, **Photocatalysis: science and technology**, Springer, Japan, pp. 29-47.

Kasetsart Agro-Industrial Product Improvement Institute, 1999, **Quality Control of cassava starch processing**, Kasetsart University, pp 30-32.

Konstantinou, I.K. and Albanis, T.A., 2004, "TiO<sub>2</sub>-assisted photocatalytic degradation of azo dyes in aqueous solution: kinetic and mechanistic investigations", **Applied Catalysis B: Environmental**, Vol. 49, pp. 1-14.

Li, Y., Sun S., Ma M., Ouyang Y. and Yan W., 2008, "Kinetic study and model of the photocatalytic degradation of rhodamine B (RhB) by a TiO<sub>2</sub>-coated activated carbon catalyst: Effect of initial RhB content, light intensity and TiO<sub>2</sub> content in the catalyst", **Chemical Engineering Journal**.

Linsebiger, A.L., Lu, G. and Yates Jr., J.T., 1995, "Photocatalysis on TiO<sub>2</sub> surface: Principle, Mechanisms, and Selected results", **Chemical Review**, Vol. 95, pp. 735-758.

O'Brien, G.M., Tatlor, A.J. and Poulter, N.H., 1991, "Improved Enzymatic Assay for Cyanogens in fresh and Processed Cassava", **Journal of Science Food Agriculture**, Vol. 56, No. 3, pp. 227-289.

Piyachomkwan, K., Wanlapatit, S., Chotineeranat, S. and Sriroth, K., 2005, "Transformation and Balance of Cyanogenic Compounds in the Cassava Starch Manufacturing Process", **Starch/Starke**, Vol. 57, pp. 71-78.

Ramamurthy, V. and Schanze, Kirk S. (Editors), "Semiconductor photochemistry and photophysics", New York: Marcel Dekker, 2003, 361 p.

Reutergårdh, L.B., and Langphasuk, M., 1997, "Photocatalytic decolourization of reactive azo dye: A comparison between TiO<sub>2</sub> and CdS Photocatalysis", **Chemosphere**, Vol. 35, pp. 585-596.

Robertson, P.K.J., 1996, "Semiconductor Photocatalysis: An environmentally Acceptable Alternative Production Technique and Effect treatment Process", **Journal of cleaner Product**, Vol.4, pp. 203-292.

Simeonova, F.P., 2004, "Hydrogen Cyanide and Cyanides: Human Health Aspects", **Concise International Chemical Assessment Document**, World Health Organization, Vol. 61, pp. 1-65.

Siritunga, D.S., 2002, "Generation of Acyanogenic Cassava (*Manihot Esculenta* Crants): Transgenic Approaches", **Presented in Partial Fulfillment of the Requirements for the Degree Doctor of Philosophy**, pp. 1-201.

Sriroth, K., 1999, **Starch Technology**, Kasetsart University, Bangkok, pp. 66-86.

Sriroth, K., Piyachomkwan, K., Wanlapatit, S. and Oates, C.G., 2000, "Cassava Starch Technology: The Thai Experience", **Starch/Starke**, Vol. 52, pp. 439-449.

Tang, W.Z. and An, H., 1995, "Photocatalytic Degradation Kinetics and Mechanism of Acid Blue 40 by TiO<sub>2</sub>/UV in Aqueous Solution", **Chemosphere**, Vol. 31, No. 9, pp. 4171-4183.

Thai Tapioca Development Institute, 2007, **About Tapioca [Online]**, Available: <http://www.tapiocathai.org> [2007, September 29].

The Thai Tapioca Starch Association, 2004, **28<sup>th</sup> Anniversary The Thai Tapioca Starch Association**, The Thai Tapioca Starch Association, Bangkok, pp. 37-44.

The Thai Tapioca Starch Association, 2004, **30<sup>th</sup> Anniversary The Thai Tapioca Starch Association**, The Thai Tapioca Starch Association, Bangkok, pp. 48.

จุฬารัตน์ อชาวรัตน์ดาวร, 2546, ความรู้เบื้องต้นเกี่ยวกับไชยาไนค์, กรุงเทพฯ: สำนักพืนฐาน  
กรมอุตสาหกรรมพื้นฐานและการเหมืองแร่, 48 หน้า.

พวงรัตน์ ชิตวิชยานุกูล และอภิชน วัชเรนทร์วงศ์, 2546, "การศึกษาพฤติกรรมการดูดซึบ  
โครเมียม (VI) บนผิวของไททาเนียมไออกไซด์", การประชุมวิชาการสิ่งแวดล้อมแห่งชาติ ครั้ง  
ที่ 2, 22-24 มกราคม, มหาวิทยาลัยขอนแก่น, จ.ขอนแก่น, หน้า 119-128.

**ภาคผนวก ก**  
**หลักการวิเคราะห์**

## ก.1 การวิเคราะห์ปริมาณไซยาไนด์วิธี Enzymatic Method (O'Brien, et al., 1991)

### ก.1.1 การเตรียมสารเคมี เอนไซม์ในการวิเคราะห์ปริมาณไซยาไนด์

#### 1. สารละลายน้ำ (extraction medium)

เตรียมโดยใช้ กรดฟอสฟอริก ความเข้มข้น 0.1 M แล้วปรับปริมาตรด้วยเอทานอลโดยให้มีความเข้มข้นของเอทานอล 25% (ปริมาตร/ปริมาตร)

#### 2. กรดฟอสฟอริก 0.1 M.

เตรียมโดยคุณครดฟอสฟอริก ปริมาตร 6.8 ml แล้วปรับปริมาตรด้วยน้ำกลั่นในขวดปรับปริมาตรให้ได้ปริมาตร 1000 ml

#### 3. ไตรโซเดียมฟอสเฟต 0.1 M

เตรียมโดยบั่งไตรโซเดียมฟอสเฟตปริมาณ 38.0122 กรัม ละลายนในน้ำเกลือขนาด 250 ml โดยใช้น้ำกลั่น จากนั้นปรับปริมาตรเป็น 1 ลิตร ด้วยขวดปรับปริมาตร

#### 4. ฟอสเฟตบัฟเฟอร์ พีเอช 6.0 และ 7.0

เตรียมโดยใช้กรดฟอสฟอริก 0.1 M ผสมกับไตรโซเดียมฟอสเฟต 0.1 M ในสัดส่วน 1:1 แล้วปรับความเป็นกรดค่าโดยกรด ไประดคลอริก และโซเดียมไฮดรอกไซด์ให้ได้ 6.0 และ 7.0

#### 5. โซเดียมไฮดรอกไซด์ 0.2 M

เตรียมโดยบั่งโซเดียมไฮดรอกไซด์ปริมาณ 8 กรัม ละลายนในน้ำเกลือขนาด 250 ml. โดยใช้น้ำกลั่น จากนั้นปรับปริมาตรเป็น 1 ลิตร

#### 6. สารละลายนารามีนที (Chloramine T)

เตรียมโดยบั่งนารามีนที่ปริมาณ 0.5 กรัม ละลายนในน้ำเกลือขนาด 50 ml โดยใช้น้ำกลั่น แล้วปรับปริมาตรเป็น 1 ลิตร

#### 7. สารละลายน้ำฟิริดีน/ไพราโซโลน (Pyridine/Pyrazolone)

เตรียมโดยบั่งบิซฟิริดีน (Bispyrazolone) ปริมาณ 0.2 กรัม และเมทิล-ฟีนิล-ไพราโซโลน (3-methyl-1-phenyl-5-pyrazolone) ปริมาณ 1.0 กรัม แล้วปรับปริมาตรด้วยฟิริดีน (pyridine) เป็น 200 ml. ต้องเตรียมสารละลายนี้ใหม่ทุกครั้งที่วิเคราะห์

#### 8. เอนไซม์ลินามาราส (Linamarase)

เตรียมโดยผสมเอนไซม์ลินามาราสให้ได้ความเข้มข้น 5 unit/ml. โดยใช้สารละลายน 0.1 M. ฟอสเฟตบัฟเฟอร์, พีเอช 6.0

### ก.1.2 วิธีวิเคราะห์ปริมาณไซยาในดี

ปริมาณไซยาในไกลโคลไซด์, ไซยาโนไซคริน และไซโตรเจนไซยาในดี นั้นสามารถตรวจนัดโดยการเปรียบเทียบกับกราฟมาตรฐานโพแทสเซียมไซยาในดีที่ทราบความเข้มข้นต่างๆ ที่วัดค่าการคูดคลีนแสงที่ 620 นาโนเมตร ดังนั้นจึงต้องทำการฟมาตรฐานของโพแทสเซียมไซยาในดีก่อน

#### การเตรียมกราฟมาตรฐานของโพแทสเซียมไซยาในดี

1. เตรียมโพแทสเซียมไซยาในดีความเข้มข้น 0-250  $\mu\text{g ml}^{-1}$  โดยแต่ละความเข้มข้นดูดมา 0.1 ml ลงในหลอดทดลอง
2. เติมสารละลายน้ำฟอสเฟตบัฟเฟอร์ พีเอช 7.0 ปริมาตร 0.4 ml แล้วเขย่าให้เข้ากัน
3. เติมสารละลายน้ำโซเดียมลินามาร์ส ปริมาตร 0.1 ml แล้วเขย่าให้เข้ากับโดยใช้เครื่องเขย่า (vortex mixer)
4. บ่มหลอดตัวอย่างที่อุณหภูมิ 30 °C เป็นเวลา 15 นาที ในอ่างน้ำร้อน (water bath)
5. หลังจากบ่มเสร็จแล้ว หยดปฎิริยา โดยเติมสารละลายน้ำโซเดียมไซโตรอกไซด์ 0.2 M ปริมาตร 0.6 ml แล้วเขย่าให้เข้ากัน
6. เติมสารละลายน้ำฟอสเฟตบัฟเฟอร์ พีเอช 6.0 ปริมาตร 2.8 ml เขย่าให้เข้ากันแล้วเติมสารละลายคลอรามีนที ปริมาตร 0.2 ml เขย่าให้เข้ากัน จากนั้นบ่มหลอดตัวอย่างในน้ำเย็น เป็นเวลา 5 นาที
7. หลังจากครบ 5 นาทีแล้ว เติมสารละลายน้ำโซเดียมไพริดิน/ไพรากโซโลน ปริมาตร 0.8 ml เขย่าให้เข้ากัน
8. บ่มหลอดตัวอย่างไว้ที่อุณหภูมิห้อง เป็นเวลา 90 นาที
9. นำไปวัดค่าการคูดคลีนแสงที่ความยาวคลื่น 620 นาโนเมตร
10. สร้างกราฟมาตรฐานระหว่างความเข้มข้นของโพแทสเซียมไซยาในดีและค่าการคูดคลีนแสงที่ความยาวคลื่น 620 นาโนเมตร และสร้างสมการเส้นตรงที่ผ่านจุดกำหนดของกราฟ อ่านค่าความชัน

#### การวิเคราะห์ปริมาณไซยาในดีทั้งหมดในตัวอย่าง

1. นำสารละลายน้ำฟอสเฟตบัฟเฟอร์ พีเอช 7.0 แล้วเขย่าให้เข้ากัน แล้วกรองแยกเอาส่วนใสตัวยแปล่งกรอง แยกส่วนใสที่สักดิ้นได้ปริมาตร 0.1 ml มาใส่ในหลอดทดลอง
2. เติมฟอสเฟตบัฟเฟอร์ พีเอช 7.0 แล้วเขย่าให้เข้ากัน
3. เติมเอนโซเมตินามาร์สลงไป ปริมาตร 0.1 ml เขย่าให้เข้ากันโดยใช้เครื่องเขย่า หลังจากนั้นบ่มหลอดตัวอย่างที่อุณหภูมิ 30 °C เป็นเวลา 15 นาที

4. หลังจากบ่มเสร็จ เดินสารละลายโซเดียมไนโตรอะไซด์ 0.2 M ปริมาตร 0.6 ml และเขย่าเพื่อหุคปฏิกิริยา เดินเดินฟอสเฟตบัฟเฟอร์ พีเอช 6.0 ปริมาตร 2.8 ml และเดินคลอรามีนที่ปริมาตร 0.2 ml เขย่าให้เข้ากัน แล้วแช่น้ำเย็นนาน 5 นาที
5. เมื่อผ่านไป 5 นาทีแล้ว เดินไฟริดิน/ไฟราโซโลน ปริมาตร 0.8 ml เขย่าให้เข้ากัน
6. บ่มหลอดตัวอย่างไว้ที่อุณหภูมิห้อง เป็นเวลา 90 นาที
7. นำไปวัดค่าการดูดกลืนแสงที่ความยาวคลื่น 620 นาโนเมตร
8. นำค่าที่ได้ไปคำนวณหาปริมาณไชยาในตัวอย่าง

### ก.1.3 การคำนวณหาปริมาณไชยาในตัวอย่าง

ปริมาณไชยาในตัวอย่างทั้งหมดในตัวอย่างสามารถคำนวณหาได้จากสูตร

$$\mu\text{g/g CN} \text{ in wet sample} = \frac{\text{Abs.}@620\text{nm.} \times \text{Extracting solution.(ml)}}{\text{slope} \times \text{weight(g)}}$$

$$\mu\text{g/g CN} \text{ in dry sample} = \frac{100 \times \mu\text{g/g CN in wet sample}}{(100 - \% \text{ moisture})}$$

## ก.2 การวิเคราะห์ปริมาณแป้งหรือของแข็งในสารละลายโดยวิธี Weighting

### method

#### ก.2.1 เครื่องมือ

- moisture can
- เตาอบ (oven)
- เครื่องซั่ง

#### ก.2.2 วิธีวิเคราะห์

1. ล้างทำความสะอาดและอบ moisture can ให้แห้ง
2. ชั่งน้ำหนักของ moisture can เป็นครั้งๆ แล้วบันทึกไว้ น้ำหนักไว้
3. จากนั้น ชั่งน้ำหนักของถ้วยแห้งที่ใส่ตัวอย่างลงไป บันทึกน้ำหนักไว้
4. นำถ้วยนั้นไปอบที่อุณหภูมิ 55-60 °C เป็นเวลา ชั่วโมงหรือตลอดทั้งคืน
5. นำมาวิเคราะห์น้ำหนักที่หายไปและคำนวณอุณหภูมิเป็นความเสื่อมขึ้น โดยนำน้ำหนัก

**ภาคผนวก ช**

**ผลการทดลอง**

### ก.1 ผลการทดลองเพื่อศึกษาอิทธิพลการ添加ของไนโตรไซด์ต่อกิจกรรมของไนโตรไซด์รีมตันและความเข้มข้นแบปร์เจตางๆ

ตารางที่ ก.1 ความเข้มข้นไนโตรไซด์ที่ต้องการเพื่อการลดการ添加ของไนโตรไซด์ต่อกิจกรรมของไนโตรไซด์รีมตันเพื่อรักษาความเข้มข้นไนโตรไซด์ในครั้งต่อๆ ที่ความเข้มข้นเริ่มต้น “ใช้ในครั้งต่างๆ 10, 20, 40, 100, 200 และ 400 ppm พื้นฐาน 9

| Time | 10 ppm       |              |              | 20 ppm       |              |              |
|------|--------------|--------------|--------------|--------------|--------------|--------------|
|      | control      | TiO2         | UV/TiO2      | control      | TiO2         | UV/TiO2      |
| 0    | 10.06 ± 0.40 | 11.02 ± 0.08 | 10.90 ± 0.51 | 21.06 ± 0.89 | 20.89 ± 1.44 | 21.10 ± 0.52 |
| 2    | 9.22 ± 0.71  | 9.38 ± 0.42  | 10.57 ± 0.81 | 20.78 ± 1.30 | 19.87 ± 0.57 | 19.89 ± 0.59 |
| 4    | 8.78 ± 0.61  | 9.01 ± 0.51  | 9.49 ± 0.89  | 20.64 ± 0.35 | 18.64 ± 0.71 | 20.42 ± 0.75 |
| 6    | 8.50 ± 0.18  | 8.47 ± 0.35  | 9.92 ± 0.51  | 19.35 ± 0.13 | 20.73 ± 0.28 | 18.67 ± 0.65 |
| 8    | 9.16 ± 0.35  | 8.59 ± 0.82  | 8.84 ± 0.66  | 21.56 ± 0.71 | 19.06 ± 0.15 | 16.13 ± 0.69 |
| 10   | 7.95 ± 0.37  | 7.74 ± 0.57  | 8.28 ± 0.53  | 20.91 ± 0.08 | 20.50 ± 0.27 | 16.36 ± 0.82 |
| 20   | 8.09 ± 0.51  | 7.04 ± 0.11  | 5.91 ± 0.81  | 20.16 ± 0.10 | 18.71 ± 0.85 | 12.45 ± 0.82 |
| 30   | 7.26 ± 0.40  | 6.79 ± 0.58  | 4.93 ± 0.59  | 18.56 ± 0.08 | 18.63 ± 0.30 | 9.91 ± 0.95  |
| 40   | 7.01 ± 0.16  | 7.03 ± 0.28  | 3.90 ± 0.54  | 18.46 ± 0.55 | 17.95 ± 0.47 | 9.97 ± 0.88  |
| 50   | 6.88 ± 0.51  | 6.97 ± 0.25  | 3.54 ± 0.49  | 17.06 ± 0.47 | 17.62 ± 0.66 | 7.86 ± 1.03  |
| 60   | 6.94 ± 0.25  | 6.54 ± 0.59  | 2.69 ± 0.74  | 17.05 ± 0.40 | 17.14 ± 0.18 | 6.74 ± 0.74  |
| 90   | 7.17 ± 0.23  | 6.23 ± 0.14  | 1.77 ± 0.76  | 18.13 ± 0.59 | 16.24 ± 0.16 | 4.31 ± 0.91  |
| 120  | 6.75 ± 0.31  | 6.47 ± 0.20  | 1.02 ± 0.52  | 17.35 ± 0.42 | 16.39 ± 0.06 | 3.02 ± 0.69  |
| 180  | 6.66 ± 0.24  | 6.32 ± 0.27  | 0.39 ± 0.25  | 16.45 ± 0.62 | 15.78 ± 0.31 | 1.41 ± 0.45  |

| Time<br>(分) | 40 ppm       |                  |                     | 100 ppm      |                  |                     |
|-------------|--------------|------------------|---------------------|--------------|------------------|---------------------|
|             | control      | TiO <sub>2</sub> | UV/TiO <sub>2</sub> | control      | TiO <sub>2</sub> | UV/TiO <sub>2</sub> |
| 0           | 40.60 ± 0.91 | 41.20 ± 0.42     | 39.43 ± 0.89        | 99.55 ± 0.92 | 105.37 ± 1.82    | 100.45 ± 0.52       |
| 2           | 38.06 ± 0.37 | 38.63 ± 0.26     | 36.76 ± 0.81        | 95.56 ± 1.38 | 97.64 ± 1.58     | 84.10 ± 0.65        |
| 4           | 37.33 ± 1.03 | 37.91 ± 0.74     | 33.56 ± 0.91        | 98.40 ± 0.98 | 98.53 ± 0.90     | 83.90 ± 0.74        |
| 6           | 37.26 ± 1.03 | 39.48 ± 0.41     | 29.87 ± 0.69        | 97.55 ± 1.20 | 95.06 ± 1.47     | 84.80 ± 0.44        |
| 8           | 36.49 ± 0.12 | 36.82 ± 0.44     | 27.21 ± 0.74        | 95.85 ± 0.21 | 94.18 ± 0.33     | 73.65 ± 0.96        |
| 10          | 36.78 ± 0.96 | 37.06 ± 0.41     | 27.91 ± 0.89        | 93.44 ± 1.19 | 93.80 ± 1.28     | 73.00 ± 1.02        |
| 20          | 36.22 ± 1.02 | 35.27 ± 0.35     | 25.54 ± 0.83        | 96.80 ± 1.44 | 94.17 ± 0.08     | 70.61 ± 0.66        |
| 30          | 33.52 ± 1.00 | 33.05 ± 0.52     | 24.17 ± 0.52        | 94.65 ± 0.59 | 92.79 ± 1.10     | 64.43 ± 0.69        |
| 40          | 29.54 ± 0.79 | 31.10 ± 0.08     | 21.80 ± 0.64        | 95.41 ± 1.14 | 87.51 ± 0.72     | 58.05 ± 0.75        |
| 50          | 29.71 ± 0.58 | 29.30 ± 0.76     | 18.35 ± 0.81        | 87.25 ± 1.07 | 83.77 ± 0.20     | 51.39 ± 0.68        |
| 60          | 29.30 ± 0.32 | 29.41 ± 0.65     | 15.45 ± 0.86        | 79.85 ± 0.49 | 80.04 ± 0.48     | 45.85 ± 0.72        |
| 90          | 29.13 ± 0.68 | 28.25 ± 0.64     | 10.28 ± 1.02        | 79.72 ± 0.54 | 74.29 ± 0.56     | 35.55 ± 0.89        |
| 120         | 28.50 ± 0.37 | 26.37 ± 0.64     | 7.34 ± 0.91         | 75.73 ± 0.74 | 74.51 ± 0.14     | 27.35 ± 0.48        |
| 180         | 28.16 ± 0.35 | 25.65 ± 0.37     | 4.16 ± 0.68         | 73.94 ± 0.48 | 72.19 ± 0.19     | 15.02 ± 0.55        |

(ទៅ)

| Time | 200 ppm       |               |               | 400 ppm       |               |               |
|------|---------------|---------------|---------------|---------------|---------------|---------------|
|      | control       | TiO2          | UV/TiO2       | control       | TiO2          | UV/TiO2       |
| 0    | 211.40 ± 0.66 | 207.36 ± 0.30 | 204.80 ± 0.98 | 408.12 ± 0.34 | 410.30 ± 0.44 | 389.57 ± 0.79 |
| 2    | 191.15 ± 0.81 | 200.36 ± 0.13 | 187.01 ± 0.68 | 386.06 ± 0.20 | 392.10 ± 0.31 | 340.61 ± 0.86 |
| 4    | 198.35 ± 0.33 | 196.41 ± 0.17 | 178.35 ± 0.89 | 391.20 ± 0.13 | 376.24 ± 0.48 | 337.63 ± 0.40 |
| 6    | 187.36 ± 0.58 | 201.17 ± 0.63 | 182.40 ± 0.72 | 357.01 ± 0.52 | 380.19 ± 0.28 | 338.27 ± 1.02 |
| 8    | 176.54 ± 0.17 | 183.84 ± 0.76 | 168.20 ± 0.81 | 329.42 ± 0.33 | 331.52 ± 0.25 | 302.66 ± 0.81 |
| 10   | 164.37 ± 0.31 | 159.75 ± 0.49 | 156.13 ± 0.61 | 312.05 ± 0.44 | 308.79 ± 0.13 | 297.41 ± 0.83 |
| 20   | 167.32 ± 0.48 | 151.92 ± 0.21 | 143.80 ± 0.83 | 308.69 ± 0.24 | 286.74 ± 0.16 | 275.10 ± 0.89 |
| 30   | 169.64 ± 0.49 | 160.04 ± 0.10 | 129.75 ± 0.86 | 311.37 ± 0.13 | 297.91 ± 0.44 | 260.37 ± 0.66 |
| 40   | 167.30 ± 0.30 | 147.30 ± 0.33 | 118.92 ± 0.61 | 301.00 ± 0.27 | 299.04 ± 0.72 | 238.42 ± 0.55 |
| 50   | 155.30 ± 0.96 | 147.14 ± 0.37 | 106.41 ± 0.98 | 297.45 ± 0.16 | 281.00 ± 0.33 | 211.38 ± 0.86 |
| 60   | 150.28 ± 0.10 | 140.62 ± 0.25 | 97.79 ± 1.03  | 293.11 ± 0.34 | 273.47 ± 0.21 | 197.05 ± 1.02 |
| 90   | 147.31 ± 0.33 | 141.03 ± 0.44 | 73.53 ± 0.96  | 265.20 ± 0.21 | 262.33 ± 0.14 | 148.31 ± 1.16 |
| 120  | 140.12 ± 0.21 | 138.87 ± 0.76 | 55.48 ± 0.74  | 271.50 ± 0.11 | 258.24 ± 0.13 | 121.12 ± 1.03 |
| 180  | 132.79 ± 0.20 | 129.43 ± 0.16 | 34.82 ± 0.58  | 270.13 ± 0.18 | 251.80 ± 0.17 | 71.38 ± 0.95  |

ตารางที่ บ.2 ความเสี่ยงที่ “ชยา” นิดพิเศษ ได้รับสถานการณ์ที่ความเสี่ยงที่เริ่มนั้น “ชยา” ในต่างๆ 10, 20, 40, 100, 200 และ 400 ppm พื้นที่ 7

| Time | 10 ppm       |                  |                     | 20 ppm       |                  |                     |
|------|--------------|------------------|---------------------|--------------|------------------|---------------------|
|      | control      | TiO <sub>2</sub> | UV/TiO <sub>2</sub> | control      | TiO <sub>2</sub> | UV/TiO <sub>2</sub> |
| 0    | 11.04 ± 1.05 | 10.23 ± 1.19     | 10.84 ± 0.79        | 20.63 ± 0.92 | 21.07 ± 1.10     | 20.48 ± 1.19        |
| 2    | 10.45 ± 0.92 | 9.43 ± 0.62      | 10.26 ± 0.49        | 20.17 ± 0.62 | 19.87 ± 0.93     | 19.23 ± 0.79        |
| 4    | 9.96 ± 0.76  | 9.36 ± 0.75      | 9.28 ± 0.82         | 19.64 ± 1.05 | 18.64 ± 0.44     | 18.57 ± 0.92        |
| 6    | 9.73 ± 0.81  | 9.39 ± 0.66      | 9.41 ± 0.52         | 19.45 ± 1.19 | 18.73 ± 0.81     | 17.89 ± 0.58        |
| 8    | 9.89 ± 0.59  | 9.18 ± 0.58      | 8.97 ± 1.12         | 19.53 ± 0.79 | 19.06 ± 0.49     | 17.56 ± 1.12        |
| 10   | 9.63 ± 0.86  | 8.83 ± 0.41      | 8.13 ± 0.58         | 18.21 ± 0.75 | 18.09 ± 0.79     | 16.94 ± 0.79        |
| 20   | 9.21 ± 0.61  | 8.52 ± 0.49      | 6.82 ± 0.65         | 17.89 ± 0.92 | 17.86 ± 0.75     | 13.85 ± 0.48        |
| 30   | 9.06 ± 0.83  | 8.61 ± 0.75      | 5.93 ± 0.61         | 17.34 ± 0.62 | 17.23 ± 0.82     | 11.97 ± 0.95        |
| 40   | 8.87 ± 1.09  | 8.41 ± 0.86      | 5.07 ± 0.95         | 17.11 ± 0.49 | 17.02 ± 1.05     | 10.52 ± 0.49        |
| 50   | 8.71 ± 0.51  | 8.24 ± 0.75      | 4.45 ± 0.48         | 16.74 ± 0.86 | 16.51 ± 0.98     | 9.17 ± 1.05         |
| 60   | 8.56 ± 0.65  | 7.89 ± 0.44      | 3.74 ± 0.81         | 16.82 ± 0.57 | 16.04 ± 0.81     | 8.06 ± 0.75         |
| 90   | 8.34 ± 0.44  | 7.65 ± 0.57      | 2.35 ± 0.52         | 16.37 ± 0.52 | 15.41 ± 0.76     | 5.08 ± 0.48         |
| 120  | 8.07 ± 0.59  | 7.53 ± 0.34      | 1.39 ± 0.41         | 16.05 ± 0.65 | 15.23 ± 0.45     | 3.24 ± 0.86         |
| 180  | 7.82 ± 0.40  | 7.41 ± 0.41      | 0.68 ± 0.48         | 15.85 ± 0.55 | 15.02 ± 0.51     | 1.62 ± 0.57         |

(ต่อ)

| Time | 40 ppm       |                  |                     | 100 ppm       |                  |                     |
|------|--------------|------------------|---------------------|---------------|------------------|---------------------|
|      | control      | TiO <sub>2</sub> | UV/TiO <sub>2</sub> | control       | TiO <sub>2</sub> | UV/TiO <sub>2</sub> |
| 0    | 41.31 ± 1.05 | 40.48 ± 1.10     | 40.22 ± 1.07        | 102.37 ± 1.05 | 103.65 ± 1.05    | 100.45 ± 0.93       |
| 2    | 39.42 ± 0.44 | 39.02 ± 0.95     | 36.78 ± 0.92        | 98.76 ± 0.44  | 98.56 ± 0.44     | 84.23 ± 0.79        |
| 4    | 38.13 ± 0.92 | 37.76 ± 1.22     | 33.61 ± 0.79        | 96.49 ± 0.92  | 98.74 ± 0.92     | 80.92 ± 0.44        |
| 6    | 37.54 ± 0.65 | 37.85 ± 1.07     | 30.97 ± 0.69        | 97.93 ± 0.65  | 96.86 ± 0.92     | 83.19 ± 0.95        |
| 8    | 36.52 ± 0.92 | 36.69 ± 0.96     | 29.43 ± 0.82        | 96.81 ± 0.92  | 94.32 ± 1.15     | 77.27 ± 0.92        |
| 10   | 36.58 ± 0.75 | 34.87 ± 0.81     | 29.69 ± 1.07        | 95.13 ± 0.75  | 91.45 ± 0.79     | 75.12 ± 0.44        |
| 20   | 35.22 ± 0.95 | 35.21 ± 0.95     | 26.46 ± 1.02        | 96.05 ± 0.48  | 92.12 ± 0.92     | 70.60 ± 0.49        |
| 30   | 34.51 ± 0.49 | 34.02 ± 0.68     | 23.73 ± 0.92        | 92.97 ± 0.95  | 89.87 ± 0.86     | 63.54 ± 1.12        |
| 40   | 33.46 ± 1.05 | 32.09 ± 0.88     | 21.35 ± 0.88        | 90.63 ± 0.75  | 87.71 ± 0.41     | 58.35 ± 0.92        |
| 50   | 32.19 ± 1.09 | 31.12 ± 1.00     | 19.64 ± 1.15        | 87.75 ± 0.48  | 84.36 ± 0.58     | 54.03 ± 0.96        |
| 60   | 31.91 ± 0.86 | 29.88 ± 0.72     | 16.85 ± 0.82        | 84.34 ± 0.86  | 81.78 ± 0.75     | 48.87 ± 0.82        |
| 90   | 31.06 ± 0.95 | 29.11 ± 0.92     | 11.94 ± 0.92        | 81.86 ± 0.98  | 76.82 ± 0.79     | 37.65 ± 0.92        |
| 120  | 30.53 ± 0.59 | 28.03 ± 0.76     | 8.27 ± 0.66         | 79.02 ± 0.49  | 73.67 ± 0.57     | 29.08 ± 0.66        |
| 180  | 29.61 ± 0.58 | 27.64 ± 0.88     | 5.04 ± 0.72         | 76.84 ± 0.62  | 71.24 ± 0.66     | 18.03 ± 0.49        |

(†)

| Time | 200 ppm       |                  |                     | 400 ppm       |                  |                     |
|------|---------------|------------------|---------------------|---------------|------------------|---------------------|
|      | control       | TiO <sub>2</sub> | UV/TiO <sub>2</sub> | control       | TiO <sub>2</sub> | UV/TiO <sub>2</sub> |
| 0    | 209.60 ± 1.09 | 201.78 ± 1.12    | 205.39 ± 0.92       | 400.67 ± 1.12 | 403.87 ± 0.96    | 399.76 ± 0.92       |
| 2    | 196.23 ± 0.86 | 199.84 ± 0.79    | 189.32 ± 0.95       | 392.14 ± 0.92 | 384.12 ± 0.82    | 366.42 ± 0.49       |
| 4    | 194.85 ± 0.95 | 197.21 ± 0.49    | 181.68 ± 0.86       | 384.42 ± 0.96 | 372.31 ± 0.92    | 352.16 ± 1.05       |
| 6    | 189.74 ± 0.49 | 198.54 ± 1.12    | 182.14 ± 1.12       | 374.39 ± 0.82 | 373.47 ± 1.10    | 353.27 ± 0.82       |
| 8    | 191.17 ± 1.05 | 185.93 ± 0.92    | 170.85 ± 0.88       | 358.72 ± 0.92 | 349.32 ± 0.92    | 328.45 ± 1.12       |
| 10   | 186.69 ± 0.49 | 181.86 ± 0.96    | 165.48 ± 0.92       | 337.68 ± 1.15 | 330.86 ± 1.05    | 325.32 ± 0.98       |
| 20   | 177.75 ± 1.05 | 171.64 ± 0.82    | 153.42 ± 1.12       | 323.74 ± 0.92 | 314.64 ± 0.92    | 298.43 ± 0.79       |
| 30   | 170.46 ± 0.88 | 160.37 ± 0.92    | 139.00 ± 0.79       | 325.07 ± 1.05 | 303.21 ± 0.88    | 286.20 ± 0.92       |
| 40   | 168.03 ± 0.65 | 157.48 ± 1.22    | 128.26 ± 0.49       | 321.12 ± 0.92 | 298.89 ± 0.92    | 254.52 ± 0.48       |
| 50   | 166.61 ± 0.92 | 154.04 ± 0.92    | 123.94 ± 1.12       | 311.87 ± 0.88 | 287.94 ± 0.59    | 242.60 ± 0.44       |
| 60   | 163.17 ± 0.75 | 149.72 ± 0.65    | 103.79 ± 0.92       | 303.11 ± 0.65 | 281.35 ± 0.76    | 218.53 ± 0.62       |
| 90   | 159.48 ± 0.48 | 146.63 ± 0.44    | 81.87 ± 0.62        | 293.72 ± 0.45 | 277.73 ± 0.66    | 171.81 ± 0.45       |
| 120  | 154.53 ± 0.61 | 145.74 ± 0.81    | 64.86 ± 0.49        | 287.35 ± 0.86 | 271.24 ± 0.49    | 133.24 ± 0.66       |
| 180  | 150.36 ± 0.62 | 141.13 ± 0.57    | 41.12 ± 0.62        | 284.86 ± 0.59 | 269.87 ± 0.57    | 87.67 ± 0.61        |

ตารางที่ บ.3 ความเข้มข้นน้ำยาในตัวตัวที่วัดได้ที่ความเข้มข้นน้ำยาในตัวรีมตันที่ 40 และ 200 ppm ที่ความเข้มข้นเพียง 0.2% โดยหนักต่อปริมาตร

| Time | 40 ppm       |              |              | 200 ppm       |               |               |
|------|--------------|--------------|--------------|---------------|---------------|---------------|
|      | control      | TiO2         | UV/TiO2      | control       | TiO2          | UV/TiO2       |
| 0    | 40.96 ± 0.86 | 40.84 ± 0.92 | 39.76 ± 0.86 | 210.50 ± 1.09 | 204.57 ± 0.83 | 201.10 ± 1.09 |
| 2    | 39.74 ± 0.41 | 39.83 ± 0.62 | 37.13 ± 0.41 | 203.69 ± 0.86 | 200.10 ± 0.75 | 192.76 ± 0.86 |
| 4    | 38.73 ± 0.58 | 38.84 ± 0.49 | 33.90 ± 0.58 | 199.60 ± 0.95 | 197.81 ± 0.61 | 189.43 ± 0.95 |
| 6    | 38.40 ± 0.52 | 38.67 ± 0.62 | 31.23 ± 0.75 | 197.55 ± 0.49 | 194.86 ± 0.62 | 184.14 ± 0.49 |
| 8    | 37.51 ± 1.19 | 37.76 ± 0.93 | 29.78 ± 0.79 | 194.86 ± 1.05 | 191.89 ± 0.82 | 179.40 ± 1.05 |
| 10   | 37.68 ± 0.81 | 36.97 ± 0.79 | 30.11 ± 0.79 | 192.53 ± 0.49 | 187.81 ± 0.95 | 173.61 ± 0.49 |
| 20   | 36.72 ± 0.75 | 36.24 ± 0.44 | 27.03 ± 0.65 | 189.54 ± 0.51 | 183.78 ± 0.83 | 160.01 ± 1.05 |
| 30   | 35.02 ± 0.66 | 34.54 ± 0.81 | 24.56 ± 0.44 | 186.05 ± 0.75 | 180.21 ± 0.65 | 151.00 ± 0.88 |
| 40   | 34.50 ± 0.79 | 32.76 ± 0.57 | 22.94 ± 0.81 | 183.67 ± 0.48 | 177.39 ± 0.44 | 136.26 ± 0.88 |
| 50   | 32.95 ± 0.65 | 31.54 ± 0.81 | 20.20 ± 0.57 | 179.96 ± 0.86 | 173.59 ± 0.81 | 125.94 ± 0.75 |
| 60   | 31.61 ± 0.44 | 30.91 ± 0.81 | 18.20 ± 0.81 | 174.73 ± 0.98 | 170.17 ± 0.57 | 113.75 ± 0.65 |
| 90   | 31.10 ± 0.81 | 29.86 ± 0.66 | 12.96 ± 0.75 | 168.40 ± 1.05 | 164.83 ± 0.81 | 88.59 ± 0.45  |
| 120  | 29.52 ± 0.57 | 28.34 ± 0.52 | 9.25 ± 0.41  | 161.33 ± 0.65 | 159.31 ± 0.75 | 70.10 ± 0.86  |
| 180  | 28.89 ± 0.49 | 27.83 ± 0.51 | 5.59 ± 0.48  | 156.58 ± 0.44 | 152.28 ± 0.49 | 45.56 ± 0.59  |

ตารางที่ ๔ ความเข้มข้นไธ亚โนไดทีกัวมเมิร์ฟันไธบานินต์วัดได้ที่ความเข้มข้นไธบานินต์ 40 และ 200 ppm ที่ความเข้มข้นเป็น 0.4% โดยหนานนักต่ำปริมาณตร

| Time | 40 ppm       |                  |                     | 200 ppm       |                  |                     |
|------|--------------|------------------|---------------------|---------------|------------------|---------------------|
|      | control      | TiO <sub>2</sub> | UV/TiO <sub>2</sub> | control       | TiO <sub>2</sub> | UV/TiO <sub>2</sub> |
| 0    | 41.13 ± 1.09 | 40.66 ± 1.19     | 40.32 ± 0.81        | 210.05 ± 1.12 | 203.18 ± 0.86    | 202.16 ± 1.09       |
| 2    | 39.58 ± 0.86 | 39.42 ± 0.62     | 38.61 ± 0.57        | 199.96 ± 0.79 | 199.97 ± 0.41    | 196.91 ± 0.86       |
| 4    | 38.43 ± 0.95 | 38.30 ± 0.75     | 35.86 ± 0.81        | 197.23 ± 0.49 | 197.51 ± 0.58    | 193.71 ± 0.95       |
| 6    | 37.97 ± 0.49 | 38.26 ± 0.66     | 34.67 ± 0.75        | 193.65 ± 1.12 | 196.70 ± 0.75    | 190.47 ± 0.49       |
| 8    | 37.01 ± 1.05 | 37.22 ± 0.58     | 33.19 ± 0.86        | 193.01 ± 0.92 | 188.91 ± 0.79    | 187.43 ± 1.05       |
| 10   | 37.13 ± 0.49 | 35.92 ± 0.41     | 31.54 ± 0.72        | 189.61 ± 0.96 | 184.83 ± 0.79    | 182.92 ± 0.49       |
| 20   | 35.97 ± 1.05 | 35.73 ± 0.49     | 28.87 ± 0.82        | 183.64 ± 0.82 | 177.71 ± 0.75    | 166.48 ± 1.05       |
| 30   | 34.76 ± 0.88 | 34.28 ± 0.75     | 26.61 ± 0.86        | 178.26 ± 0.92 | 170.29 ± 0.81    | 152.30 ± 0.88       |
| 40   | 33.98 ± 0.88 | 32.43 ± 0.86     | 24.93 ± 0.75        | 175.85 ± 0.72 | 167.44 ± 1.07    | 141.76 ± 0.88       |
| 50   | 32.57 ± 0.75 | 31.33 ± 0.75     | 22.16 ± 0.82        | 173.28 ± 0.92 | 163.82 ± 0.75    | 127.03 ± 0.75       |
| 60   | 31.76 ± 0.41 | 30.40 ± 0.44     | 19.64 ± 0.75        | 168.95 ± 1.05 | 159.95 ± 0.79    | 110.28 ± 0.41       |
| 90   | 31.08 ± 0.44 | 29.49 ± 0.52     | 13.72 ± 0.65        | 163.94 ± 0.49 | 155.73 ± 0.44    | 86.31 ± 0.92        |
| 120  | 30.02 ± 0.81 | 28.19 ± 0.52     | 10.36 ± 0.49        | 157.93 ± 0.66 | 152.52 ± 0.49    | 69.84 ± 0.65        |
| 180  | 29.25 ± 0.57 | 27.74 ± 0.76     | 6.11 ± 0.44         | 153.47 ± 0.52 | 146.71 ± 0.68    | 47.42 ± 0.51        |

ตารางที่ บ.5 ความตื้นชั้น "ชูปะโน" ได้ทิ่วความตื้นชั้น "ชูปะโน" ที่ความตื้นชั้นเป็น 0.8% โดยนำหัวน้ำที่อยู่ในบริเวณ

| Time | 40 ppm       |              |              | 200 ppm       |               |               |
|------|--------------|--------------|--------------|---------------|---------------|---------------|
|      | control      | TiO2         | UV/TiO2      | control       | TiO2          | UV/TiO2       |
| 0    | 41.04 ± 0.92 | 40.75 ± 0.59 | 39.94 ± 0.86 | 210.28 ± 0.83 | 203.87 ± 0.93 | 201.53 ± 0.81 |
| 2    | 39.66 ± 0.62 | 39.62 ± 0.58 | 39.04 ± 0.41 | 201.83 ± 0.75 | 200.04 ± 0.75 | 199.33 ± 0.66 |
| 4    | 38.58 ± 0.49 | 38.57 ± 1.12 | 38.12 ± 0.58 | 198.41 ± 0.61 | 197.66 ± 0.48 | 197.08 ± 0.52 |
| 6    | 38.19 ± 0.62 | 38.46 ± 0.79 | 37.03 ± 0.75 | 195.60 ± 0.62 | 195.78 ± 0.86 | 193.85 ± 0.91 |
| 8    | 37.26 ± 0.93 | 37.49 ± 0.49 | 36.22 ± 0.79 | 193.93 ± 0.82 | 190.40 ± 0.98 | 190.01 ± 0.81 |
| 10   | 37.41 ± 0.79 | 36.44 ± 1.12 | 35.45 ± 0.79 | 191.07 ± 0.95 | 186.32 ± 1.05 | 187.86 ± 0.58 |
| 20   | 36.35 ± 0.44 | 35.98 ± 0.92 | 31.24 ± 0.75 | 186.59 ± 0.49 | 180.75 ± 0.95 | 172.39 ± 0.93 |
| 30   | 34.89 ± 0.95 | 34.41 ± 0.96 | 27.73 ± 0.81 | 182.15 ± 0.68 | 175.25 ± 1.00 | 158.12 ± 0.79 |
| 40   | 34.24 ± 0.92 | 32.59 ± 0.82 | 22.89 ± 1.07 | 179.76 ± 0.92 | 172.41 ± 0.58 | 146.03 ± 0.69 |
| 50   | 32.76 ± 0.44 | 31.44 ± 0.92 | 21.91 ± 0.75 | 176.62 ± 0.95 | 168.70 ± 0.48 | 134.68 ± 0.65 |
| 60   | 31.68 ± 0.44 | 30.65 ± 1.15 | 19.68 ± 0.79 | 171.84 ± 0.86 | 165.06 ± 0.58 | 123.07 ± 0.92 |
| 90   | 31.09 ± 0.79 | 29.67 ± 0.92 | 14.63 ± 0.44 | 166.17 ± 1.12 | 160.28 ± 0.96 | 97.81 ± 0.52  |
| 120  | 29.77 ± 0.86 | 28.26 ± 1.05 | 10.17 ± 0.49 | 159.63 ± 0.88 | 155.91 ± 0.49 | 76.86 ± 0.64  |
| 180  | 29.07 ± 0.79 | 27.78 ± 0.92 | 6.41 ± 0.82  | 155.02 ± 0.64 | 149.49 ± 0.64 | 48.45 ± 0.55  |

**ข.2 ผลของปริมาณไฮยาไนด์ที่ลดลงโดยคำนวณจากการสมการเปรียบเทียบกับผลที่ได้จากการทดลองจริง**

โดยปริมาณไฮยาไนด์ที่ลดลงสามรถคำนวณได้จากสมการ

$$r = \frac{0.015C}{1 + 0.0066C_o}$$

ที่ความเข้มข้นไฮยาไนด์เริ่มต้น 200 ppm

$$r = \frac{0.015C}{2.3149}$$

ตารางที่ ข.6 เปรียบเทียบค่าที่ได้จากการคำนวณกับค่าที่ได้จากการทดลองจริงที่ความเข้มข้นไฮยาไนด์เริ่มต้น 200 ppm

| Time                                  | C (ppm) |        | อัตราลด (ppm/min) |      | Experiment (ppm) |        | sum square |        |
|---------------------------------------|---------|--------|-------------------|------|------------------|--------|------------|--------|
|                                       | 7       | 9      | 7                 | 9    | 7                | 9      | 7          | 9      |
| 0                                     | 200.00  | 200.00 | 1.28              | 1.28 | 195.98           | 193.76 | 16.14      | 38.99  |
| 2                                     | 197.43  | 197.43 | 1.27              | 1.27 | 192.96           | 203.09 | 20.05      | 31.94  |
| 4                                     | 194.90  | 194.90 | 1.25              | 1.25 | 186.48           | 186.89 | 70.91      | 64.17  |
| 6                                     | 192.40  | 192.40 | 1.23              | 1.23 | 191.99           | 193.64 | 0.17       | 1.53   |
| 8                                     | 189.94  | 189.94 | 1.22              | 1.22 | 178.74           | 191.68 | 125.30     | 3.06   |
| 10                                    | 187.50  | 187.50 | 1.20              | 1.20 | 177.28           | 188.76 | 104.48     | 1.58   |
| 20                                    | 175.48  | 175.48 | 1.13              | 1.13 | 172.62           | 165.91 | 8.13       | 91.50  |
| 30                                    | 164.22  | 164.22 | 1.05              | 1.05 | 163.09           | 149.43 | 1.29       | 218.69 |
| 40                                    | 153.69  | 153.69 | 0.99              | 0.99 | 152.66           | 137.38 | 1.06       | 265.99 |
| 50                                    | 143.84  | 143.84 | 0.92              | 0.92 | 148.78           | 137.04 | 24.44      | 46.20  |
| 60                                    | 134.61  | 134.61 | 0.86              | 0.86 | 127.22           | 127.48 | 54.68      | 50.83  |
| 90                                    | 108.71  | 108.71 | 0.70              | 0.70 | 102.67           | 98.47  | 36.52      | 104.89 |
| 120                                   | 87.80   | 87.80  | 0.56              | 0.56 | 83.94            | 80.62  | 14.86      | 51.59  |
| 180                                   | 54.02   | 54.02  | 0.35              | 0.35 | 54.70            | 52.44  | 0.46       | 2.48   |
| ค่า error เทียบกับความเข้มข้นเริ่มต้น |         |        |                   |      |                  |        | 485.47     | 982.45 |
|                                       |         |        |                   |      |                  |        | 2.43       | 4.91   |

ที่ความเข้มข้นไชยาไนค์เริ่มต้น 400 ppm

$$r = \frac{0.015C}{3.6297}$$

ตารางที่ บ.7 เปรียบเทียบค่าที่ได้จากการคำนวณกับค่าที่ได้จากการทดลองจริงที่ความเข้มข้นไชยาไนค์เริ่มต้น 400 ppm

| Time                                  | C (ppm) |        | อัตราลด (ppm/min) |      | Experiment (ppm) |        | sum square |          |          |
|---------------------------------------|---------|--------|-------------------|------|------------------|--------|------------|----------|----------|
|                                       | 7       | 9      | 7                 | 9    | 7                | 9      | 7          | 9        |          |
| 0                                     | 400.00  | 400.00 | 1.64              | 3.58 | 399.09           | 381.82 | 0.83       | 330.55   |          |
| 2                                     | 396.73  | 392.83 | 1.62              | 3.52 | 373.76           | 352.91 | 527.33     | 1594.08  |          |
| 4                                     | 393.48  | 385.80 | 1.61              | 3.46 | 366.43           | 344.87 | 731.73     | 1675.34  |          |
| 6                                     | 390.26  | 378.89 | 1.60              | 3.39 | 377.44           | 379.00 | 164.59     | 0.01     |          |
| 8                                     | 387.07  | 372.10 | 1.58              | 3.33 | 366.25           | 367.51 | 433.71     | 21.10    |          |
| 10                                    | 383.91  | 365.43 | 1.57              | 3.27 | 385.36           | 381.23 | 2.11       | 249.61   |          |
| 20                                    | 368.21  | 332.70 | 1.51              | 2.98 | 368.73           | 356.47 | 0.27       | 564.99   |          |
| 30                                    | 353.15  | 302.91 | 1.44              | 2.71 | 352.17           | 334.48 | 0.95       | 997.11   |          |
| 40                                    | 338.70  | 275.78 | 1.39              | 2.47 | 317.04           | 316.84 | 469.31     | 1685.99  |          |
| 50                                    | 324.85  | 251.08 | 1.33              | 2.25 | 311.16           | 284.26 | 187.59     | 1100.89  |          |
| 60                                    | 311.57  | 228.59 | 1.27              | 2.05 | 288.38           | 268.91 | 537.41     | 1625.73  |          |
| 90                                    | 273.34  | 167.17 | 1.12              | 1.50 | 233.98           | 223.70 | 1549.29    | 3195.30  |          |
| 120                                   | 239.80  | 122.25 | 0.98              | 1.09 | 185.47           | 178.45 | 2951.53    | 3157.82  |          |
| 180                                   | 180.96  | 56.55  | 0.74              | 0.51 | 123.11           | 105.70 | 3346.84    | 2414.98  |          |
| ค่า error เพียงกับความเข้มข้นเริ่มต้น |         |        |                   |      |                  |        | sum        | 10910.49 | 18622.51 |
|                                       |         |        |                   |      |                  |        |            | 27.28    | 46.56    |

ข.3 ผลการทดสอบทางสถิติ (T-test) เพื่อเปรียบเทียบระหว่างค่าที่ได้จากการคำนวณและค่าที่ได้จากการทดสอบจริง  
ที่ความเข้มข้นไขยาในค์เรินตัน 200 ppm

Two-sample T for C3 vs C4

|    | N  | Mean  | StDev | SE | Mean |
|----|----|-------|-------|----|------|
| C3 | 14 | 156.0 | 45.6  | 12 |      |
| C4 | 14 | 152.1 | 44.3  | 12 |      |

```
Difference = mu (C3) - mu (C4)
Estimate for difference: 3.95936
95% CI for difference: (-31.00039, 38.91911)
T-Test of difference = 0 (vs not =): T-Value = 0.23 P-Value = 0.817 DF = 25
```

ที่ความเข้มข้นไขยาในค์เรินตัน 400 ppm

Two-sample T for C5 vs C6

|    | N  | Mean  | StDev | SE | Mean |
|----|----|-------|-------|----|------|
| C5 | 14 | 338.7 | 66.9  | 18 |      |
| C6 | 14 | 317.7 | 83.1  | 22 |      |

```
Difference = mu (C5) - mu (C6)
Estimate for difference: 20.9755
95% CI for difference: (-37.8419, 79.7929)
T-Test of difference = 0 (vs not =): T-Value = 0.74 P-Value = 0.469 DF = 24
```

## ประวัติผู้วิจัย

ชื่อ-สกุล

นางสาวจิรานุช ศิริเปรมฤทธิ์

วัน เดือน ปีเกิด

21 มกราคม 2527

### ประวัติการศึกษา

ระดับมัธยมศึกษา

ประโภคณ์มัธยมศึกษาตอนปลาย

โรงเรียนสามเสนวิทยาลัย พ.ศ. 2545

ระดับปริญญาตรี

วิทยาศาสตรบัณฑิต สาขาวิชาศึกกรรมอาหาร

มหาวิทยาลัยเกษตรศาสตร์ พ.ศ. 2548

ระดับปริญญาโท

วิศวกรรมอาหารบัณฑิต สาขาวิชาศึกกรรมอาหาร

มหาวิทยาลัยเทคโนโลยีพระจอมเกล้าธนบุรี พ.ศ. 2550

### ทุนการศึกษา หรือทุนวิจัย

ทุนวิจัยอาหารบัณฑิต ศกว. สาขาวิทยาศาสตร์และเทคโนโลยี จาก  
สำนักงานกองทุนสนับสนุนการวิจัย ประจำปีการศึกษา 2550

มหาวิทยาลัยเทคโนโลยีพระจอมเกล้าธนบุรี

ข้อตกลงว่าด้วยการโอนสิทธิในทรัพย์สินทางปัญญาของนักศึกษาระดับบัณฑิตศึกษา

วันที่ 30.....เดือน พฤษภาคม ..... พ.ศ....2551.....

ข้าพเจ้า (นาย/นาง/นางสาว) ...จิราบุรี ศิริประนกุล... รหัสประจำตัว 49402102 เป็นนักศึกษาของ  
มหาวิทยาลัยเทคโนโลยีพระจอมเกล้าธนบุรี  
ระดับ ○ ประกาศนียบัตรบัณฑิต ○ ปริญญาโท ○ ปริญญาเอก  
หลักสูตรปริญญาวิศวกรรมศาสตร์มหาบัณฑิต สาขาวิชา วิศวกรรมอาหาร คณะ วิศวกรรมศาสตร์  
อยู่บ้านเลขที่ 13/178 หมู่.....ครอค/ซอย .....สุุมวิท 8/1 ถนน กาญจนากิเมฆ /  
ตำบล/แขวง นาดใหญ่ อําเภอ/เขต บางแค จังหวัด กรุงเทพฯ รหัสไปรษณีย์ 10160  
เป็น “ผู้โอน” ขอโอนสิทธิในทรัพย์สินทางปัญญาให้ไว้กับมหาวิทยาลัยเทคโนโลยีพระจอมเกล้าธนบุรี โดยมี  
(ชื่อคณบดี) รศ.ดร.นฤมล เจริญ ศิริเนาว์กุล ตำแหน่ง คณบดีคณะวิศวกรรมศาสตร์ เป็นตัวแทน “ผู้รับโอน” สิทธิใน  
ทรัพย์สินทางปัญญาและมีข้อตกลงดังนี้

1. ลงพดคลาสครรช์ของการเกิดออกซิเดชันของไขข่านในคืนในกระบวนการผลิตแป้งมันสำปะหลัง  
โดยใช้กระบวนการไฟโคลคະไอลชิสของไทยเนี่ยม ไดออกไซด์  
ข้าพเจ้าได้จัดทำวิทยานิพนธ์เรื่อง ลงพดคลาสครรช์ของการเกิดออกซิเดชันของไขข่านในคืนในกระบวนการผลิตแป้ง  
มันสำปะหลังโดยใช้กระบวนการไฟโคลคະไอลชิสของไทยเนี่ยม ไดออกไซด์ ซึ่งอยู่ในความควบคุมของ  
ผศ.ดร. นฤมล เจริญ พรัคคุน อาจารย์ที่ปรึกษา และ/หรือ ..... อาจารย์ที่ปรึกษาร่วม ตามพระราชบัญญัติ  
ลิขสิทธิ์ พ.ศ. 2537 และถือว่าเป็นส่วนหนึ่งของการศึกษาตามหลักสูตรของมหาวิทยาลัยเทคโนโลยีพระจอมเกล้า  
ธนบุรี

1. ข้าพเจ้าตกลงโอนสิทธิ์จากผลงานทั้งหมดที่เกิดขึ้นจากการสร้างสรรค์ของข้าพเจ้าในวิทยานิพนธ์  
ให้กับมหาวิทยาลัยเทคโนโลยีพระจอมเกล้าธนบุรี ตลอดอายุแห่งการคุ้มครองลิขสิทธิ์ตามพระราชบัญญัติลิขสิทธิ์  
พ.ศ. 2537 ตั้งแต่วันที่ได้รับอนุญาตโครงร่างวิทยานิพนธ์จากมหาวิทยาลัย

2. ในกรณีที่ข้าพเจ้าประสงค์จะนำวิทยานิพนธ์ไปใช้ในการเผยแพร่ในสื่อใดๆ ก็ตาม ข้าพเจ้าจะต้อง  
ระบุว่าวิทยานิพนธ์เป็นผลงานของมหาวิทยาลัยเทคโนโลยีพระจอมเกล้าธนบุรีทุกครั้งที่มีการเผยแพร่

3. ในกรณีที่ข้าพเจ้าประสงค์จะนำวิทยานิพนธ์ไปเผยแพร่ หรือให้ผู้อื่นทำซ้ำหรือดัดแปลงหรือเผยแพร่  
ต่อสาธารณะหรือกระทำการอื่นใด ตามพระราชบัญญัติลิขสิทธิ์ พ.ศ. 2537 โดยมีค่าตอบแทนในเชิงธุรกิจ  
ข้าพเจ้าจะกระทำได้เมื่อได้รับความยินยอมเป็นลายลักษณ์อักษรจากมหาวิทยาลัยเทคโนโลยีพระจอมเกล้าธนบุรี  
ก่อน

4. ในกรณีที่ข้าพเจ้าประสงค์จะนำข้อมูลจากวิทยานิพนธ์ไปประดิษฐ์หรือพัฒนาต่อยอดเป็น<sup>ล</sup>  
สิ่งประดิษฐ์หรืองานทรัพย์สินทางปัญญาประเภทอื่น ภายในระยะเวลาสิบ (10) ปีนับจากวันลงนามในข้อตกลง  
ฉบับนี้ ข้าพเจ้าจะกระทำได้เมื่อได้รับความยินยอมเป็นลายลักษณ์อักษรจากมหาวิทยาลัยเทคโนโลยีพระจอมเกล้า  
ธนบุรี และมหาวิทยาลัยเทคโนโลยีพระจอมเกล้าธนบุรี มีสิทธิ์ในทรัพย์สินทางปัญหานั้น พร้อมกับได้รับชำระ  
ค่าตอบแทนการอนุญาตให้ใช้สิทธิ์ดังกล่าว รวมถึงการจดสรรพผลประโยชน์อันพึงเกิดขึ้นจากส่วนใดส่วนหนึ่งหรือ

ทั้งหมดของวิทยานิพนธ์ในอนาคต โดยให้เป็นไปตามระเบียบสถาบันเทคโนโลยีพระจอมเกล้าชั้นบุรี ว่าด้วย การบริหารผลประโยชน์อันเกิดจากทรัพย์สินทางปัญญา พ.ศ. 2538

5. ในกรณีที่มีผลประโยชน์อันเกิดขึ้นจากวิทยานิพนธ์หรืองานทรัพย์สินทางปัญญาอื่นที่ข้าพเจ้าทำขึ้นโดยมีมหาวิทยาลัยเทคโนโลยีพระจอมเกล้าชั้นบุรีเป็นเจ้าของ ข้าพเจ้าจะมีสิทธิได้รับการจัดสรรผลประโยชน์อันเกิดจากทรัพย์สินทางปัญญาดังกล่าวตามอัตราที่กำหนดไว้ในระเบียบสถาบันเทคโนโลยีพระจอมเกล้าชั้นบุรี ว่าด้วย การบริหารผลประโยชน์อันเกิดจากทรัพย์สินทางปัญญา พ.ศ. 2538

ลงชื่อ.....วราวดี ศรีเปรมฤกษ์ ผู้อนุสิทธิ์

(นางสาวจิราনุช ศรีเปรมฤกษ์)

(นักศึกษา)

ลงชื่อ.....ผู้รับ โอนสิทธิ์

(รศ. ดร. นุญเชริญ ศรีเนาวกุล)

(คณบดี)

ลงชื่อ.....พยาน

(รศ. สุวิช ศรีวัฒน์ โยธิน)

ลงชื่อ.....พยาน

(ผศ. ดร. มนติราน พรัตน์)

\